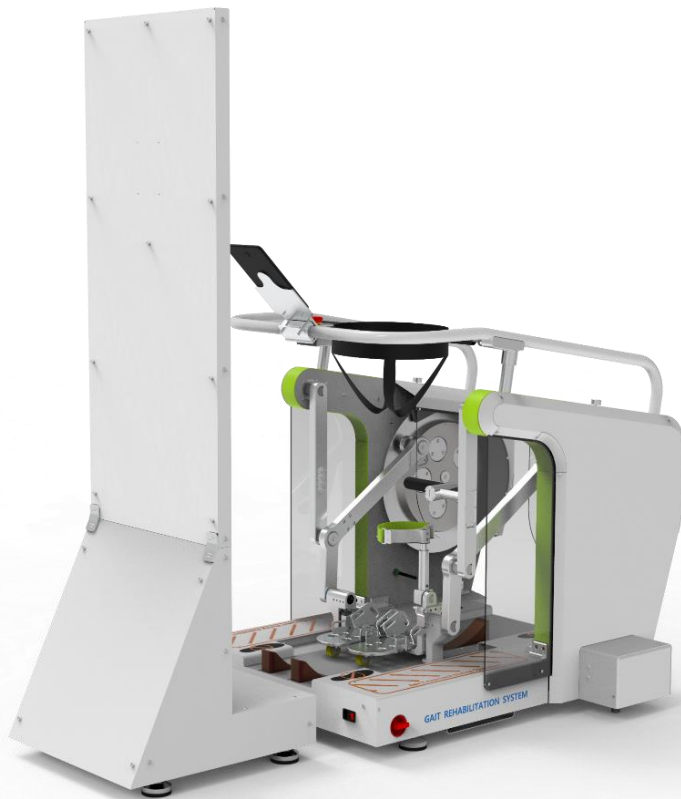


로봇동역학 및 제어

Robot Dynamics & Control

최종보고서



기계설계로봇공학과 19510053 김지용

2019. 06. 23.

순 서

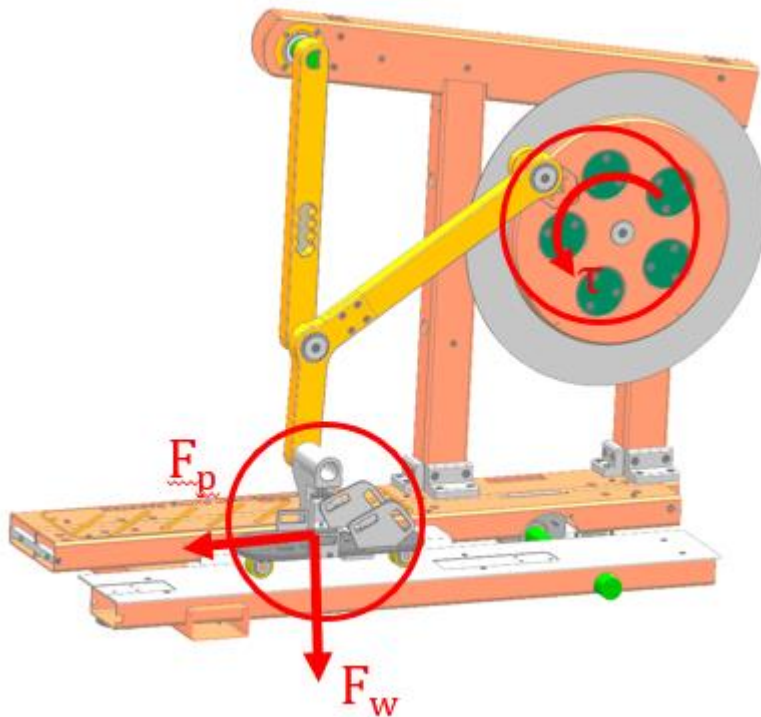
1. 연구 배경 및 필요성	-----	39 - 1
2. 작업 목표	-----	39 - 1
3. 로봇사양	-----	39 - 2
4. 순기구학(F.K.)	-----	39 - 3
5. 역기구학(I.K.)	-----	39 - 6
6. 기구학 검증	-----	39 - 11
7. 경로계획	-----	39 - 18
8. 동역학 해석	-----	39 - 25
9. 독립관절 위치제어	-----	39 - 31
10. 다관절 위치제어	-----	39 - 35
11. 결론	-----	39 - 39

1. 연구 배경 및 필요성

인구 고령화로 인한 **노년층 장애 환자**가 증가하고 사고로 인한 **마비 환자**들이 지속적으로 발생하고 있다. 이는 로봇의 발전과 함께 다양한 종류의 재활로봇이 연구 및 개발되고 있는 상황이다. 특히, 보행과 관련된 **보행재활로봇**에 대한 연구가 활발하게 진행되고 있는데, 로봇의 도움으로 하지 마비 환자들에게 필요한 운동을 수행할 수 있게 도와주는 로봇들이 개발되고 있다.

하지 마비 환자들은 **장기간의 지속적인 운동**이 필요한데, 스스로 재활할 수 있는 능력이 제한되는 하지 마비 환자들에게는 보행재활로봇이 효과적인 치료요소가 되고 있다. 이러한 보행재활로봇의 재활 효과를 높이기 위해서는 로봇이 **사람의 보행 특성을 반영한 운동**을 해야 하며, 이를 위한 기구 개발 및 알고리즘 개발이 필수적이다.

2. 작업 목표

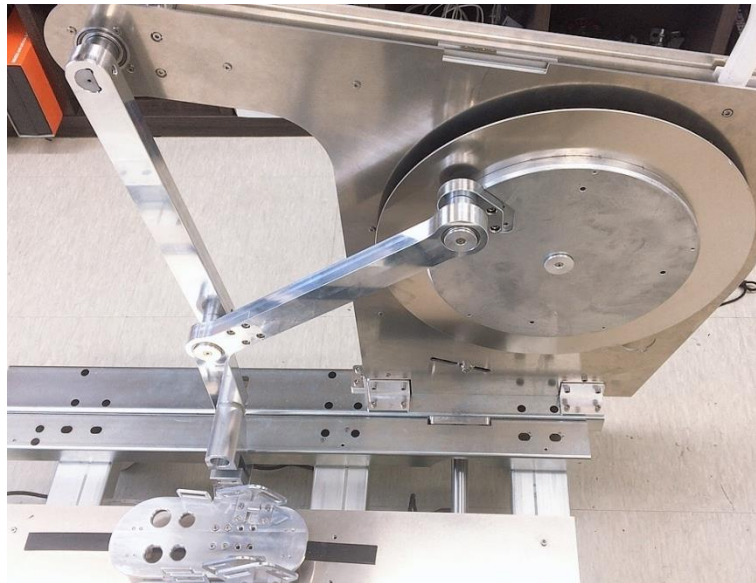


<그림 1> 작업 목표

작업 목표는 환자가 로봇에 탑승했을 때 **환자에 의해 로봇의 발판에 걸리는 힘**(사람의 하중과 운동하는 힘)과 **크랭크 축에 걸리는 토크 사이의 관계**를 구하는 것이다. 이 관계를 통해 보행 재활 운동 시 발판의 위치와 환자의 힘(의도)에 따라 필요한 모터의 토크 크기를 구하여 효과적인 운동을 만든다.

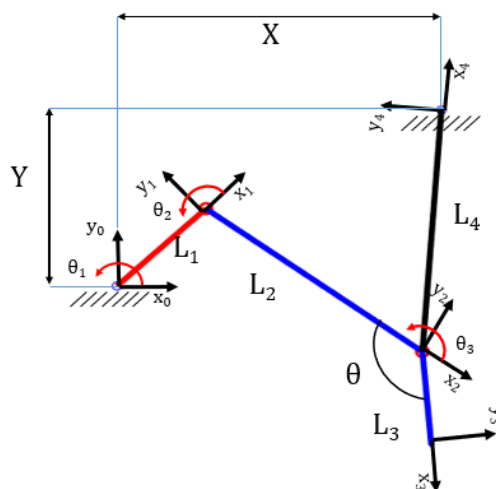
3. 로봇사양

<그림 2>는 실제 로봇의 4절링크 부분 사진이다.



<그림 2> 실제 로봇 4절 링크

이를 단순화하여 도식하면 <그림 3>과 같다.



4절링크(1자유도)

$L_1 : 185\text{mm}$

$L_2 : 438\text{mm}$

$L_3 : 176\text{mm}$

$L_4 : 454\text{mm}$

$\theta : 126^\circ$

$X : 547.5\text{mm}$

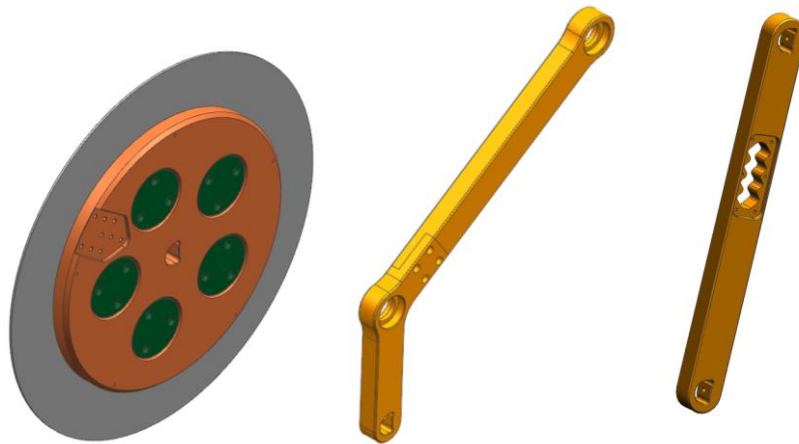
$Y : 330\text{mm}$

<그림 3> 4절링크 도식화

각 링크의 길이는 실제 링크의 길이를 기준으로 하였으며, 각각의 링크 Joint 에 Joint number 를 부여하였으며, 원점을 Joint 1 으로 잡고 **Cartesian 좌표계**를 적용하였다.

이 로봇의 특이점으로 **링크 4 에 의한 Constraint** 이 있다는 것이다. (x_4 , y_4)의 위치는 고정되어 있으며, 원점으로부터의 거리는 (547.5, 330) 이다.

각 링크의 형태는 <그림 4>와 같으며, 3D 모델링 상에서 얻어온 형상이다. 3D 모델링을 통해서 각 링크의 데이터를 얻을 수 있으며, 이 프로젝트에서는 단순히 무게만 사용하였다.



<그림 4> 각 링크의 3D 모델

각각의 무게는 7.7kg, 2.5kg, 2.4kg 이다.

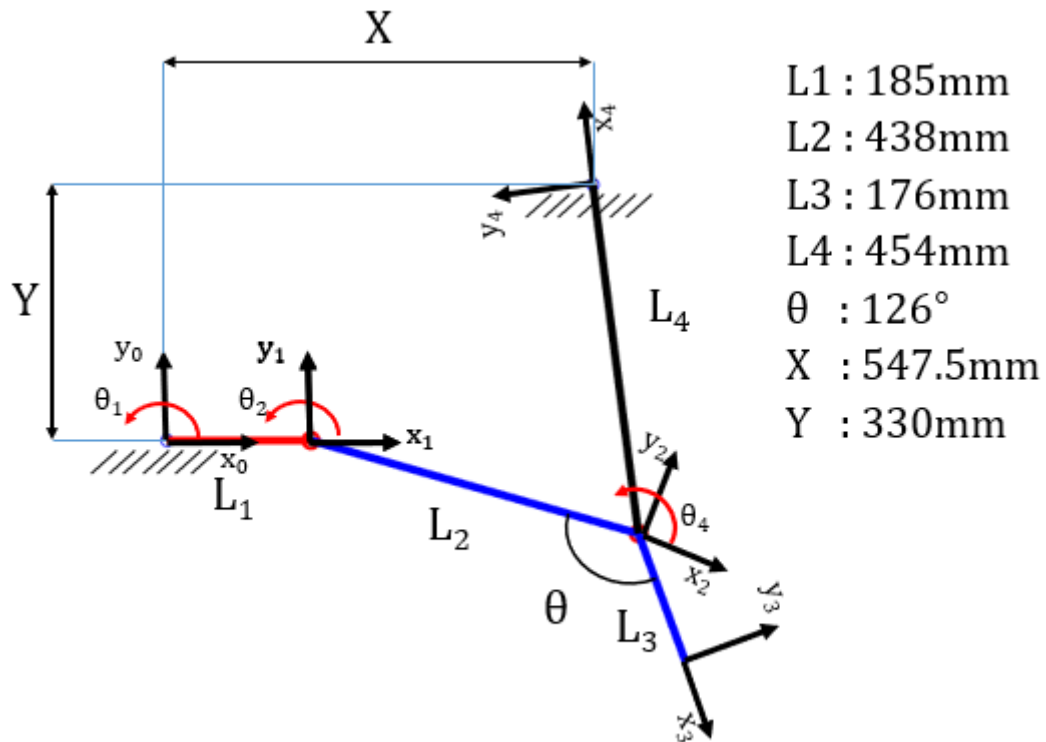
나중에 심화해서 연구할 때는 링크의 무게 뿐만 아니라 질량중심, 질량 관성 모멘트 등과 같은 데이터를 사용하면 조금 더 정확한 결과를 얻을 수 있을 것이다.

4. 순기구학(F.K.)

F.K.를 풀기 위해서 먼저 로봇의 초기 위치를 정하고, D-H Convention을 만족하도록 좌표를 선정하였다. 그리고 D-H Convention을 이용해 각각의 Homogeneous matrix를 구하였다.

<그림 5>는 초기 위치인 θ_1 을 0으로 두었을 때 모습이다. 그런데 초기위치일 때 θ_2 가 Constraint에 의해 -15.9233° 기울어져 있으며, θ_4 또한 113.3539° 기울어져 있음을 알

수 있다. 그리고 링크 2번과 3번은 원래 하나의 링크이지만, 계산의 편의성을 위해 두 부분으로 나누었고, 이때 Joint variable은 -54° 로 고정시켰다.



<그림 5> D-H Convention을 만족하는 로봇의 초기 위치

D-H convention을 풀기 위해 Parameter들을 <표 1>과 같이 구하였다.

	a	α	d	θ
1	L_1	0	0	θ_1
2	L_2	0	0	$\theta_2 - 15.9233$
3	L_3	0	0	$\theta - 180$
4	L_4	0	0	$\theta_4 + 113.3539$

<표 1> D-H Convention Parameter Table

D-H Convention parameter을 이용하여 Homogeneous matrix를 다음과 같이 구하였다. Planar Robot으로 **z축 이동과 회전은 고려되지 않음**을 알 수 있다.

$$A_1 = \begin{bmatrix} \cos \theta_1 & -\sin \theta_1 & 0 & L_1 \cdot \cos \theta_1 \\ \sin \theta_1 & \cos \theta_1 & 0 & L_1 \cdot \sin \theta_1 \\ 0 & 0 & 1 & 0 \\ 0 & 0 & 0 & 1 \end{bmatrix} \quad (1)$$

$$A_2 = \begin{bmatrix} \cos \theta_2^* & -\sin \theta_2^* & 0 & L_2 \cdot \cos \theta_2^* \\ \sin \theta_2^* & \cos \theta_2^* & 0 & L_2 \cdot \sin \theta_2^* \\ 0 & 0 & 1 & 0 \\ 0 & 0 & 0 & 1 \end{bmatrix} \quad (2)$$

$$A_3 = \begin{bmatrix} \cos \theta_3 & -\sin \theta_3 & 0 & L_3 \cdot \cos \theta_3 \\ \sin \theta_3 & \cos \theta_3 & 0 & L_3 \cdot \sin \theta_3 \\ 0 & 0 & 1 & 0 \\ 0 & 0 & 0 & 1 \end{bmatrix} \quad (3)$$

$$A_4 = \begin{bmatrix} \cos \theta_4^* & -\sin \theta_4^* & 0 & L_2 \cdot \cos \theta_4^* \\ \sin \theta_4^* & \cos \theta_4^* & 0 & L_2 \cdot \sin \theta_4^* \\ 0 & 0 & 1 & 0 \\ 0 & 0 & 0 & 1 \end{bmatrix} \quad (4)$$

위의 4 개의 Homogeneous matrix 들을 이용하여 다음과 같이 T-matrix 들을 구하였다.

(6)

$$T_2^0 = A_1 \cdot A_2 = \begin{bmatrix} \cos(\theta_1 + \theta_2^*) & -\sin(\theta_1 + \theta_2^*) & 0 & L_1 \cdot \cos \theta_1 + L_2 \cdot \cos(\theta_1 + \theta_2^*) \\ \sin(\theta_1 + \theta_2^*) & \cos(\theta_1 + \theta_2^*) & 0 & L_1 \cdot \sin \theta_1 + L_2 \cdot \sin(\theta_1 + \theta_2^*) \\ 0 & 0 & 1 & 0 \\ 0 & 0 & 0 & 1 \end{bmatrix}$$

(7)

$$T_3^0 = A_1 \cdot A_2 \cdot A_3 = \begin{bmatrix} \cos(\theta_1 + \theta_2^* + \theta_3) & -\sin(\theta_1 + \theta_2^* + \theta_3) & 0 & L_1 \cdot \cos \theta_1 + L_2 \cdot \cos(\theta_1 + \theta_2^*) + L_3 \cdot \cos(\theta_1 + \theta_2^* + \theta_3) \\ \sin(\theta_1 + \theta_2^* + \theta_3) & \cos(\theta_1 + \theta_2^* + \theta_3) & 0 & L_1 \cdot \sin \theta_1 + L_2 \cdot \sin(\theta_1 + \theta_2^*) + L_3 \cdot \sin(\theta_1 + \theta_2^* + \theta_3) \\ 0 & 0 & 1 & 0 \\ 0 & 0 & 0 & 1 \end{bmatrix}$$

(8)

$$T_4^0 = A_1 \cdot A_2 \cdot A_4 = \begin{bmatrix} \cos(\theta_1 + \theta_2^* + \theta_4^*) & -\sin(\theta_1 + \theta_2^* + \theta_4^*) & 0 & L_1 \cdot \cos \theta_1 + L_2 \cdot \cos(\theta_1 + \theta_2^*) + L_4 \cdot \cos(\theta_1 + \theta_2^* + \theta_4^*) \\ \sin(\theta_1 + \theta_2^* + \theta_4^*) & \cos(\theta_1 + \theta_2^* + \theta_4^*) & 0 & L_1 \cdot \sin \theta_1 + L_2 \cdot \sin(\theta_1 + \theta_2^*) + L_4 \cdot \sin(\theta_1 + \theta_2^* + \theta_4^*) \\ 0 & 0 & 1 & 0 \\ 0 & 0 & 0 & 1 \end{bmatrix}$$

이 T-matrix 를 구함으로 나중에 Rotation matrix 나 x, y 좌표를 쉽게 확인할 수 있다.

다음은 각각의 x, y 좌표를 나타낸 것이며, 이 때 x_4, y_4 의 좌표는 (x, y)로 고정된 점이다.

$$\begin{aligned} x_1 &= L_1 \cdot \cos \theta_1 \\ y_1 &= L_1 \cdot \sin \theta_1 \end{aligned} \quad (9)$$

$$\begin{aligned} x_2 &= L_1 \cdot \cos \theta_1 + L_2 \cdot \cos(\theta_1 + \theta_2^*) \\ y_2 &= L_1 \cdot \sin \theta_1 + L_2 \cdot \sin(\theta_1 + \theta_2^*) \end{aligned} \quad (10)$$

$$\begin{aligned} x_3 &= L_1 \cdot \cos \theta_1 + L_2 \cdot \cos(\theta_1 + \theta_2^*) + L_3 \cdot \cos(\theta_1 + \theta_2^* + \theta_3) \\ y_3 &= L_1 \cdot \sin \theta_1 + L_2 \cdot \sin(\theta_1 + \theta_2^*) + L_3 \cdot \sin(\theta_1 + \theta_2^* + \theta_3) \end{aligned} \quad (11)$$

여기서 θ_2 와 θ_4 는 초기 위치에서 오프셋이 있기 때문에 다음과 같이 θ_2^* 와 θ_4^* 로 치환하여 계산을 진행하였다.

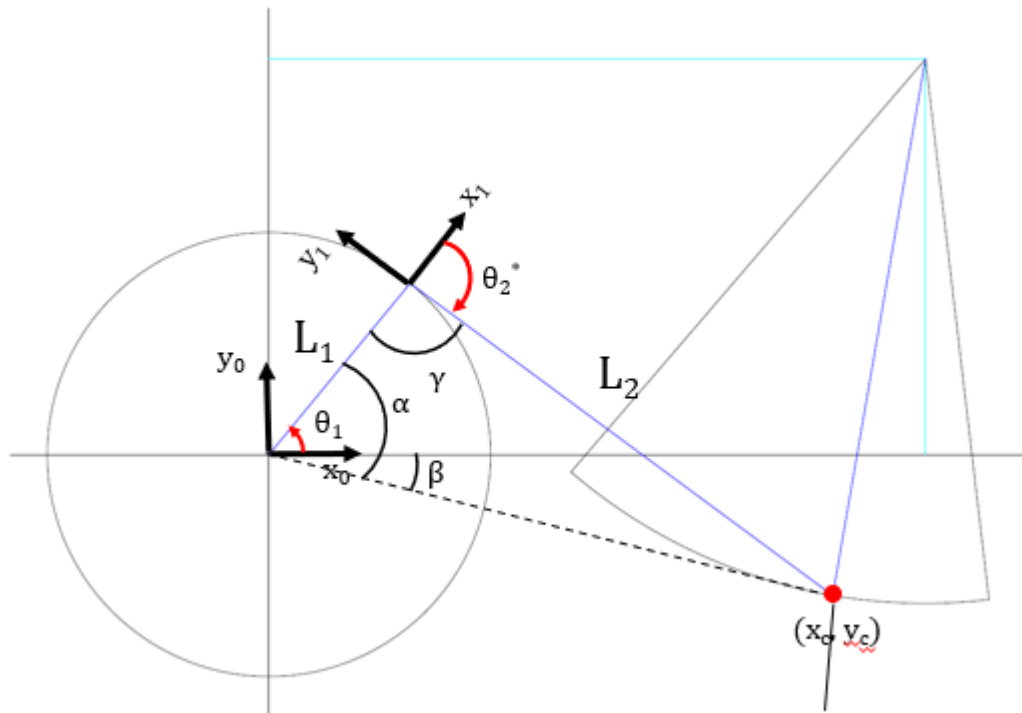
$$\begin{aligned} \theta_2^* &: \theta_2 - 15.9233^\circ \\ \theta_3 &: -54^\circ \\ \theta_4^* &: \theta_4 + 113.3539^\circ \end{aligned} \quad (12)$$

5. 역기구학(I.K.)

역기구학을 풀기위해 전략을 세웠다. 링크 2와 링크 3 간의 Joint variable이 없기 때문에 Homogenous Vector는 일정하다. 그래서 **O₂**를 **End Effector의 Wrist**라고 생각하고 풀게 되었다. 따라서 O₀와 O₂(X_c, Y_c) 사이의 I.K.를 구하고, 이를 구하게 되면 자연스럽게 O₂와 End Effector의 Homogenous Vector를 통해 End Effector의 위치를 구할 수 있을 것이다.

따라서 I.K.에서는 링크 4에 의한 Constraint을 고려하여 θ_1 과 θ_2 사이의 관계, O₀와 O₂ 사이의 관계를 구하고, 그 이후 O₃ 를 구하게 되었다.

<그림 6>은 I.K.를 풀 때 로봇에 필요한 Parameter들을 나타낸 것이다.



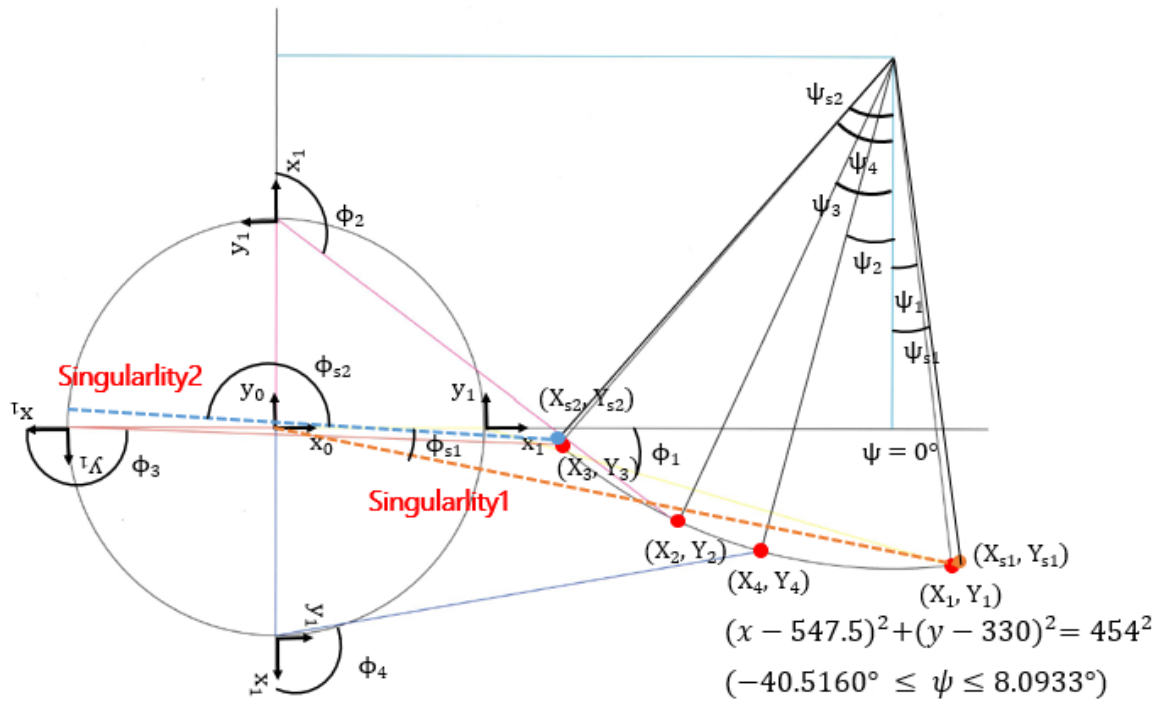
<그림 6> D-H Convention을 만족하는 로봇의 초기 위치

I.K.를 풀기에 앞서 Constraint에 의한 조건들을 먼저 살펴보았다. 이 Constraint에 의한 조건들을 통해 로봇의 전체적인 움직임을 파악할 수 있었고, 이 조건들을 이용하여 추후에 F.K.와 I.K.를 검증하는데 활용할 수 있었다.

<그림 7>은 Constraint에 의한 조건에서 각각의 값들을 구하기 위해 도식한 그림이다. θ_1 이 각각 $0^\circ, 90^\circ, 180^\circ, -90^\circ$ 일 때 나머지 링크의 각도와, (x_c, y_c) 의 위치를 구하였으며, (x_c, y_c) 가 원점과 가장 가까울 때와 가장 멀 때는 Singularity에 걸렸을 때임을 알 수 있었다. 로봇의 링크 1이 한 바퀴 돌 때 **Singularity**는 총 두 번 걸리게 되며, 이 때의 θ_1 의 각도와 (x_c, y_c) 의 좌표를 구하였다.

또한 링크 4의 길이가 일정하기 때문에 (x_c, y_c) 는 **(547.5, 330)을 중심으로 하는 원의 방**

정식에 구속되어 있다.



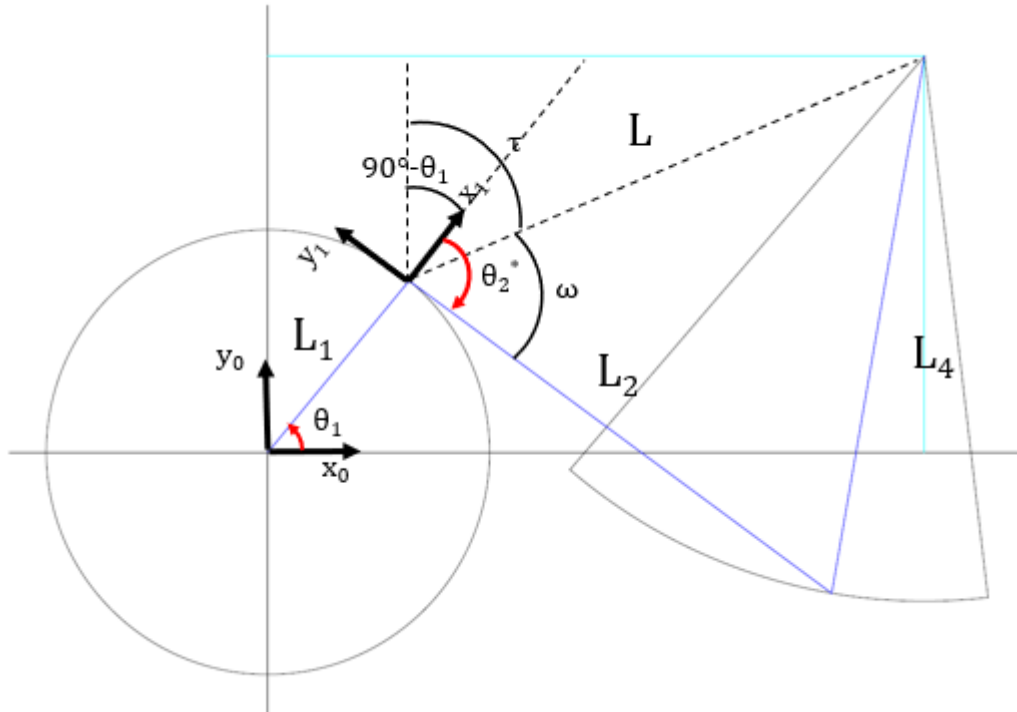
<그림 7> Constraint에 의한 조

(13)은 Constraint을 풀었을 때 나오는 각각의 값들이다. 이 값들을 구하기 위해서는 Geometric하게 풀어야 하며, 그 방법은 선을 추가로 그어서 구할 수 있으나, 여기서 그 과정은 생략한다.

$\phi_1 : 15.9233^\circ$	$X_1 : 606.1939$
$\phi_2 : 127.0106^\circ$	$Y_1 : -120.1654$
$\phi_3 : 177.9927^\circ$	$X_2 : 349.7536$
$\phi_4 : 100.0099^\circ$	$Y_2 : -78.6597$
$\phi_{s1} : 11.0531^\circ$	$X_3 : 252.7312$
$\phi_{s2} : 176.5663^\circ$	$Y_3 : -15.3418$
$\psi_1 : 7.4302^\circ$	$X_4 : 431.3326$
$\psi_2 : 14.8226^\circ$	$Y_4 : -108.8676$
$\psi_3 : 26.7107^\circ$	$X_{s1} : 611.4433$
$\psi_4 : 40.4905^\circ$	$Y_{s1} : -119.4407$
$\psi_{s1} : 8.0933^\circ$	$X_{s2} : 252.5458$
$\psi_{s2} : 40.5160^\circ$	$Y_{s2} : -15.1531$

(13)

Constraint 에 의한 또 다른 특성은 θ_1 과 θ_2 간의 관계가 일정하다는 것이다. 즉, θ_1 에 의해 θ_2 가 구속되어 있음을 알 수 있다. 따라서 <그림 8>과 같이 Geometric 방법으로



<그림 8> θ_1 과 θ_2 의 관계

θ_1 과 θ_2 사이의 관계를 구하였다. 이는 나중에 θ_1 의 값만 알고도 θ_2 의 값을 알 수 있음을 보여준다.

관계식은 다음과 같은 과정을 거쳐 (15)와 같은 관계식을 구하였다.

$$L = \sqrt{(547.5 - 185 \cos \theta_1)^2 + (330 - 185 \sin \theta_1)^2}$$

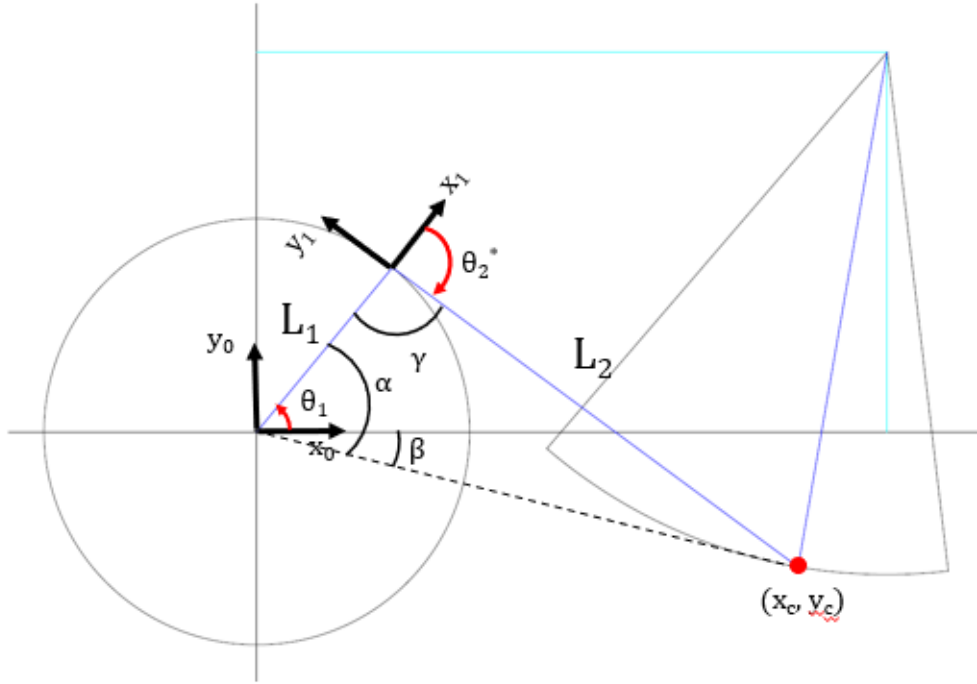
$$\cos \omega = D = \frac{L^2 + L_2^2 - L_4^2}{2 * L * L_2} \quad (14)$$

$$\omega = \text{atan2}(\sqrt{1 - D^2}, D)$$

$$\tau = \text{atan2}(547.5 - 185 \cos \theta_1, 330 - 185 \sin \theta_1)$$

$$\therefore \theta_2^* = -(\omega + \tau) + 90^\circ - \theta_1 \quad (15)$$

다음으로 역기구학을 풀기 위해 <그림 9>와 같이 도식하였으며, Constraint 에 의해 (x_c , y_c) 위치에 따라 Upper arm 일 때와 Under arm 인 경우의 θ_1 과 θ_2 의 값을 구하였다.



<그림 9> I.K.

다음은 역기구학을 풀기 위한 식이며, (16), (17)과 같은 관계식을 구하였다.

$$\beta = \text{atan2}(y_c, x_c)$$

$$\cos \alpha = D_1 = \frac{x_c^2 + y_c^2 + L_1^2 - L_2^2}{2 * \sqrt{x_c^2 + y_c^2} * L_1}$$

$$\alpha = \text{atan2}\left(\pm \sqrt{1 - D_1^2}, D_1\right)$$

(α 가 양수이면 upper arm, 음수이면 under arm)

$$\theta_1 = \alpha + \beta$$

(16)

$$\cos \gamma = D_2 = \frac{L_1^2 + L_2^2 - x_c^2 - y_c^2}{2 * L_1 * L_2}$$

$$\gamma = \text{atan2}\left(\pm \sqrt{1 - D_2^2}, D_2\right)$$

① upper arm 일 때 ($\gamma \geq 0$)

$$\theta_2 = (\gamma - 180) + 15.9233$$

② upper arm 일 때 ($\gamma \leq 0$)

$$\theta_2 = (\gamma + 180) + 15.9233$$

(17)

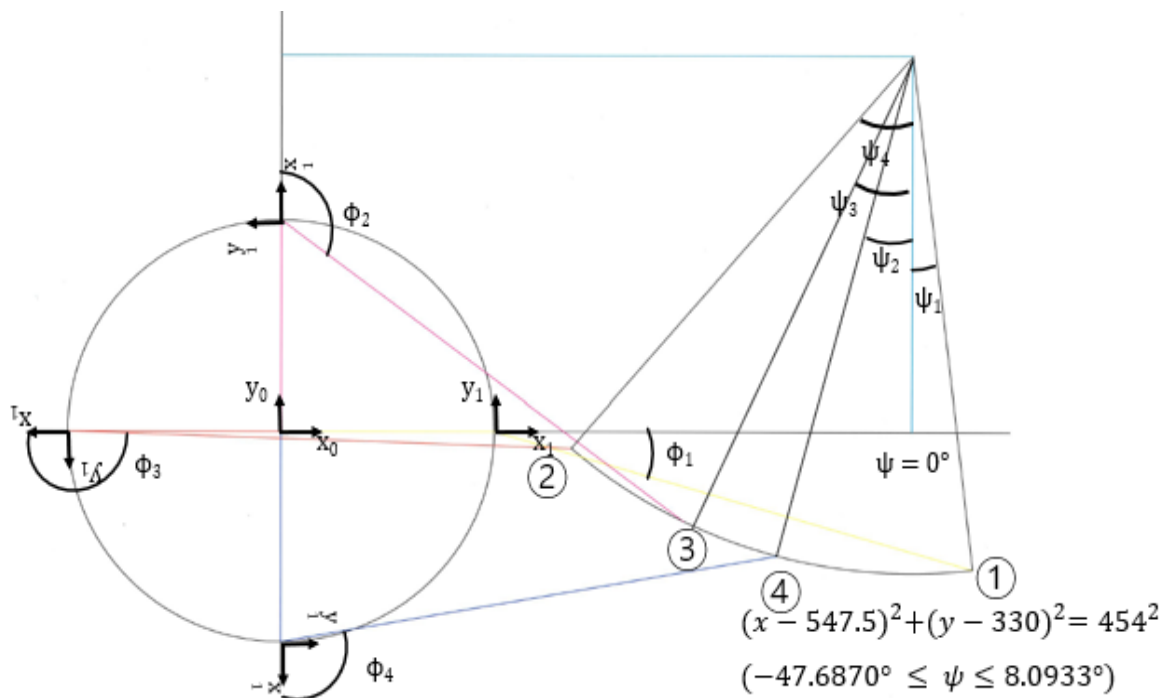
마지막으로 End Effector 의 위치인 O_3 를 구하기 위해 F.K.로 구한 T_3^0 를 이용하면 다음과 같이 나오는 것을 확인할 수 있다.

$$O_3 = \begin{bmatrix} x_C + L_3 * \cos(\theta_1 + \theta_2 + \theta_3) \\ y_C + L_3 * \sin(\theta_1 + \theta_2 + \theta_3) \\ 0 \end{bmatrix} \quad (18)$$

6. 기구학 검증

기구학을 검증하기 위해 두 가지 방법을 선정하였다. 첫 번째는 **Constraint 조건을 검증** 하는 것으로, Constraint에 의한 결과값들이 정확한지에 대해 진행하였고, 두 번째는 Constraint 조건에서 임의의 (X_C, Y_C) 가 선정되었을 때, I.K.와 F.K.의 결과값을 비교하여, **I.K.와 F.K.를 검증**하였다.

첫 번째 방법으로 <그림 10>같은 4개의 조건($\theta_1 = 0^\circ, 90^\circ, 180^\circ, -90^\circ$)에서 I.K.를 통해 구한(위에서 Constraint를 통해 구한) (x, y) 좌표와 F.K.를 통해 구한 (x, y) 좌표가 동일한지 비교를 해보았다.



<그림 10> Constraint 조건 검증

1번 조건은 $\theta_1 = 0^\circ$, $\theta_2^* = -15.9233^\circ$ ($\theta_2 = 0^\circ$) 일 때이며, I.K. 값은 (606.1939, -120.1654) 이었 으며, θ_1 , θ_2 값을 F.K.에 대입하여 구한 값은(606.1939, -120.1654)로 두 결과값이 같음을 확인할 수 있었다.

```
th1 =
    90
th2star =
   -127.0106
th2 =
   -111.0873
A1 =
     0     -1     0     0
     1     0     0   185
     0     0     1     0
     0     0     0     1
A2 =
   -0.6020    0.7985     0 -263.6597
   -0.7985   -0.6020     0 -349.7536
         0         0    1.0000     0
         0         0     0    1.0000
T2 =
     0.7985    0.6020     0  349.7536
   -0.6020    0.7985     0 -78.6597
         0         0    1.0000     0
         0         0     0    1.0000
```

<그림 11> Constraint 조건 검증 결과 1

2번 조건은 $\theta_1 = 90^\circ$, $\theta_2^* = -127.0106^\circ$ ($\theta_2 = -111.0873$) 일 때이며, I.K. 값은 (349.7536, -78.6597) 이었 으며, θ_1 , θ_2 값을 F.K.에 대입하여 구한 값은(349.7536, -78.6597)로 두 결과 값이 같음을 확인할 수 있었다.

```
th1 =
     0
th2star =
   -15.9233
th2 =
     0
A1 =
     1     0     0   185
     0     1     0     0
     0     0     1     0
     0     0     0     1
A2 =
     0.9616    0.2744     0  421.1939
    -0.2744    0.9616     0 -120.1654
         0         0    1.0000     0
         0         0     0    1.0000
T2 =
     0.9616    0.2744     0  606.1939
    -0.2744    0.9616     0 -120.1654
         0         0    1.0000     0
         0         0     0    1.0000
..
```

<그림 12> Constraint 조건 검증 결과 2

3번 조건은 $\theta_1 = 180^\circ$, $\theta_2^* = 177.9927^\circ$ ($\theta_2 = -166.0840$)일 때이며, I.K. 값은 (252.7312, -15.3418)이었으며, θ_1 , θ_2 값을 F.K.에 대입하여 구한 값은(252.7312, -15.3418)로 두 결과값이 같음을 확인할 수 있었다.

```

th1 =
    180
th2star =
    177.9927
th2 =
    -166.0840
A1 =
    -1     0     0   -185
         0    -1     0     0
         0     0     1     0
         0     0     0     1
A2 =
    -0.9994   -0.0350         0   -437.7312
         0.0350   -0.9994         0    15.3418
         0         0      1.0000         0
         0         0         0      1.0000
T2 =
         0.9994    0.0350         0   252.7312
        -0.0350    0.9994         0   -15.3418
         0         0      1.0000         0
         0         0         0      1.0000

```

<그림 13> Constraint 조건 검증 결과 3

마지막으로 4번 조건은 $\theta_1 = -90^\circ$, $\theta_2^* = 100.0099^\circ$ ($\theta_2 = 115.9332$)일 때이며, I.K. 값은 (431.3326, -108.8676)이었으며, θ_1 , θ_2 값을 F.K.에 대입하여 구한 값은(431.3326, -108.8676)로 두 결과값이 같음을 확인할 수 있었다

```

th1 =
    -90
th2star =
    100.0099
th2 =
    115.9332
A1 =
         0     1     0     0
        -1     0     0   -185
         0     0     1     0
         0     0     0     1
A2 =
    -0.1738   -0.9848         0   -76.1324
         0.9848   -0.1738         0   431.3326
         0         0      1.0000         0
         0         0         0      1.0000
T2 =
         0.9848   -0.1738         0   431.3326
         0.1738    0.9848         0  -108.8676
         0         0      1.0000         0
         0         0         0      1.0000

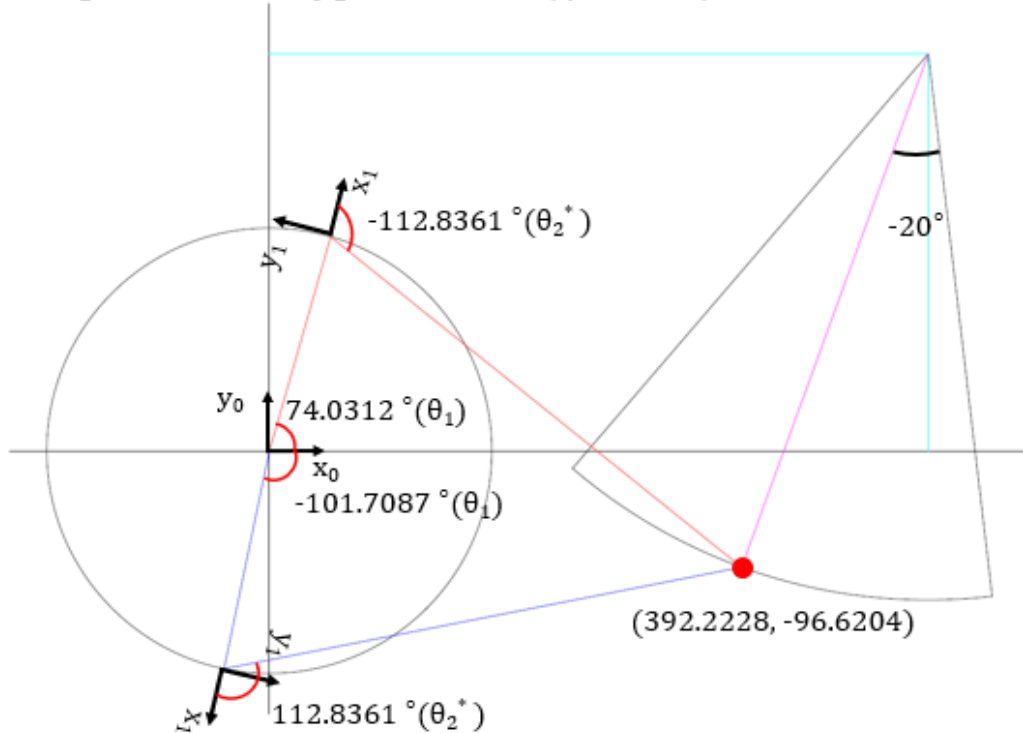
```

<그림 14> Constraint 조건 검증 결과 4

이로써 첫 번째 검증으로 Constraint에 의한 조건을 검증할 수 있었다.

두 번째 검증으로 Constraint에 의한 임의의 (X_c, Y_c) 를 선정했을 때, I.K.로 풀어서 나온 θ_1, θ_2 값을 F.K.에 넣었을 때, 동일한 (X_c, Y_c) 가 나오는지 검증을 진행하였다.

① $x_2 = 392.2228, y_2 = -96.6204 (\psi = -20^\circ)$

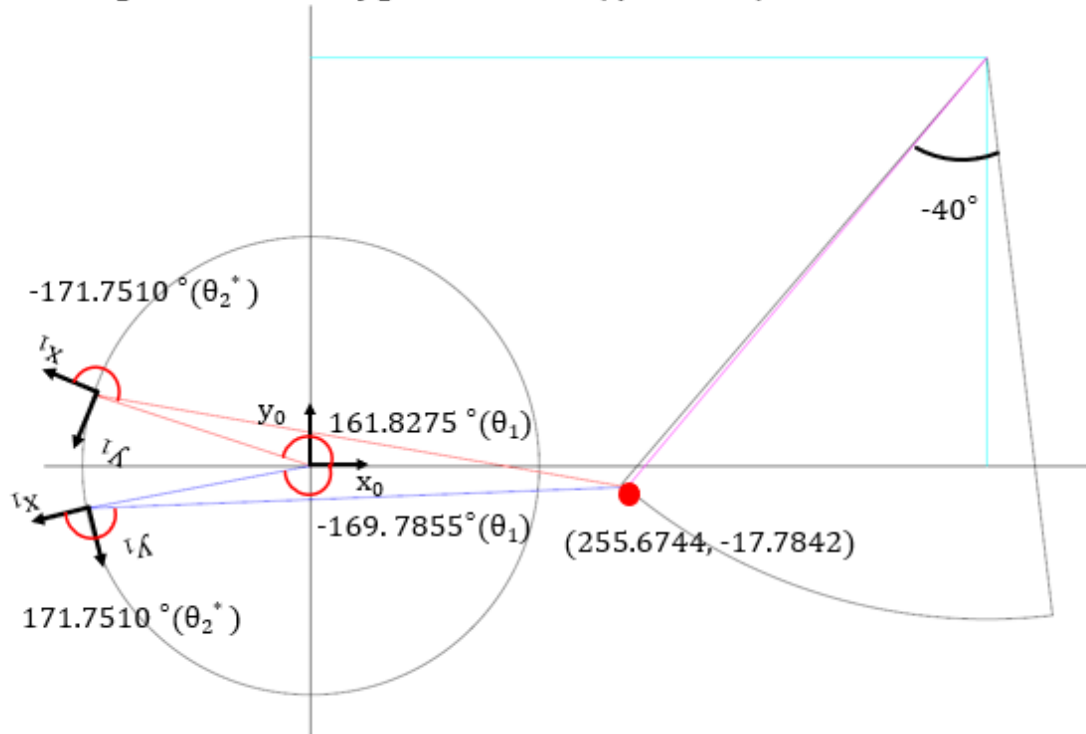


<그림 15> F.K. 및 I.K. 검증 1

<그림 15>와 같이 ψ 가 -20° 일 때 (X_c, Y_c) 는 $(392.2228, -96.6204)$ 가 나옴을 알 수 있다. 이 때, I.K.를 풀었을 때 나오는 값은 Upper arm일 때 $\theta_1 = 74.0312^\circ, \theta_2 = -96.9128^\circ$ 이며, 이 값을 F.K.에 넣었을 때 나오는 값이 $X_c = 392.2226, Y_c = -96.6205$ 가 나왔다. 이 값은 임의로 선정한 (X_c, Y_c) 값과 거의 비슷함을 알 수 있다.

반대로 Under arm일 때 $\theta_1 = -101.7087^\circ, \theta_2 = 128.7594^\circ$ 이며, 이 값을 F.K.에 넣었을 때 나오는 값이 $X_c = 392.2227, Y_c = -96.6204$ 가 나왔다. 이 값은 임의로 선정한 (X_c, Y_c) 값과 동일함을 알 수 있다. 이 결과 통해 Upper arm과 Under arm 모두 F.K.와 I.K.가 적용됨을 검증할 수 있다.

② $x_2 = 255.6744, y_2 = -17.7842 (\psi = -40^\circ)$

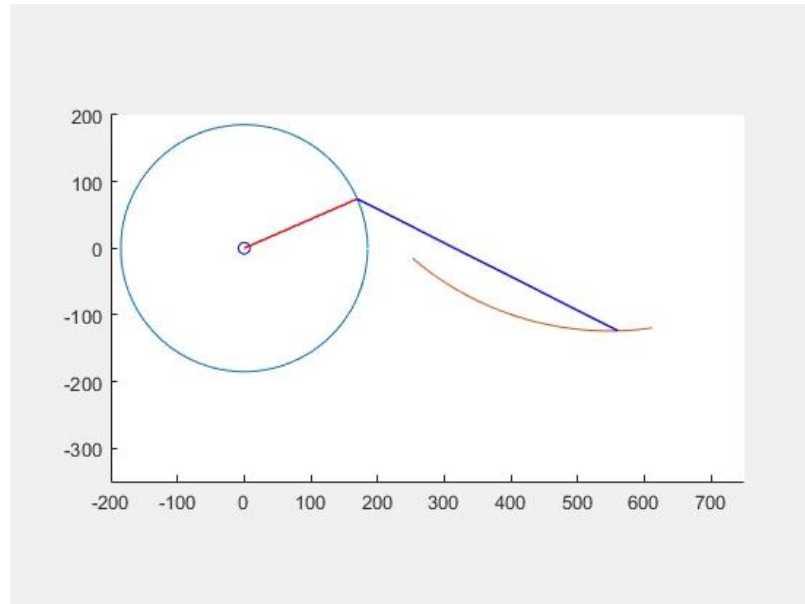


<그림 17> F.K. 및 I.K. 검증 2

I.K.	xc =	th1 =				th1 =			
	255.6744	161.8275				-169.7855			
	yc =	th2 =				th2 =			
	-17.7842	-155.8277				-172.3257			
	I_K_th1_upper =	th2star =				th2star =			
	161.8275	-171.7510				171.7510			
	I_K_th1_under =	A1 =				A1 =			
	-169.7855	-0.9501 -0.3119 0 -175.7725				-0.9842 0.1773 0 -182.0679			
	I_K_th2_upper =	0.3119 -0.9501 0 57.6976				-0.1773 -0.9842 0 -32.8068			
	-155.8277	0 0 1.0000 0				0 0 1.0000 0			
F.K.(Upper arm)	I_K_th2_under =	A2 =				A2 =			
	-172.3257	-0.9897 0.1435 0 -433.4684				-0.9897 -0.1435 0 -433.4684			
		-0.1435 -0.9897 0 -62.8422				0.1435 -0.9897 0 62.8422			
		0 0 1.0000 0				0 0 1.0000 0			
		0 0 0 1.0000				0 0 0 1.0000			
		T2 =				T2 =			
		0.9850 0.1723 0 255.6744				0.9994 -0.0343 0 255.6744			
		-0.1723 0.9850 0 -17.7843				0.0343 0.9994 0 -17.7844			
		0 0 1.0000 0				0 0 1.0000 0			
		0 0 0 1.0000				0 0 0 1.0000			
		F.K.(Under arm)							

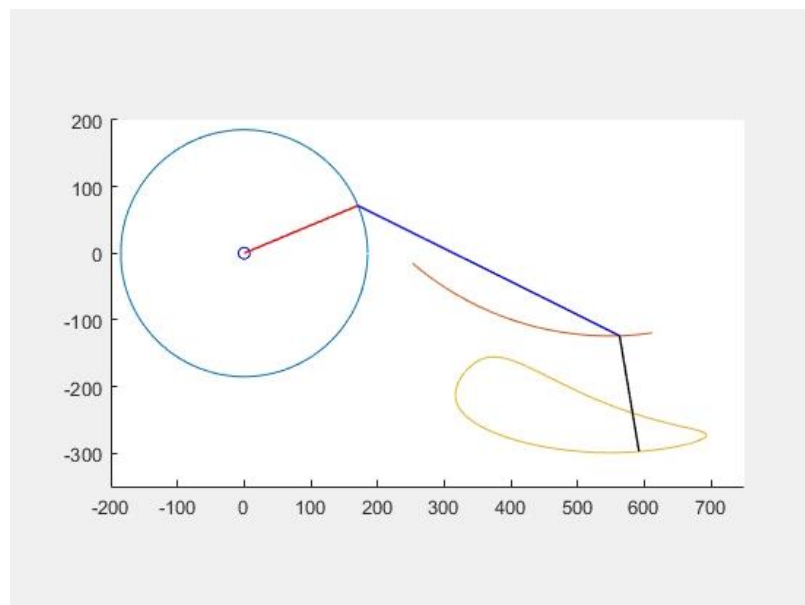
<그림 18> F.K. 및 I.K. 검증 결과

두 번째 검증방법 원리를 이용해 Constraint 에 의한 점들을 나열하여, I.K.로 풀고, 이를 F.K.로 각각의 점들을 구하여 MATLAB 으로 **애니메이션**을 구하면 <그림 19>와 같이 나온다.



<그림 19> 검증 결과 Animation

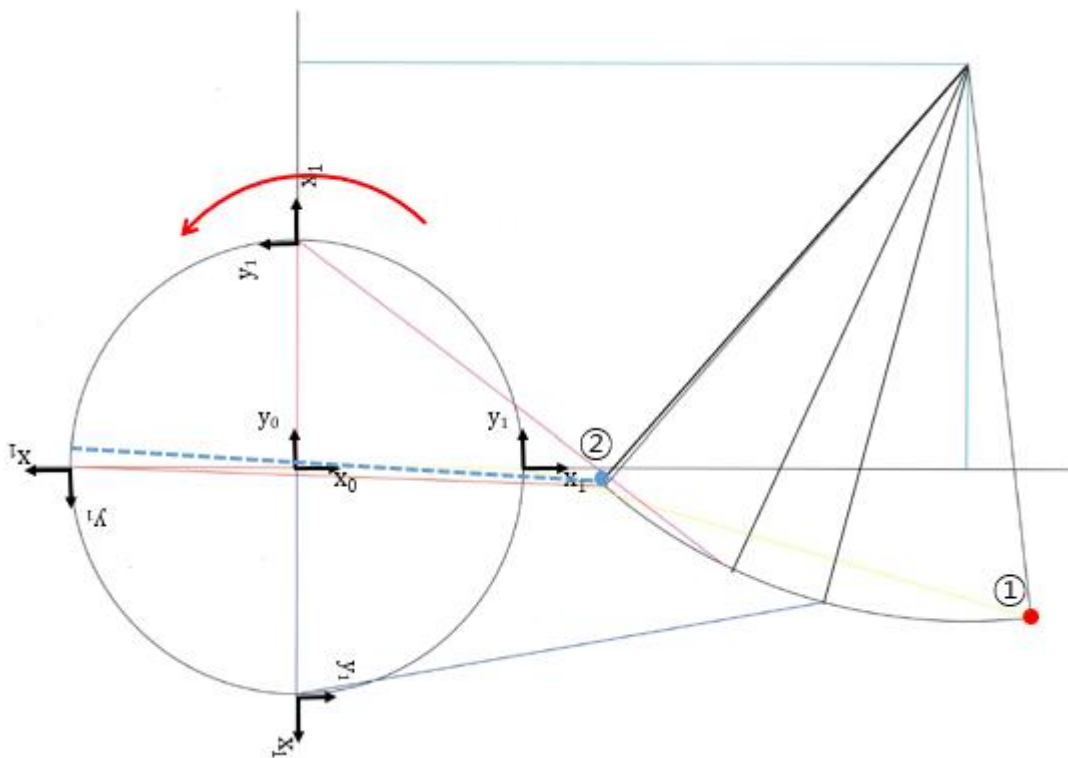
그리고, End Effector 의 위치까지 고려하면 <그림 20>과 같이 나오며, 이는 **실제 로봇의 보행궤적**과 동일하다.



<그림 20> 검증 결과 Animation 2

7. 경로계획

경로계획을 세우고자 할 때, 앞의 애니메이션에서 보았듯이, End Effector의 경로를 고려하기에는 그 형태가 너무 불규칙하여 원의 방정식에 구속되어 있는 O_2 의 경로계획을 세웠다. O_2 의 경로는 다음 그림과 같이 원의 방정식 일부분이며, ①번 위치에서 ②번 위치까지 선정하였다. ①번 위치는 θ_1 이 0° 인 위치이며, ②번 위치는 Singularity에 걸린 위치로, Upper arm에서 Under arm으로 넘어가는 순간이다. 이렇게 경로를 선정한 이유는 먼저 **Upper arm일 때의 구간을 해석하기 위함**으로, 나중에는 Under arm에 대해서 추가적으로 연구가 필요하다.



<그림 21> 경로계획

O_2 의 Trajectory Planning을 계획하기 위해 Cubic Polynomial Trajectories를 사용하였으며, 운동 시간은 1초로 선정하였다. 1초로 선정한 이유는 현재 로봇이 2km/h로 운동하기 위해서는 왕복운동 했을 때 대략 1.8초가 나오기 때문이다.

Cubic Polynomial Trajectories를 풀기 위해 다음과 같이 경계조건을 주었다.

$$\text{초기위치 ① } (606.1939, -120.1654) / t_0 = 0, v_0 = 0 \quad (19)$$

$$\text{Final position } \textcircled{2} (252.5458, -15.1531) / t_f = 1, v_f = 0 \quad (20)$$

이 조건을 이용하여 x좌표의 Trajectory를 구하면 다음과 같이 나온다.

$$q_x(t) = 606.1939 - 1060.9443 * t^2 + 707.2962 * t^3 \quad (21)$$

이 때 y 좌표의 Trajectory 는 원의 방정식 $((x - 547.5)^2 + (y - 330)^2 = 454^2)$ 에 구속되어 있기 때문에 x 좌표를 원의 방정식에 넣을 때 다음과 같이 y 좌표의 trajectory 를 구할 수 있었다.

$$q_y(t) = 330 - \sqrt{206116 - (58.6939 - 1060.94t^2 + 707.296t^3)^2} \quad (22)$$

이를 각각 미분하여, 속도와 가속도 식을 구하면 다음과 같다.

$$\dot{q}_x(t) = -2121.89 * t + 2121.89 * t^2 \quad (23)$$

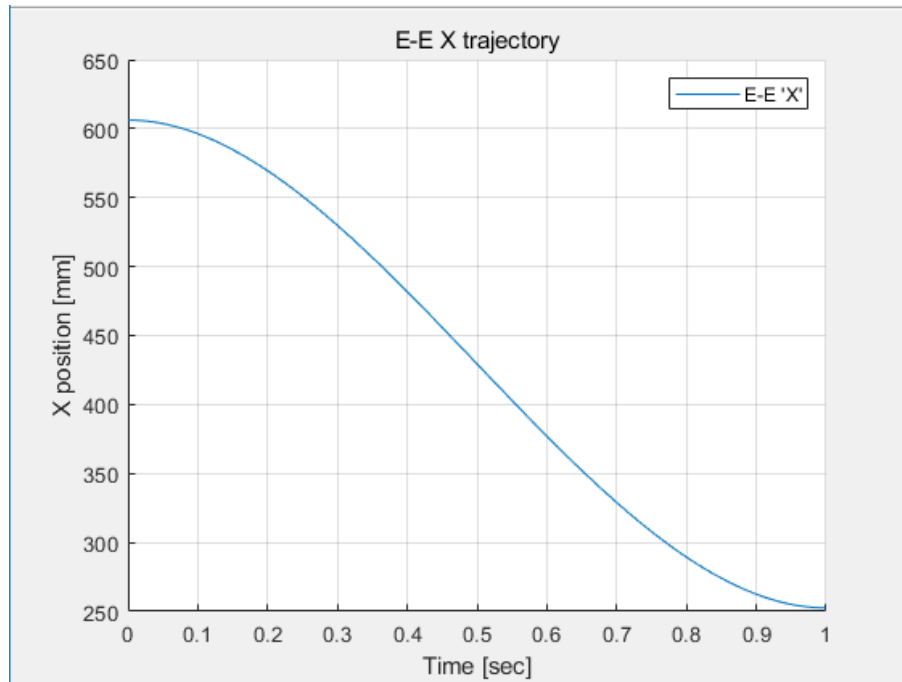
$$\ddot{q}_x(t) = -4330.89 + 4243.78 * t \quad (24)$$

$$\dot{q}_y(t) = \frac{(-2121.89t + 2121.89t^2)(58.6939 - 1060.94t^2 + 707.296t^3)}{\sqrt{206116 - (58.6939 - 1060.94t^2 + 707.296t^3)^2}} \quad (25)$$

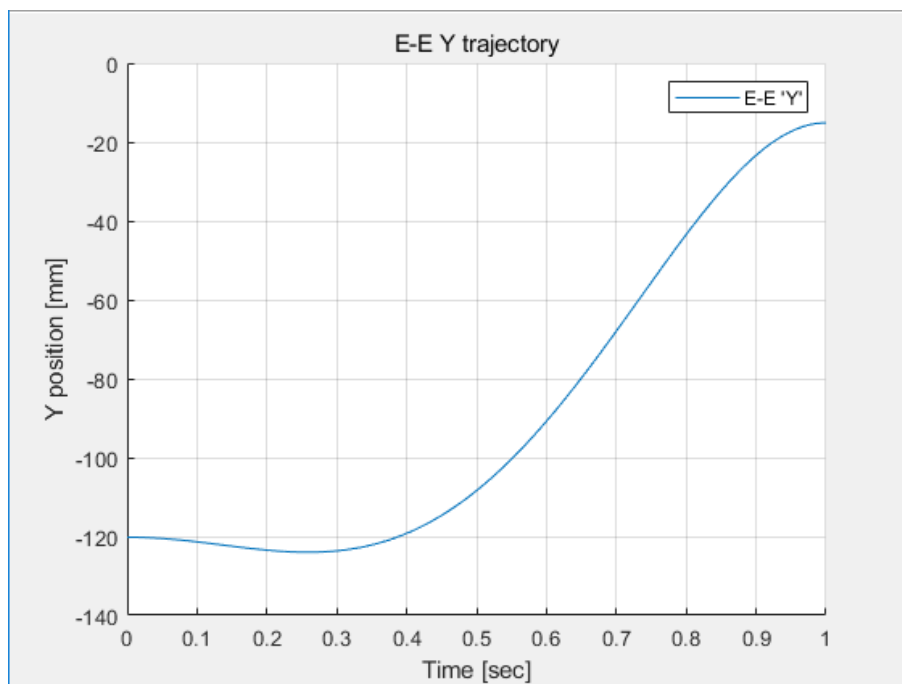
$$\ddot{q}_y(t) = \frac{(-2121.89t + 2121.89t^2)^2(58.6939 - 1060.94t^2 + 707.296t^3)^2}{(206116 - (58.6939 - 1060.94t^2 + 707.296t^3)^2)^{3/2}} \quad (26)$$

$$+ \frac{(-2121.89t + 2121.89t^2)^2}{\sqrt{206116 - (58.6939 - 1060.94t^2 + 707.296t^3)^2}} + \frac{(-2121.89 + 4243.78t)(58.6939 - 1060.94t^2 + 707.296t^3)}{\sqrt{206116 - (58.6939 - 1060.94t^2 + 707.296t^3)^2}} \quad (27)$$

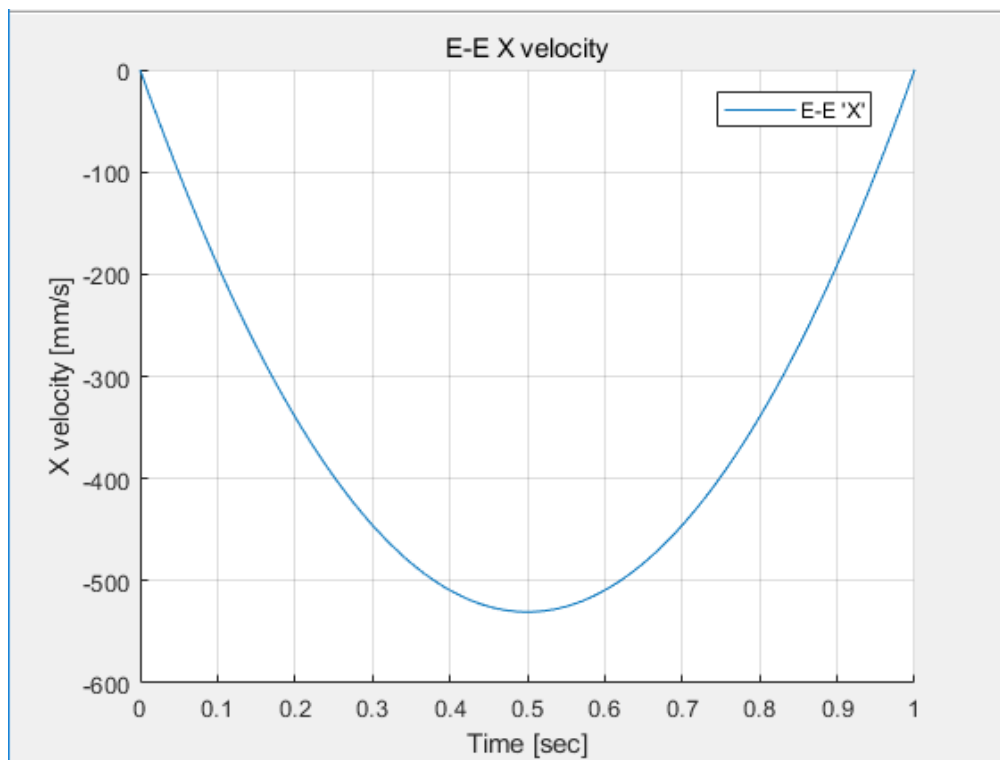
이렇게 구한 식을 시간에 대한 그래프로 나타내면 다음과 같이 그릴 수 있다.



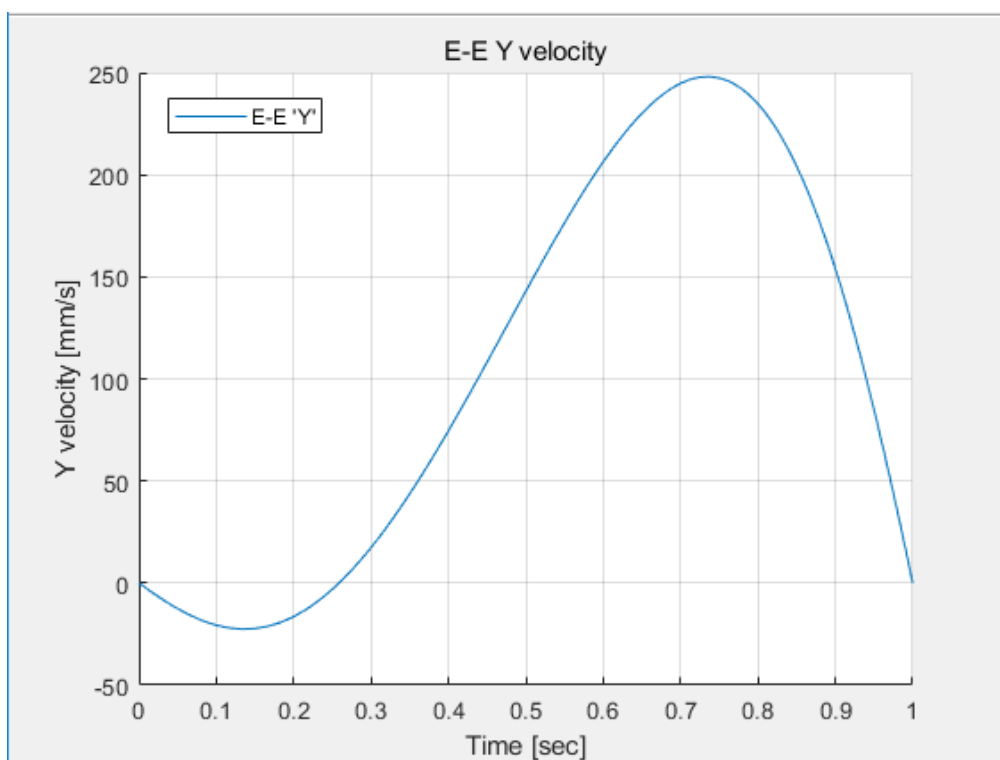
<그림 22> X Trajectory



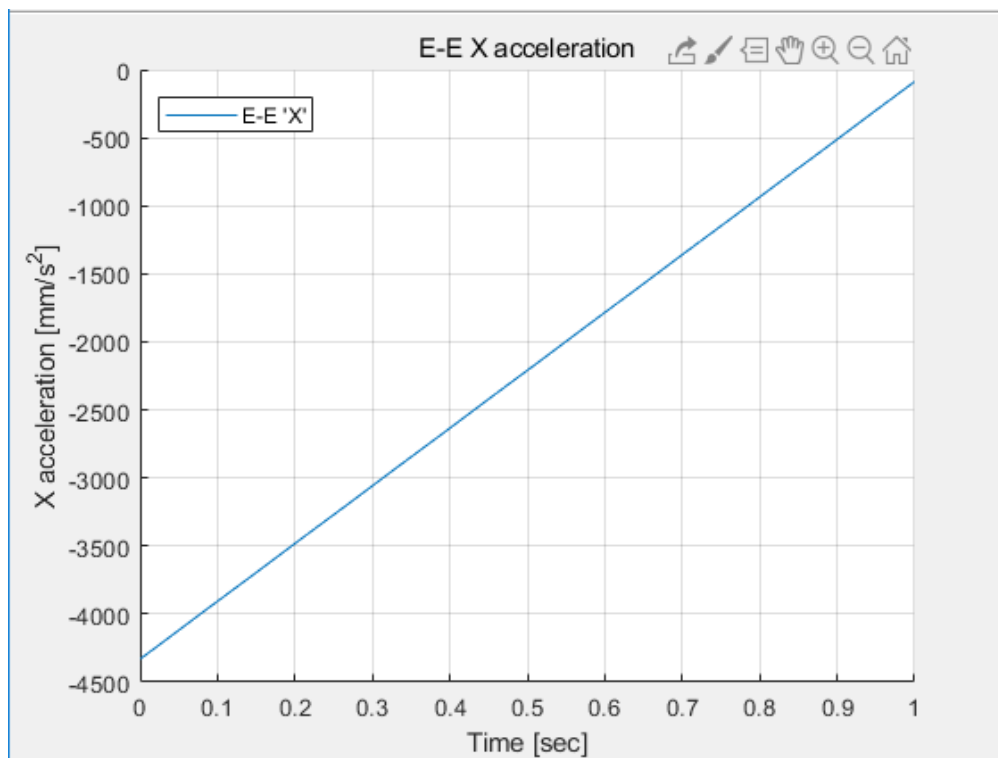
<그림 23> Y Trajectory



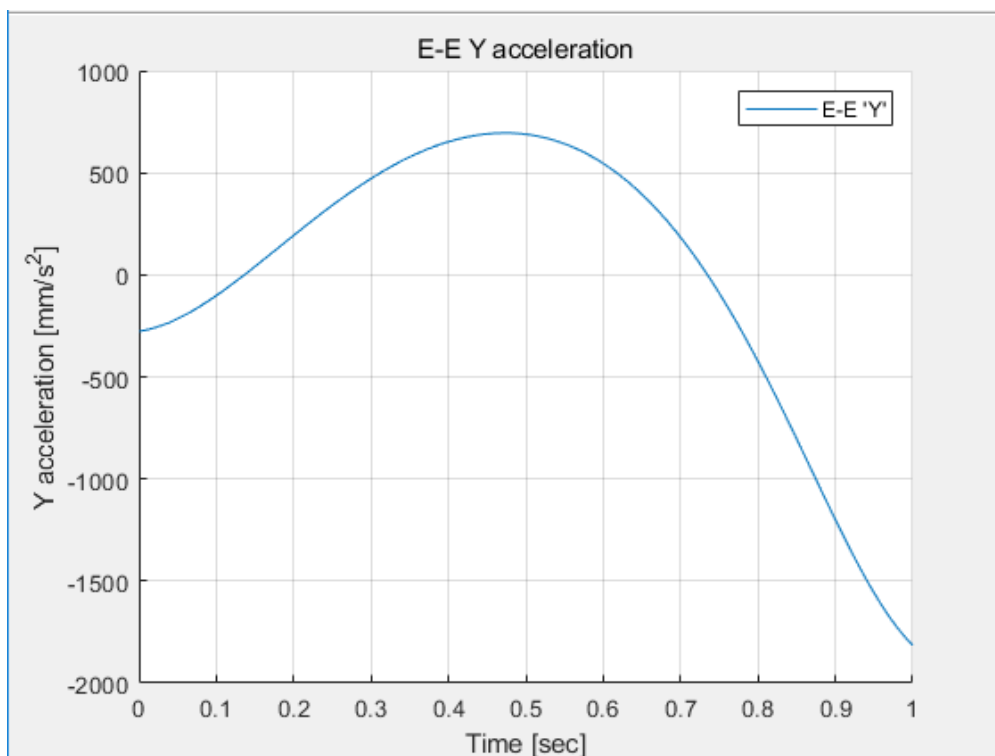
<그림 24> X Velocity



<그림 25> Y Velocity

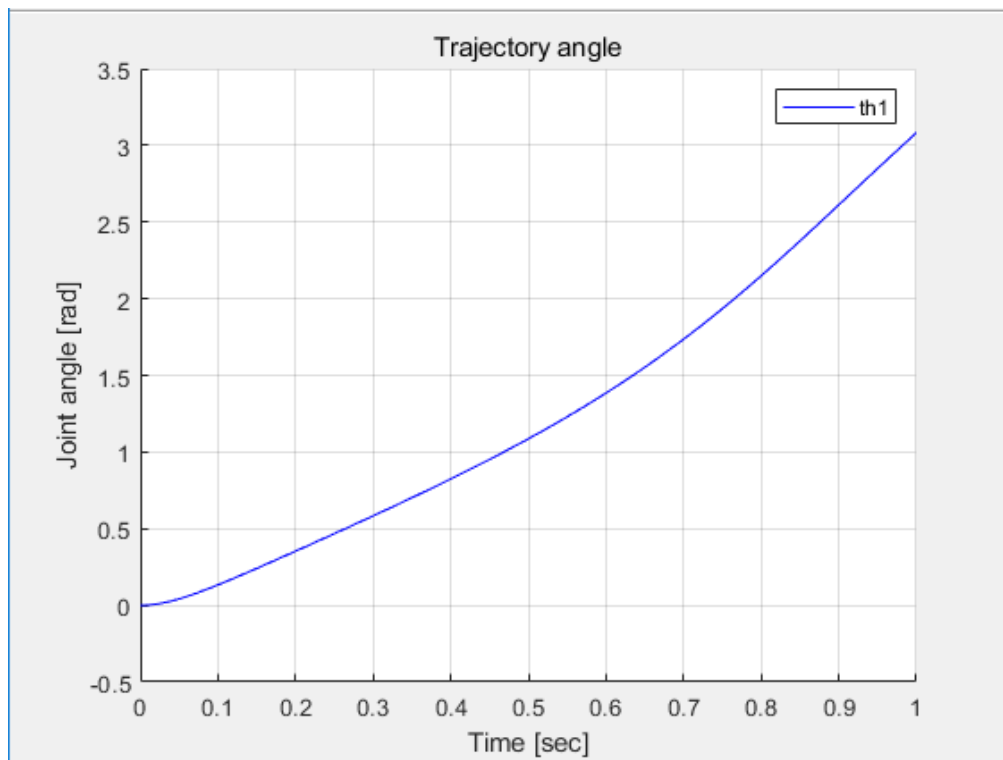


<그림 26> X Acceleration

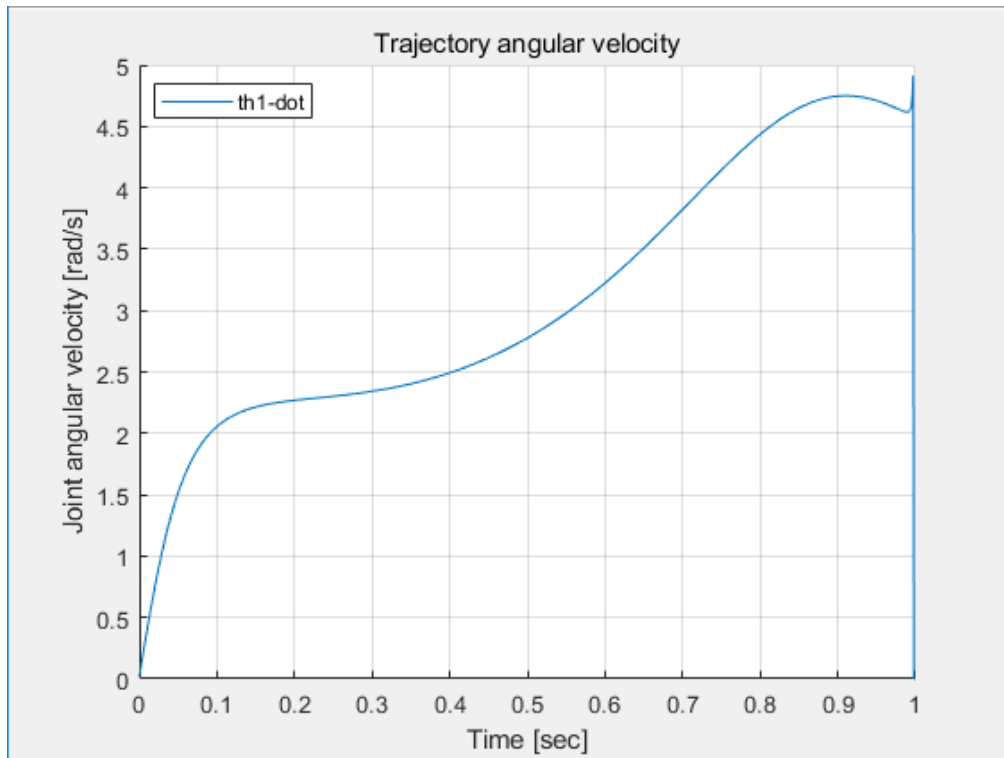


<그림 27> Y Acceleration

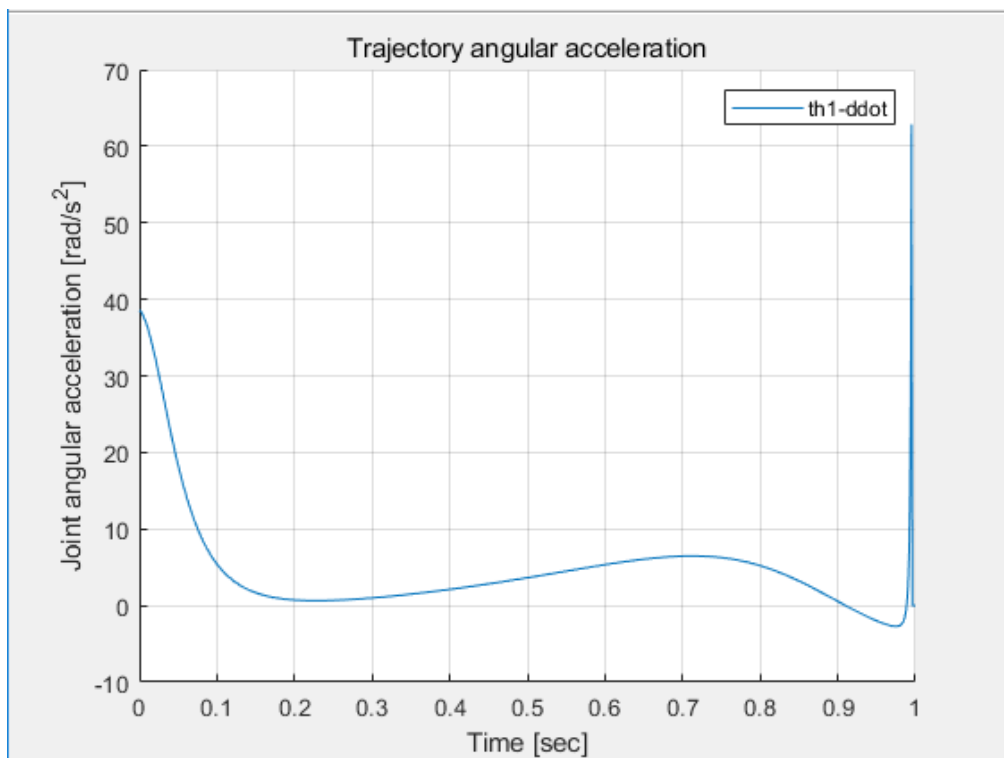
이렇게 구한 x와 y 좌표의 Trajectory를 이용하여 I.K.를 풀면 각각 θ_1 과 θ_2 를 구할 수 있다. 여기서 **Joint variable은 θ_1 하나**이기 때문에 θ_1 의 Trajectory와 각속도, 각가속도를 각각 그래프로 나타내었다. 이때, 각속도와 각가속도는 미분할 수 없으므로, θ_1 의 값을 차분하여 만들어 내었다. 그런데, 차분할 때 값이 튀는 경우가 발생하였는데, 이 경우에 그 값을 버리고 값을 선정하였다.



<그림 28> θ_1 Trajectory



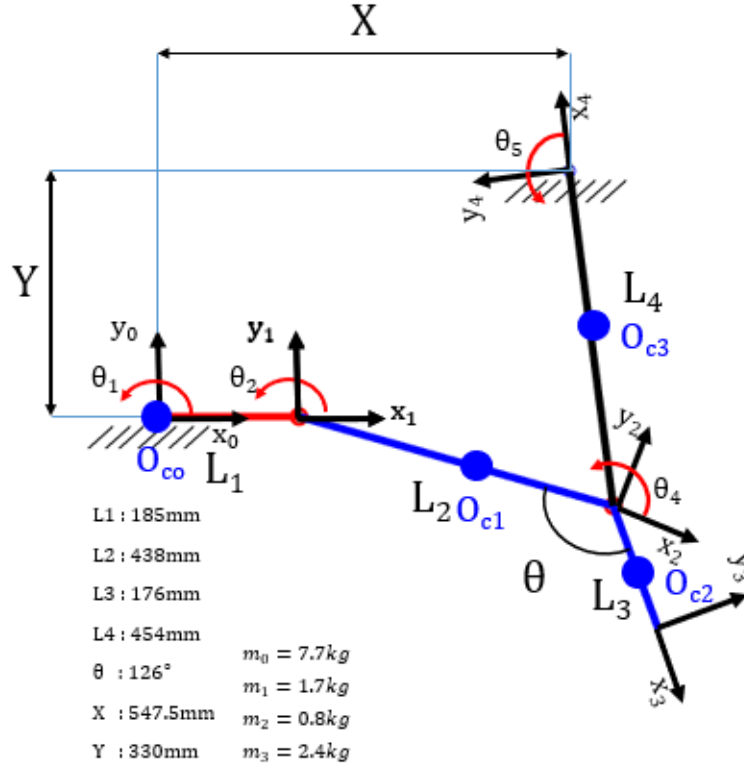
<그림 29> θ_1 Angular Velocity



<그림 30> θ_1 Angular Acceleration

8. 동역학 해석

동역학 해석을 하기 위해 다음과 같이 각 링크의 질량중심을 구하였다. 여기서 링크2와 링크3은 두 개로 나누어 진행하였으며, 그 무게는 각각 1.7kg, 0.8kg으로 나누었다.



<그림 31> 각 링크의 질량 중심

각각의 질량중심은 다음과 같이 구하였다.

$$O_{co} = \begin{bmatrix} 0 \\ 0 \\ 0 \end{bmatrix} \quad (28)$$

$$O_{c1} = \frac{O_2 + O_1}{2} = \begin{bmatrix} L_1 \cos \theta_1 + \frac{L_2 \cos(\theta_1 + \theta_2)}{2} \\ L_1 \sin \theta_1 + \frac{L_2 \sin(\theta_1 + \theta_2)}{2} \\ 0 \end{bmatrix} \quad (29)$$

$$O_{c2} = \frac{O_3 + O_2}{2} = \begin{bmatrix} L_1 \cos \theta_1 + L_2 \cos(\theta_1 + \theta_2) + \frac{L_3 \cos(\theta_1 + \theta_2 + \theta_3)}{2} \\ L_1 \sin \theta_1 + L_2 \sin(\theta_1 + \theta_2) + \frac{L_3 \sin(\theta_1 + \theta_2 + \theta_3)}{2} \\ 0 \end{bmatrix} \quad (30)$$

$$O_{c3} = \frac{O_4 + O_2}{2} = \begin{bmatrix} \frac{X + L_1 \cos \theta_1 + L_2 \cos(\theta_1 + \theta_2)}{2} \\ \frac{Y + L_1 \sin \theta_1 + L_2 \sin(\theta_1 + \theta_2)}{2} \\ 0 \end{bmatrix} \quad (31)$$

먼저 **Kinetic Energy(K)**를 구하기 위해 Translational Kinetic Energy(K_T)와 Rotational Kinetic Energy(K_R)를 구하였다. K_T 는 다음과 같다.

$$K_T = \frac{1}{2} \dot{q}^T (m_1 J_{v_{c1}}^T J_{v_{c1}} + m_2 J_{v_{c2}}^T J_{v_{c2}} + m_3 J_{v_{c3}}^T J_{v_{c3}}) \dot{q} \quad (32)$$

여기서 Jacobian 이 필요하므로, 각각의 Jacobian 을 다음과 같이 구하였다.

$$J_{v_{c1}} = \begin{bmatrix} -L_1 \sin \theta_1 - \frac{L_2 \sin(\theta_1 + \theta_2)}{2} \\ L_1 \cos \theta_1 + \frac{L_2 \cos(\theta_1 + \theta_2)}{2} \\ 0 \end{bmatrix} \quad (32)$$

$$J_{v_{c2}} = \begin{bmatrix} -L_1 \sin \theta_1 - L_2 \sin(\theta_1 + \theta_2) - \frac{L_3 \sin(\theta_1 + \theta_2 + \theta_3)}{2} \\ L_1 \cos \theta_1 + L_2 \cos(\theta_1 + \theta_2) + \frac{L_3 \cos(\theta_1 + \theta_2 + \theta_3)}{2} \\ 0 \end{bmatrix} \quad (33)$$

$$J_{v_{c3}} = \begin{bmatrix} -\frac{Y + L_1 \sin \theta_1 + L_2 \sin(\theta_1 + \theta_2)}{2} \\ \frac{X + L_1 \cos \theta_1 + L_2 \cos(\theta_1 + \theta_2)}{2} \\ 0 \end{bmatrix} \quad (34)$$

K_R 은 다음과 같다.

$$K_R = \frac{1}{2} \dot{q}^T (J_{\omega_{c0}}^T R_0^0 I_{c1} (R_0^0)^T J_{\omega_{c0}} + J_{\omega_{c1}}^T R_{c1}^0 I_{c1} (R_{c1}^0)^T J_{\omega_{c1}} + J_{\omega_{c2}}^T R_{c2}^0 I_{c2} (R_{c2}^0)^T J_{\omega_{c2}} + J_{\omega_{c3}}^T R_{c3}^0 I_{c3} (R_{c3}^0)^T J_{\omega_{c3}}) \dot{q} \quad (35)$$

여기서도 마찬가지로 Jacobian 이 필요하므로 다음과 같이 구하였다.

$$J_{\omega_{c0}} = J_{\omega_{c1}} = J_{\omega_{c2}} = J_{\omega_{c3}} = \begin{bmatrix} 0 \\ 0 \\ 1 \end{bmatrix} \quad (36)$$

여기서 각속도에 의한 Jacobian 은 Planar 로봇으로 모두 위와 같이 동일하게 나온다.

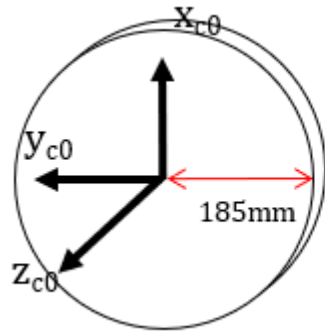
그리고 F.K.에서 구한 Homogeneous Vector 에서 Rotation Vector 를 구하면 다음과 같다.

$$R_{c1}^0 = R_2^0 = \begin{bmatrix} \cos(\theta_1 + \theta_2^*) & -\sin(\theta_1 + \theta_2^*) & 0 \\ \sin(\theta_1 + \theta_2^*) & \cos(\theta_1 + \theta_2^*) & 0 \\ 0 & 0 & 1 \end{bmatrix} \quad (37)$$

$$R_{c2}^0 = R_3^0 = \begin{bmatrix} \cos(\theta_1 + \theta_2^* + \theta_3) & -\sin(\theta_1 + \theta_2^* + \theta_3) & 0 \\ \sin(\theta_1 + \theta_2^* + \theta_3) & \cos(\theta_1 + \theta_2^* + \theta_3) & 0 \\ 0 & 0 & 1 \end{bmatrix} \quad (38)$$

$$R_{c3}^0 = R_4^0 = \begin{bmatrix} \cos(\theta_1 + \theta_2^* + \theta_4) & -\sin(\theta_1 + \theta_2^* + \theta_4) & 0 \\ \sin(\theta_1 + \theta_2^* + \theta_4) & \cos(\theta_1 + \theta_2^* + \theta_4) & 0 \\ 0 & 0 & 1 \end{bmatrix} \quad (39)$$

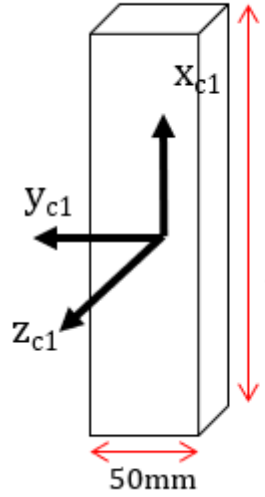
또한 각 링크의 Inertial Tensor 를 구해야 하는데, 여기서는 z 축의 Planar 로봇의 특징으로 질량 관성 모멘트만 구하면 되므로, 다음과 같이 구하였다.



$$I_{c0zz} = \frac{m_0}{2} R^2$$

$$\therefore I_{c0zz} = 0.1318 \text{ kg} \cdot \text{m}^2$$

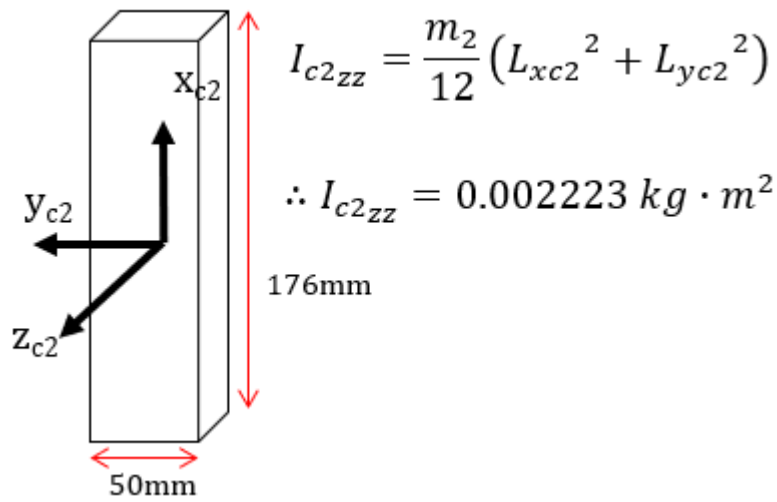
<그림 32> 1번 링크 질량 관성모멘트



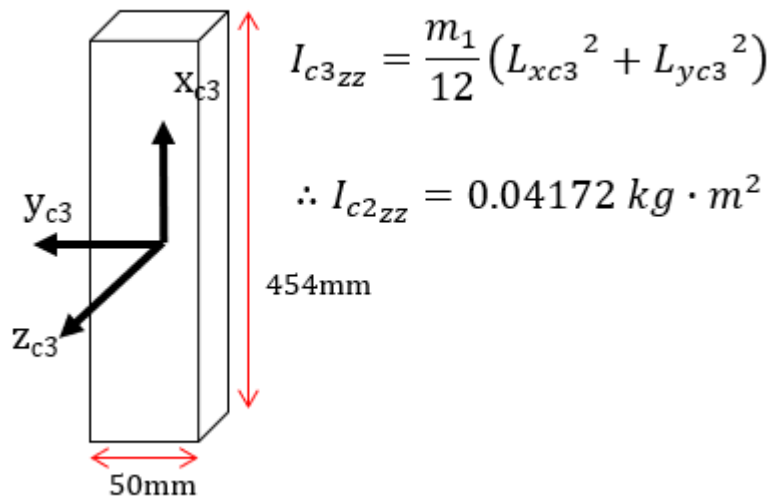
$$I_{c1zz} = \frac{m_1}{12} (L_{xc1}^2 + L_{yc1}^2)$$

$$\therefore I_{c2zz} = 0.0275 \text{ kg} \cdot \text{m}^2$$

<그림 33> 2번 링크 질량 관성모멘트



<그림 34> 3번 링크 질량 관성모멘트



<그림 35> 4번 링크 질량 관성모멘트

이와 같은 결과로 Kinetic Energy(K)를 구하면 다음과 같으며,

$$K = K_T + K_R = \frac{1}{2} \dot{q}^T D(q) \dot{q} \quad (40)$$

여기서 D(q)를 구하면 다음과 같이 구할 수 있다.

$$\begin{aligned}
D(q) = d_{11} = & \frac{1}{4} [4I_{c0zz} + 4I_{c1zz} + 4I_{c2zz} + 4I_{c3zz} + L_3^2 m_2 + L_2^2 (m_1 + 4m_2 + m_3) \\
& + L_1^2 (4(m_1 + m_2) + m_3) + m_3(x^2 + y^2) + 2\{L_1 m_3 x \cos \theta_1 \\
& + L_1 L_2 (2m_1 + 4m_2 + m_3) \cos \theta_2 + L_2 m_3 x \cos(\theta_1 + \theta_2) \\
& + 2L_2 L_3 m_2 \cos \theta_3 + 2L_1 L_3 m_2 \cos(\theta_2 + \theta_3) + L_1 m_3 y \sin \theta_1 \\
& + L_2 m_3 y \sin(\theta_1 + \theta_3)\}]
\end{aligned} \tag{41}$$

여기서 특징은 Joint variable 이 한 개이기 때문에 Vector 가 아닌 **Scalar** 로 나오게 된다.

다음으로 **Potential Energy(P)**의 식은 다음과 같다.

$$P = m_1 \cdot g \cdot y_{c1} + m_2 \cdot g \cdot y_{c2} + m_3 \cdot g \cdot y_{c3} \tag{42}$$

위 식을 구하기 위해 각각의 y 값을 구하면 다음과 같다.

$$y_{c1} = L_1 \sin \theta_1 + \frac{L_2 \sin(\theta_1 + \theta_2)}{2} \tag{43}$$

$$y_{c2} = L_1 \sin \theta_1 + L_2 \sin(\theta_1 + \theta_2) + \frac{L_3 \sin(\theta_1 + \theta_2 + \theta_3)}{2} \tag{44}$$

$$y_{c3} = \frac{y + L_1 \sin \theta_1 + L_2 \sin(\theta_1 + \theta_2)}{2}$$

따라서 P 를 구할 수 있으며, 이 때 g 값을 구할 수 있다.

$$\begin{aligned}
P = & \frac{1}{2} g \{ m_3 y + L_1 (2(m_1 + m_2) + m_3) \sin \theta_1 + L_2 (m_1 + 2m_2 + m_3) \sin(\theta_1 + \theta_2) \\
& + L_3 m_2 \sin(\theta_1 + \theta_2 + \theta_3) \}
\end{aligned} \tag{46}$$

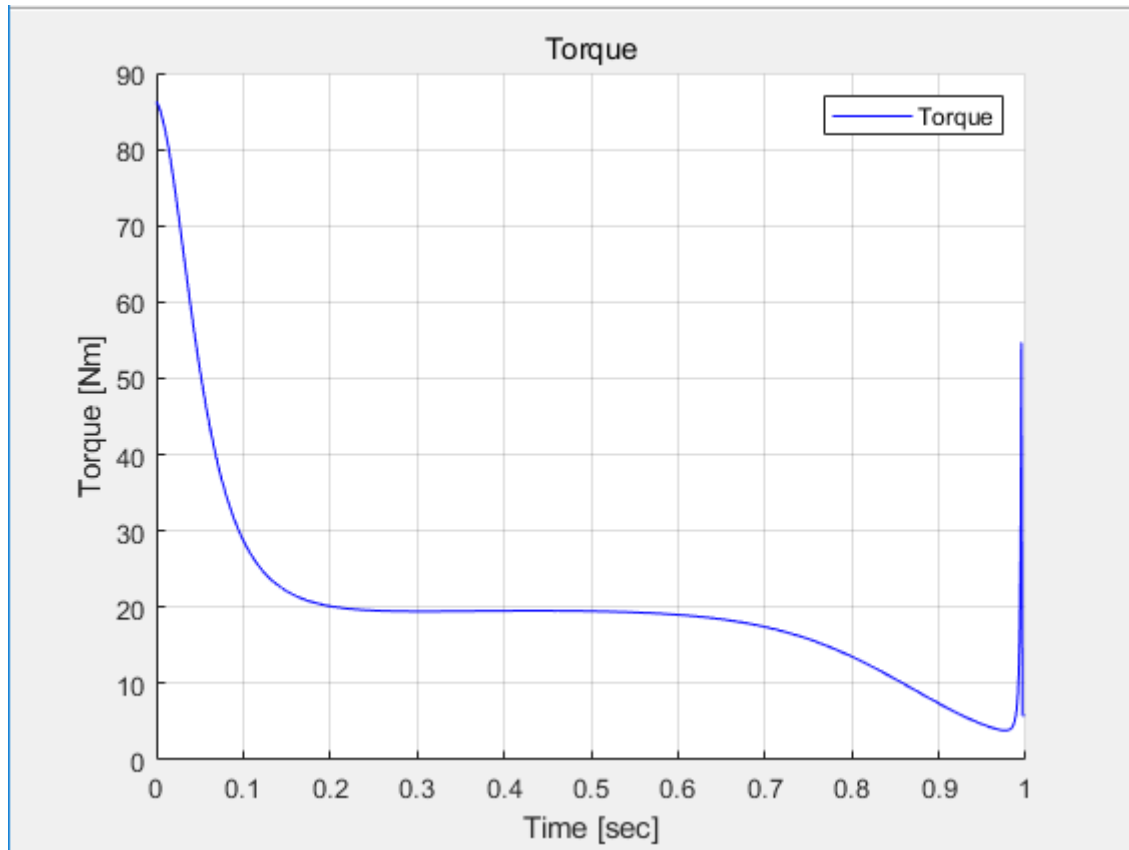
$$\begin{aligned}
g = \frac{\partial P}{\partial \theta_1} = & \frac{1}{2} g \{ L_1 (2(m_1 + m_2) + m_3) \cos \theta_1 + L_2 (m_1 + 2m_2 + m_3) \cos(\theta_1 + \theta_2) \\
& + L_3 m_2 \cos(\theta_1 + \theta_2 + \theta_3) \}
\end{aligned} \tag{47}$$

마지막으로 **Centrifugal and Coliolis(C)**를 구하면 다음과 같다.

$$c_{11} = c_{111} = \frac{1}{2} \frac{\partial d_{11}}{\partial q_1} = \frac{1}{4} m_3 \{ L_1 y \cos \theta_1 + L_2 y \cos(\theta_1 + \theta_2) - x (L_1 \sin \theta_1 + L_2 \sin(\theta_1 + \theta_2)) \} \tag{48}$$

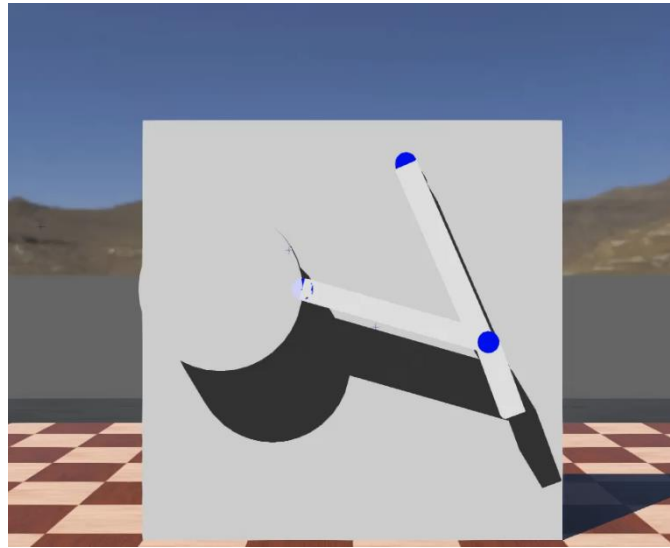
이 결과값들을 이용하여 Torque 를 계산하면 다음과 같은 그래프를 얻을 수 있다.

$$\tau = D(q)\ddot{q} + C(q, \dot{q})\dot{q} + G(q) = d_{11}\ddot{q} + c_{11}\dot{q} + g \quad (49)$$



<그림 36> θ_1 의 Torque 그래프

9. 독립관절 위치제어

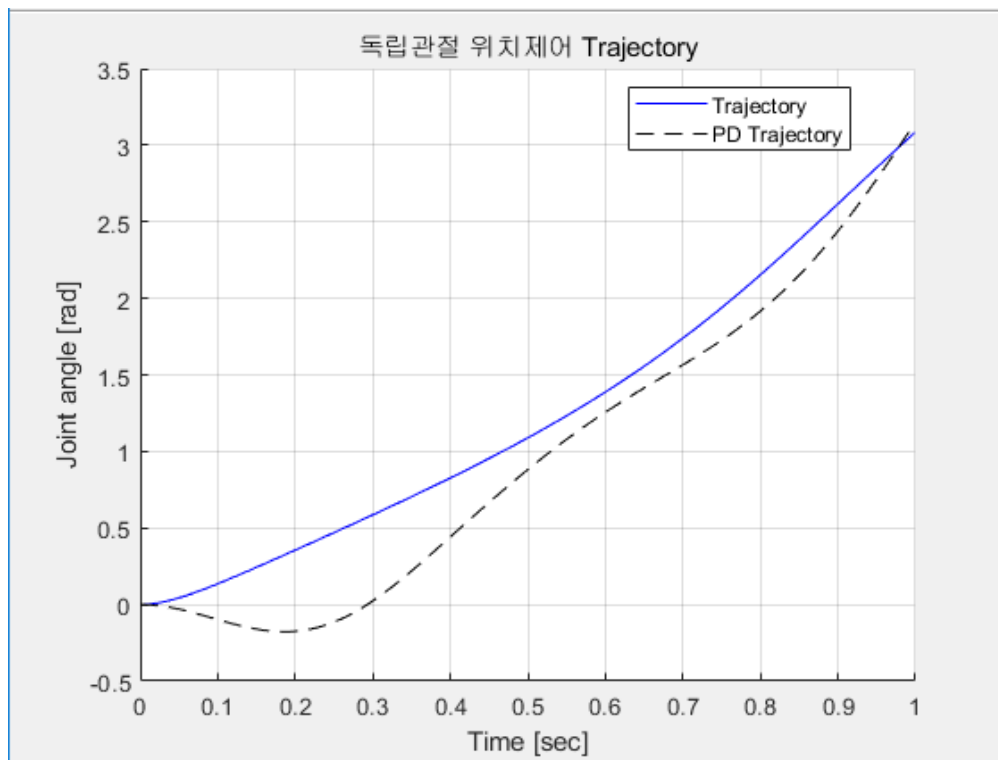


<그림 37> Webot 모델링

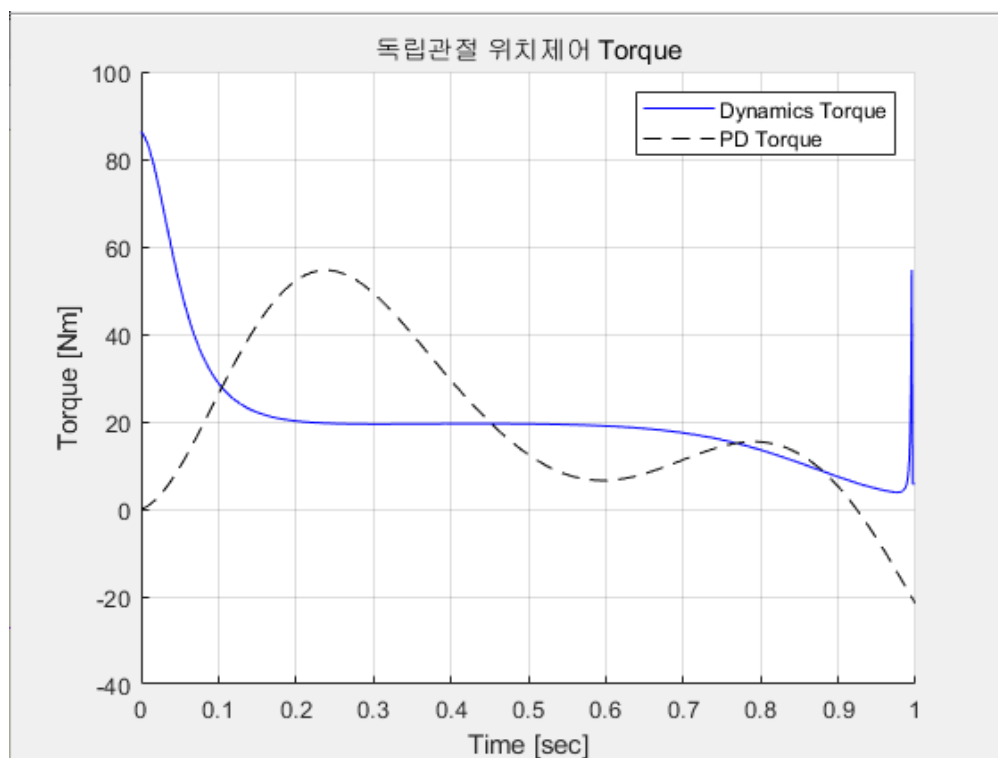
독립관절 위치제어를 하기위해 **Webot**으로 다음과 같이 모델링을 하였다.

모델링을 진행한 이후, PD Control을 하기 위해 P 게인과, D 게인을 넣으며 적절한 게인을 선정하였다.

P 게인과 D 게인이 낮을 때($K_p = 100$, $K_d = 2$), 다음과 같은 경로와 Torque를 보였다.



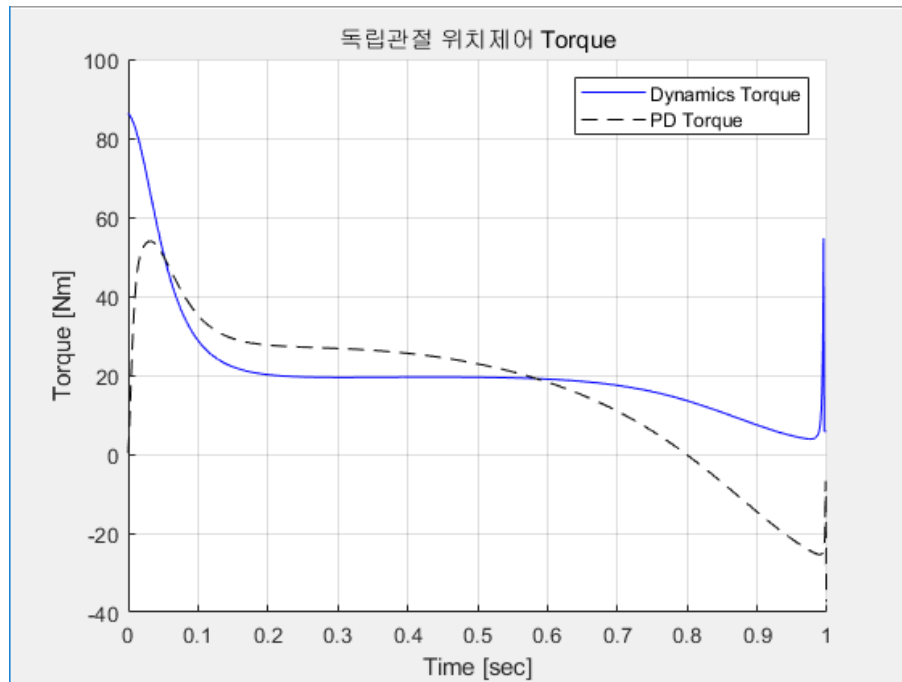
<그림 38> 게인이 낮을 때 Trajectory



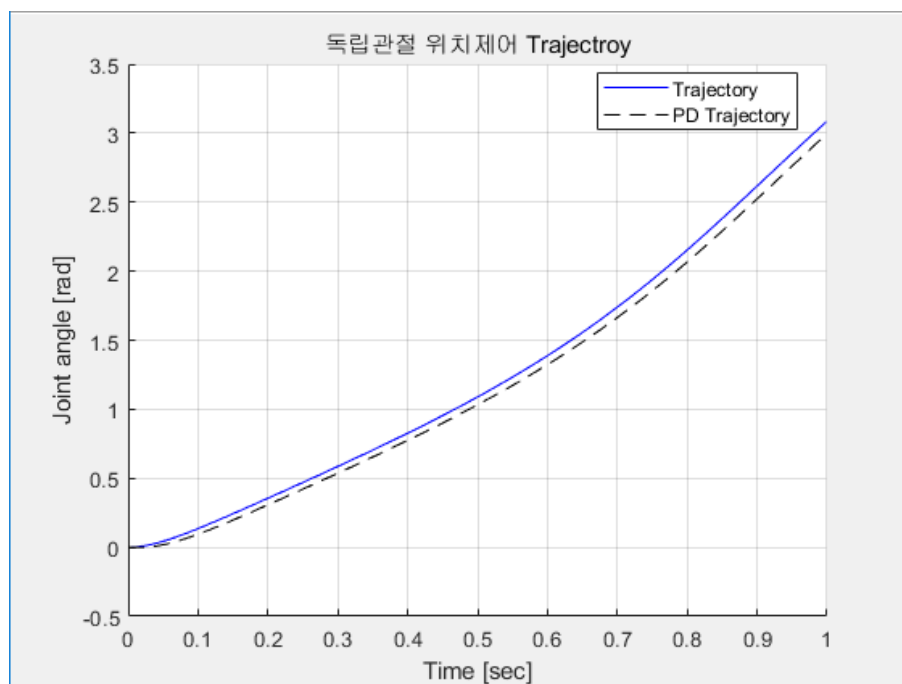
<그림 39> 게인이 낮을 때 Torque

게인이 낮기 때문에, **경로를 잘 추종하지 못하는** 것을 확인하였고, Torque 또한 직접 손으로 계산한 것과 차이가 나는 것을 확인하였다.

적절한 게인을 찾아 게인을 올렸을 때($K_p = 10000$, $K_d = 200$), 다음과 같이 **경로를 잘 추종하는** 것을 볼 수 있었고, Torque값도 손으로 계산한 것과 비슷하게 나오는 것을 볼 수



<그림 40> 게인이 높을 때 Trajectory

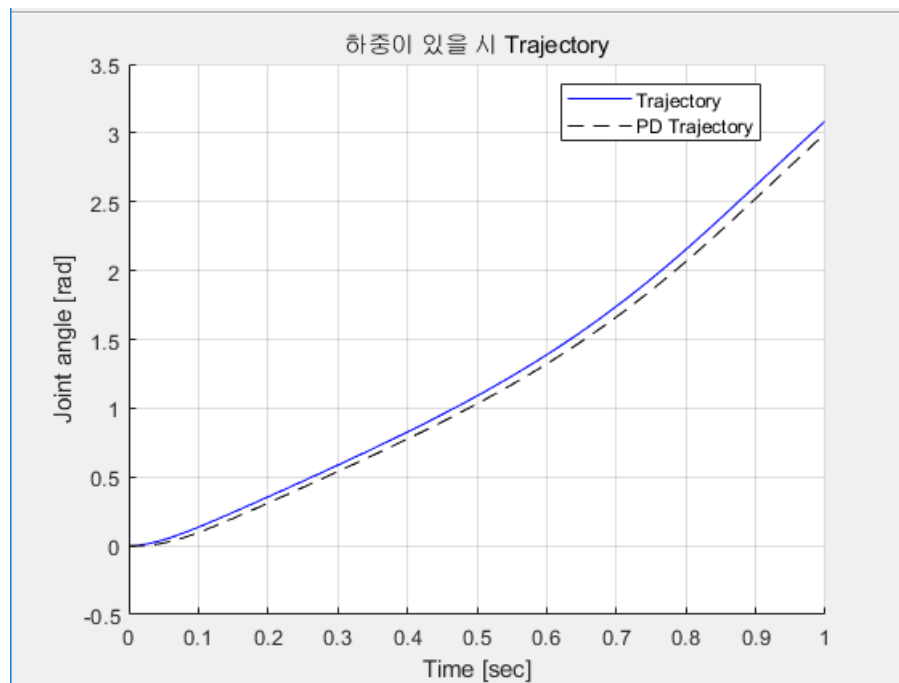


<그림 41> 게인이 높을 때 Torque

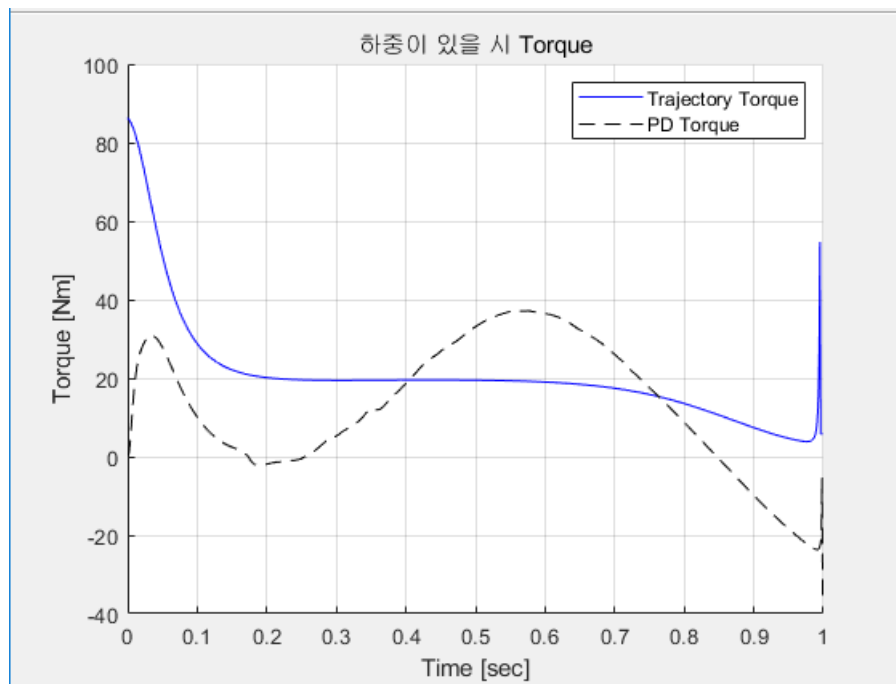
있었다.

그런데 Torque 값이 조금 다른 현상을 보였는데, 직접 계산한 값은 약 88N에서 시작하였지만, 모델링에서는 Torque가 0으로 시작했기 때문에 초반부에 차이가 생긴 것으로 판단되고, 0.6초 이후에 Torque 값이 작아지면서 마이너스 값으로 떨어지게 되는데, 이는 모델링에서 Singularity에서 멈춰야 하기 때문에 반대로 Torque가 작용한 것으로 판단이 된다. 따라서 이러한 문제는 로봇이 중간에 멈추는 것이 아닌 계속해서 운동할 때 없어질 것으로 판단된다.

다음으로 PD 제어로 로봇이 운동할 때 발판부에 일정한 하중이 걸린 것처럼 실험을 하였는데, 다음과 같이 경로 추종은 잘 되었으나, Torque값이 변하는 것을 볼 수 있었다.



<그림 42> 하중이 있을 때 Trajectory

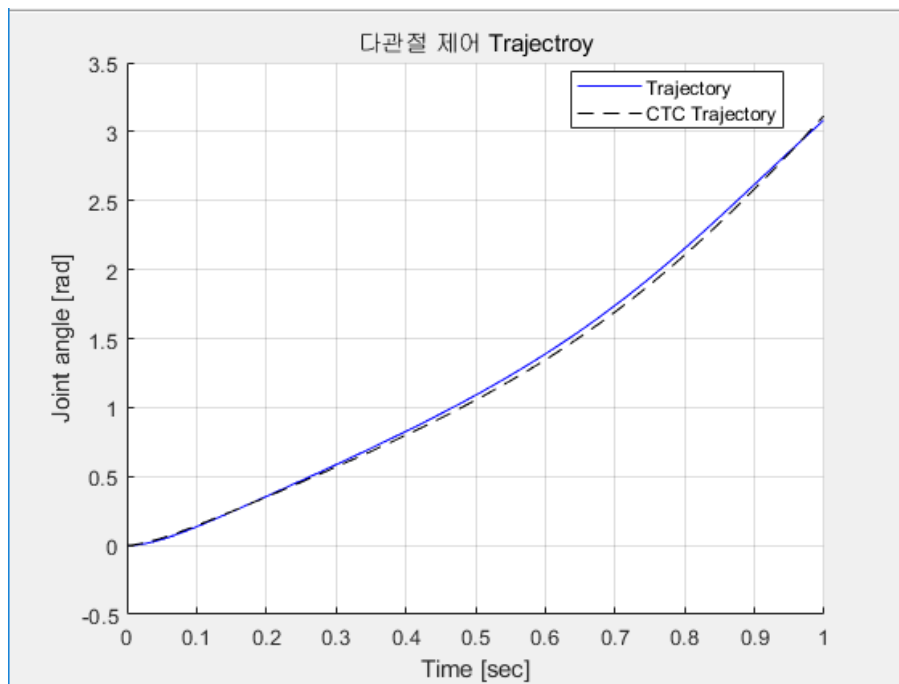


<그림 43> 하중이 있을 때 Torque

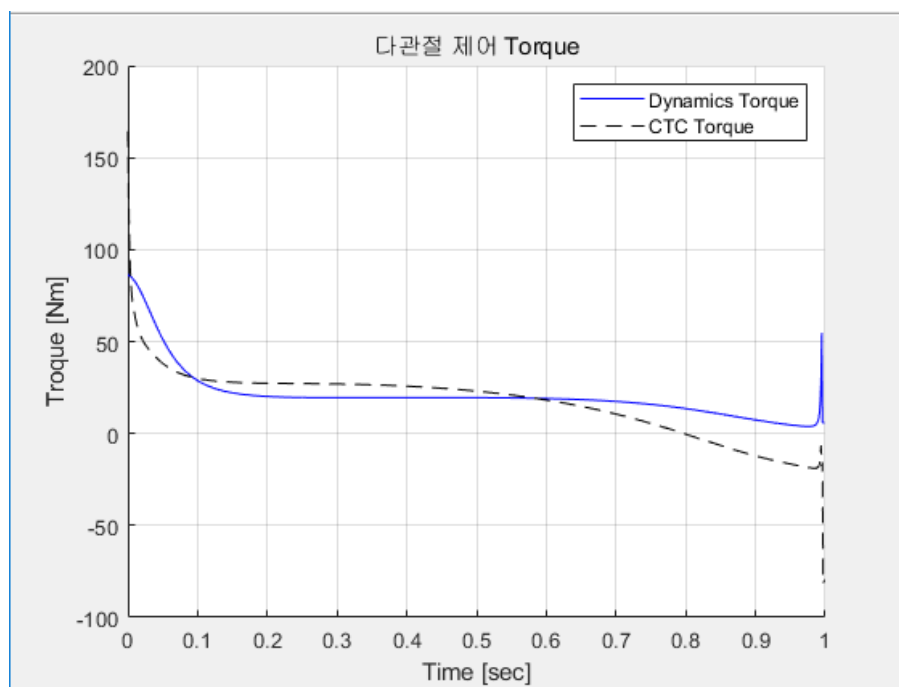
10. 다관절 위치제어

다관절 위치제어를 하기위해 PD 제어와 동일하게 Webot을 이용하여 진행하였으며, **Joint Space**에서의 제어를 기반으로 Torque를 계산하였다. 각 게인을 적절하게 선정하고 제어를 하였을 때 다음과 같이 경로와 Torque를 구할 수 있었다.

이 때 게인은 ($K_p = 150$, $K_v = 70$) 으로 설정하였다.

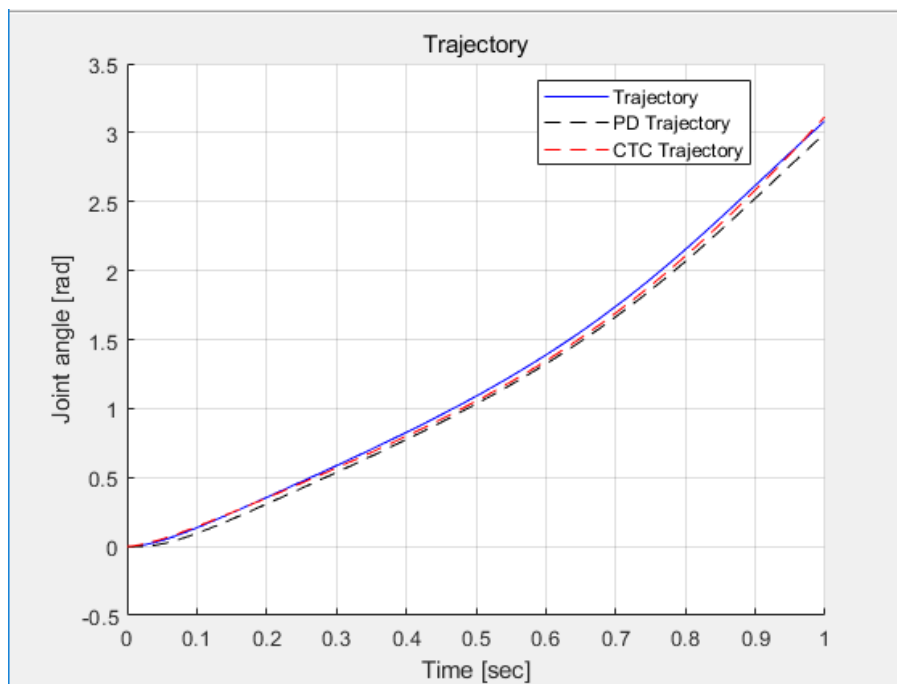


<그림 44> 다관절 위치제어 Trajectory

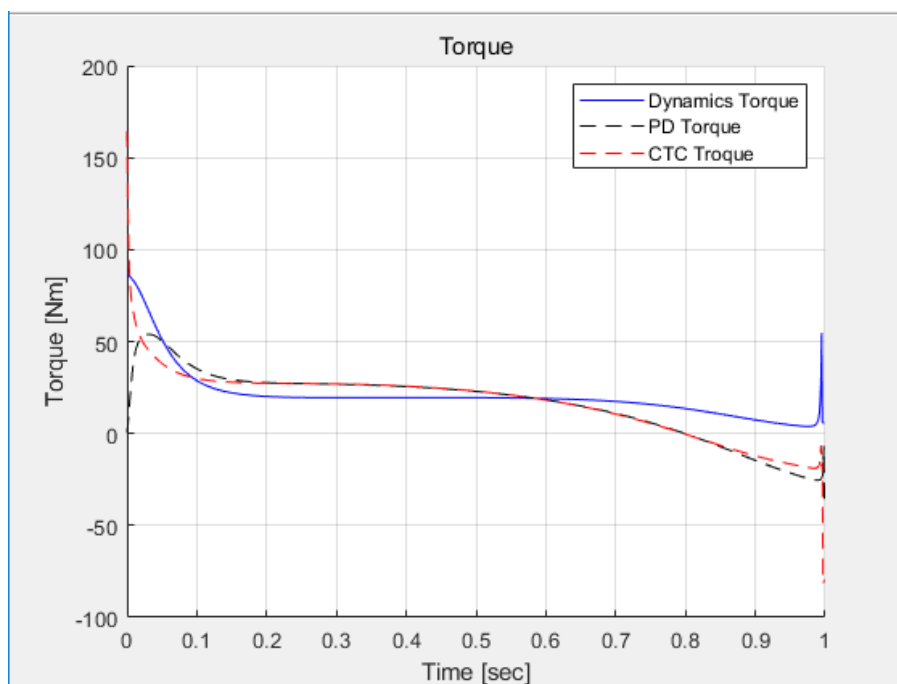


<그림 45> 다관절 위치제어 Torque

이를 PD Control과 비교하기 위해 같이 도식하면 다음과 같다.



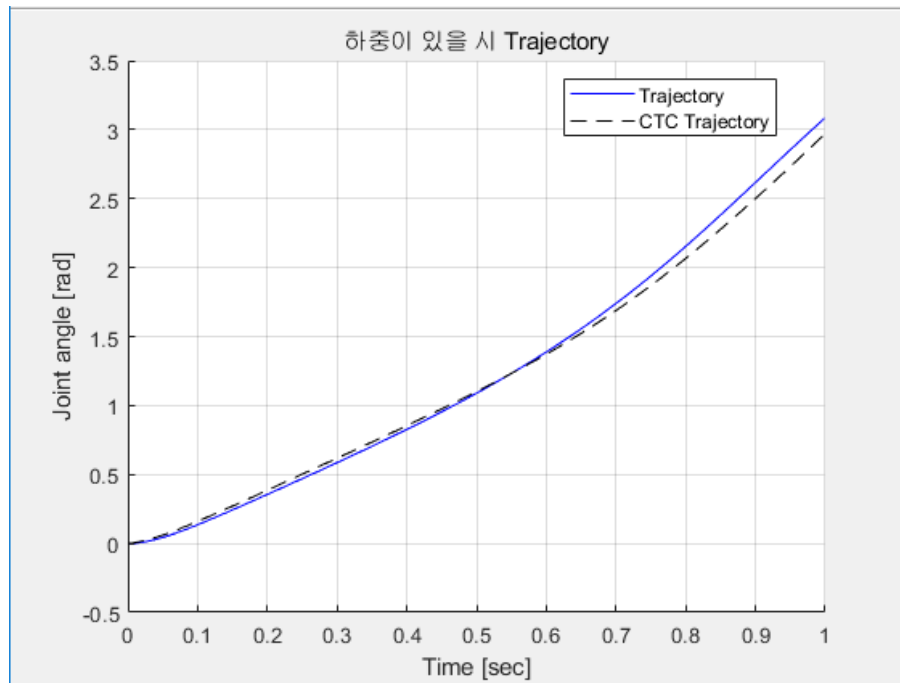
<그림 46> PD 제어 / CTC 제어 Trajectory



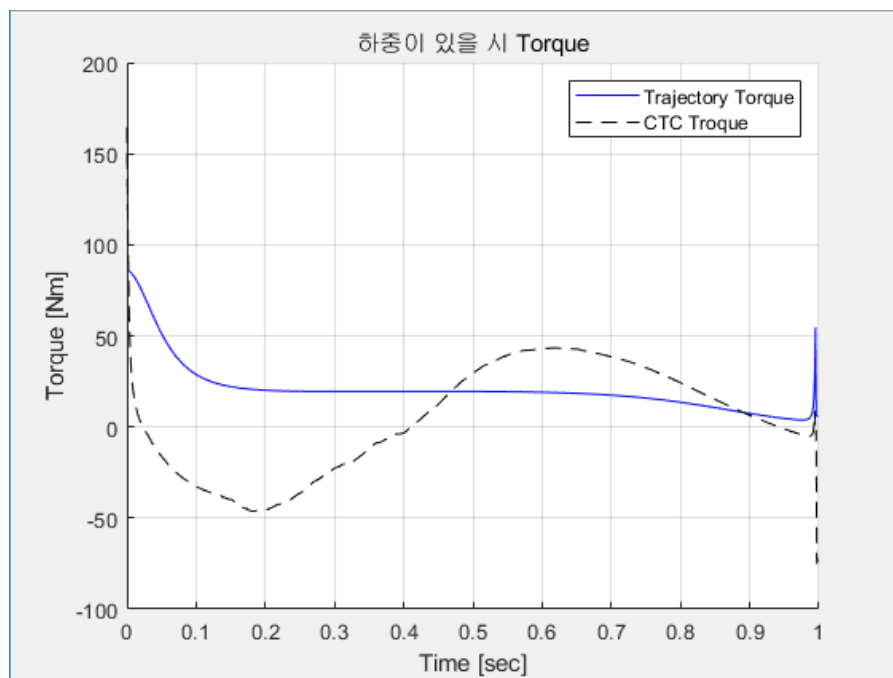
<그림 47> PD 제어 / CTC 제어 Torque

이를 볼 때 **CTC Control이 PD Control보다 더 정확한 Torque 값**이 나오는 것을 볼 수 있었다.

다관절 독립제어에서도 마찬가지로 발판에 사람에 의한 하중이 작용했을 때 Trajectory와 Torque를 구하였다.



<그림 48> 하중에 있을 때 CTC 제어 Trajectory



<그림 49> 하중에 있을 때 CTC 제어 Torque

여기서 PD 제어와는 다르게 경로를 따라가기는 하나 **조금의 오차**가 생기는 것을 볼 수

있고, Torque 값은 PD 제어와 비슷한 경향을 보이고 있다.

마지막으로 PD Control과 CTC Control에서 일정한 힘을 가했을 때 로봇의 **Stiffness**를 확인하였는데, PD Control은 하중에 대해 굉장히 강력한 편이었으나, CTC Control은 하중에 대해 PD Control보다 조금 더 유연한 모습을 보였다.

11. 결론

1. Serial Robot 이 아닌 **Parallel Robot**에서의 동역학 해석에 대해서 공부할 수 있었다.
2. 추후 연구 시에는 경로계획에서 로봇의 움직임이 **사람의 보행 Trajectory**와 유사하도록 Trajectory 를 만들어야 한다.
3. 동역학 해석 시 링크를 단순화하여 질량 관성 모멘트와 질량 중심을 구하였는데, **실제 링크의 질량 중심과 관성 모멘트**를 고려해야 한다.
4. 직접 계산한 Torque와 독립관절제어와 다관절제어에서의 Torque 결과가 상이하게 나왔는데, 크랭크 축이 계속 회전을 하면 이런 문제가 없을 것으로 판단된다. 따라서 **Upper arm과 Under arm**을 계속해서 운동하는 것을 시뮬레이션 하여 Torque값을 구해야 할 것이다.
5. End Effector에 하중이 걸렸을 때 필요한 **모터 토크에 대한 해석**을 더 진행하여, 모터에 필요한 Torque가 어떻게 나오는지 정확한 해석이 필요하다.

12. 부록

A. 매트랩	-----	39 - 1
B. Mathematica	-----	39 - 23
C. Webot	-----	39 - 29

A. 매트랩

1. Kinematics.m

```
% %% F.K.
%
% L1 = 185;
% L2 = 438;
% L3 = 176;
% L4 = 454;
%
% th1 = 0;
% th2 = 0;
% th2star = th2 - 15.9233;
% th3 = -54;
%
% A1 = [cosd(th1), -sind(th1), 0, L1*cosd(th1)
%       sind(th1), cosd(th1), 0, L1*sind(th1)
%       0, 0, 1, 0
%       0, 0, 0, 1];
%
% A2 = [cosd(th2star), -sind(th2star), 0, L2*cosd(th2star)
%       sind(th2star), cosd(th2star), 0, L2*sind(th2star)
%       0, 0, 1, 0
%       0, 0, 0, 1];
%
% A3 = [cosd(th3), -sind(th3), 0, L3*cosd(th3)
%       sind(th3), cosd(th3), 0, L3*sind(th3)
%       0, 0, 1, 0
%       0, 0, 0, 1];
%
% T2 = A1*A2
% T3 = A1*A2*A3;
%
% %% I.K.
% xc = 606.1939;
% yc = -120.1654;
% beta = atan2(yc,xc);
%
% D1 = (xc^2 + yc^2 + L1^2 - L2^2) / (2 * sqrt(xc^2 + yc^2) * L1);
% alpha = atan2(sqrt(1-D1^2), D1);
%
```

```

% I_K_th1 = alpha + beta;
% I_K_th1 = I_K_th1 * 180 / pi
%
% D2 = (L1^2 + L2^2 - xc^2 - yc^2) / (2 * L1 * L2);
% gamma = atan2(sqrt(1-D2^2), D2);
% gamma = gamma * 180 / pi;
%
% I_K_th2 = gamma - 180 + 15.9233

%% Animation
clc, clear;

k = 0;
a = 0;
b = 0;
c = 0;

L1 = 185;
L2 = 438;
L3 = 176;
L4 = 454;

th3 = -54;
% upper arm
for i=-7.4302:0.01:40.5160

    k = k + 1;
    a = a + 1;
    xc(k) = 547.5 - L4 * sind(i);
    yc(k) = 330 - L4 * cosd(i);

    beta(k) = atan2(yc(k),xc(k));

    D1 = (xc(k)^2 + yc(k)^2 + L1^2 - L2^2) / (2 * sqrt(xc(k)^2 + yc(k)^2) *
L1);
    alpha(k) = atan2(sqrt(1-D1^2), D1);

    I_K_th1(k) = alpha(k) + beta(k);
    I_K_th1(k) = I_K_th1(k) * 180 / pi;

    D2 = (L1^2 + L2^2 - xc(k)^2 - yc(k)^2) / (2 * L1 * L2);
    gamma(k) = atan2(sqrt(1-D2^2), D2);
    gamma(k) = gamma(k) * 180 / pi;

    I_K_th2_star(k) = gamma(k) - 180;
    I_K_th2(k) = I_K_th2_star(k) + 15.9233;

    if(I_K_th1(k) < -180)
        I_K_th1(k) = 360 + I_K_th1(k);
    end
    if(I_K_th1(k) > 180)
        I_K_th1(k) = -360 + I_K_th1(k);
    end
end

```

```

if(I_K_th2(k) < -180)
    I_K_th2(k) = 360 + I_K_th2(k);
end
if(I_K_th2(k) > 180)
    I_K_th2(k) = -360 + I_K_th2(k);
end

A1 = [cosd(I_K_th1(k)), -sind(I_K_th1(k)), 0, L1*cosd(I_K_th1(k))
      sind(I_K_th1(k)), cosd(I_K_th1(k)), 0, L1*sind(I_K_th1(k))
      0, 0, 1, 0
      0, 0, 0, 1];

A2 = [cosd(I_K_th2_star(k)), -sind(I_K_th2_star(k)), 0,
L2*cosd(I_K_th2_star(k))
      sind(I_K_th2_star(k)), cosd(I_K_th2_star(k)), 0,
L2*sind(I_K_th2_star(k))
      0, 0, 1, 0
      0, 0, 0, 1];

A3 = [cosd(th3), -sind(th3), 0, L3*cosd(th3)
      sind(th3), cosd(th3), 0, L3*sind(th3)
      0, 0, 1, 0
      0, 0, 0, 1];

T2 = A1*A2;
T3 = A1*A2*A3;

X1(k) = A1(1, 4);
Y1(k) = A1(2, 4);
X2(k) = T2(1, 4);
Y2(k) = T2(2, 4);
X3(k) = T3(1, 4);
Y3(k) = T3(2, 4);
end

% under arm
for i=40.5160:-0.01:-8.0933

    k = k + 1;
    b = b + 1;
    xc(k) = 547.5 - L4 * sind(i);
    yc(k) = 330 - L4 * cosd(i);

    beta(k) = atan2(yc(k),xc(k));

    D1 = (xc(k)^2 + yc(k)^2 + L1^2 - L2^2) / (2 * sqrt(xc(k)^2 + yc(k)^2) *
L1);
    alpha(k) = atan2(-sqrt(1-D1^2), D1);

    I_K_th1(k) = alpha(k) + beta(k);
    I_K_th1(k) = I_K_th1(k) * 180 / pi;

    D2 = (L1^2 + L2^2 - xc(k)^2 - yc(k)^2) / (2 * L1 * L2);
    gamma(k) = atan2(-sqrt(1-D2^2), D2);

```

```

gamma(k) = gamma(k) * 180 / pi;

I_K_th2_star(k) = gamma(k) + 180;
I_K_th2(k) = I_K_th2_star(k) + 15.9233;

if(I_K_th1(k) < -180)
    I_K_th1(k) = 360 + I_K_th1(k);
end
if(I_K_th1(k) > 180)
    I_K_th1(k) = -360 + I_K_th1(k);
end

if(I_K_th2(k) < -180)
    I_K_th2(k) = 360 + I_K_th2(k);
end
if(I_K_th2(k) > 180)
    I_K_th2(k) = -360 + I_K_th2(k);
end

A1 = [cosd(I_K_th1(k)), -sind(I_K_th1(k)), 0, L1*cosd(I_K_th1(k))
      sind(I_K_th1(k)), cosd(I_K_th1(k)), 0, L1*sind(I_K_th1(k))
      0, 0, 1, 0
      0, 0, 0, 1];

A2 = [cosd(I_K_th2_star(k)), -sind(I_K_th2_star(k)), 0,
L2*cosd(I_K_th2_star(k))
      sind(I_K_th2_star(k)), cosd(I_K_th2_star(k)), 0,
L2*sind(I_K_th2_star(k))
      0, 0, 1, 0
      0, 0, 0, 1];

A3 = [cosd(th3), -sind(th3), 0, L3*cosd(th3)
      sind(th3), cosd(th3), 0, L3*sind(th3)
      0, 0, 1, 0
      0, 0, 0, 1];

T2 = A1*A2;
T3 = A1*A2*A3;

X1(k) = A1(1, 4);
Y1(k) = A1(2, 4);
X2(k) = T2(1, 4);
Y2(k) = T2(2, 4);
X3(k) = T3(1, 4);
Y3(k) = T3(2, 4);
end

% upper arm
for i=-8.0933:0.01:-7.4302

    k = k + 1;
    c = c + 1;
    xc(k) = 547.5 - L4 * sind(i);
    yc(k) = 330 - L4 * cosd(i);

```

```

beta(k) = atan2(yc(k),xc(k));

D1 = (xc(k)^2 + yc(k)^2 + L1^2 - L2^2) / (2 * sqrt(xc(k)^2 + yc(k)^2) *
L1);
alpha(k) = atan2(sqrt(1-D1^2), D1);

I_K_th1(k) = alpha(k) + beta(k);
I_K_th1(k) = I_K_th1(k) * 180 / pi;

D2 = (L1^2 + L2^2 - xc(k)^2 - yc(k)^2) / (2 * L1 * L2);
gamma(k) = atan2(sqrt(1-D2^2), D2);
gamma(k) = gamma(k) * 180 / pi;

I_K_th2_star(k) = gamma(k) - 180;
I_K_th2(k) = I_K_th2_star(k) + 15.9233;

if(I_K_th1(k) < -180)
    I_K_th1(k) = 360 + I_K_th1(k);
end
if(I_K_th1(k) > 180)
    I_K_th1(k) = -360 + I_K_th1(k);
end

if(I_K_th2(k) < -180)
    I_K_th2(k) = 360 + I_K_th2(k);
end
if(I_K_th2(k) > 180)
    I_K_th2(k) = -360 + I_K_th2(k);
end

A1 = [cosd(I_K_th1(k)), -sind(I_K_th1(k)), 0, L1*cosd(I_K_th1(k))
      sind(I_K_th1(k)), cosd(I_K_th1(k)), 0, L1*sind(I_K_th1(k))
      0, 0, 1, 0
      0, 0, 0, 1];

A2 = [cosd(I_K_th2_star(k)), -sind(I_K_th2_star(k)), 0,
L2*cosd(I_K_th2_star(k))
      sind(I_K_th2_star(k)), cosd(I_K_th2_star(k)), 0,
L2*sind(I_K_th2_star(k))
      0, 0, 1, 0
      0, 0, 0, 1];

A3 = [cosd(th3), -sind(th3), 0, L3*cosd(th3)
      sind(th3), cosd(th3), 0, L3*sind(th3)
      0, 0, 1, 0
      0, 0, 0, 1];

T2 = A1*A2;
T3 = A1*A2*A3;

X1(k) = A1(1, 4);
Y1(k) = A1(2, 4);
X2(k) = T2(1, 4);

```

```

        Y2(k) = T2(2, 4);
        X3(k) = T3(1, 4);
        Y3(k) = T3(2, 4);
end

% axis([-200, 700, -350, 100])
axis([200, 700, -200, 100])
axis equal
hold on

% plot(0,0, 'o')
% plot(X1, Y1)
plot(X2, Y2)
% plot(X3, Y3)

% for j = 1:974
%
%     line1 = line([0, X1(j)], [0, Y1(j)]);
%     line2 = line([X1(j), X2(j)], [Y1(j), Y2(j)]);
%     line3 = line([X2(j), X3(j)], [Y2(j), Y3(j)]);
%     line4 = line([X2(j), 547.5], [Y2(j), 330])
%
%     pause(0.01)
%     delete(line1)
%     delete(line2)
%     delete(line3)
%     delete(line4)
%
% end

% time = 1:k;
% plot(time,X2)
% hold on
% plot(time,Y2)

% plot(X2, Y2)
%
% for j = 1:1:480
%
%     P = plot(X2(j),Y2(j), 'bo');
%     pause(0.01)
%     delete(P)
%
% end
% plot(X2(j), Y2(j), 'b*')
% for j = 481:1:967
%
%     P = plot(X2(j),Y2(j), 'ko');
%     pause(0.01)
%     delete(P)
%
% end
% plot(X2(j), Y2(j), 'k*')

```

```

% for j = 968:1:974
%
%     P = plot(X2(j),Y2(j), 'ro');
%     pause(0.01)
%     delete(P)
%
% end
%
% plot(X2(j), Y2(j), 'r*');

y0_dot = (Y2(1)-Y2(2)) / (X2(1)-X2(2))
yf_dot = (Y2(4795)-Y2(4794)) / (X2(4795)-X2(4794))

for j = 1:4795
    XJ(j) = X2(j);
    YJ(j) = Y2(j);
end

plot(XJ, YJ)

```

2. Kinematics_th.m

```

clc, clear;

L1 = 185;
L2 = 438;
L3 = 176;
L4 = 454;

th3 = -54;

k = 0;

for i = 0:0.1:180

    k = k+1;
    th1(k) = i;
    L = sqrt((547.5 - L1*cosd(th1(k)))^2 + (330 - L1*sind(th1(k)))^2);

    D1 = (L2^2 + L^2 - L4^2) / (2 * L2 * L);

    alpha = atan2( sqrt(1-D1^2), D1);
    alpha = alpha * 180 / pi;

    beta = atan2(547.5 - L1 * cosd(th1(k)), 330 - L1 * sind(th1(k)));
    beta = beta * 180 / pi;

    th2_star(k) = (90 - th1(k)) - (alpha + beta);

    if(th1(k) < -180)
        th1(k) = 360 + th1(k);
    end
    if(th1(k) > 180)

```



```

    th1(k) = -360 + th1(k);
end

if(th2_star(k) < -180)
    th2_star(k) = 360 + th2_star(k);
end
if(th2_star(k) > 180)
    th2_star(k) = -360 + th2_star(k);
end

D2 = (L2^2 + L4^2 - L^2) / (2*L2*L4);
th4_star(k) = atan2(sqrt(1-D2^2), D2);
th4_star(k) = 180 - th4_star(k) * 180 / pi;

A1 = [cosd(th1(k)), -sind(th1(k)), 0, L1*cosd(th1(k))
      sind(th1(k)), cosd(th1(k)), 0, L1*sind(th1(k))
      0, 0, 1, 0
      0, 0, 0, 1];

A2 = [cosd(th2_star(k)), -sind(th2_star(k)), 0, L2*cosd(th2_star(k))
      sind(th2_star(k)), cosd(th2_star(k)), 0, L2*sind(th2_star(k))
      0, 0, 1, 0
      0, 0, 0, 1];

A3 = [cosd(th3), -sind(th3), 0, L3*cosd(th3)
      sind(th3), cosd(th3), 0, L3*sind(th3)
      0, 0, 1, 0
      0, 0, 0, 1];

A4 = [cosd(th4_star(k)), -sind(th4_star(k)), 0, L4*cosd(th4_star(k))
      sind(th4_star(k)), cosd(th4_star(k)), 0, L4*sind(th4_star(k))
      0, 0, 1, 0
      0, 0, 0, 1];

T2 = A1*A2;
T3 = A1*A2*A3;
T4 = A1*A2*A4;

X1(k) = A1(1, 4);
Y1(k) = A1(2, 4);
X2(k) = T2(1, 4);
Y2(k) = T2(2, 4);
X3(k) = T3(1, 4);
Y3(k) = T3(2, 4);
X4(k) = T4(1, 4);
Y4(k) = T4(2, 4);

end

% axis([-200, 700, -200, 100])
% axis equal
% hold on
%
% plot(0,0, 'o')
% plot(X1, Y1)

```

```

% plot(X2, Y2)
% plot(X3, Y3)
%
% for j = 1:1801
%
%     line1 = line([0, X1(j)], [0, Y1(j)]);
%     line2 = line([X1(j), X2(j)], [Y1(j), Y2(j)]);
%     line3 = line([X2(j), X3(j)], [Y2(j), Y3(j)]);
%     line4 = line([X2(j), 547.5], [Y2(j), 330]);
%
%     pause(0.01)
%     delete(line1)
%     delete(line2)
%     delete(line3)
%     delete(line4)
%
% end

```

3. Trajectory.m

```

clc, clear;

L1 = 185;
L2 = 438;
L3 = 176;
L4 = 454;

th3 = -57*pi/180;

% 1st trajectory

% t0 = 0;
% tf = 0.7;
% q0 = -120.1654;
% v0 = 0;
% qf = -15.1531;
% vf = 0;
%
% A = [1, t0, t0^2, t0^3;
%      0, 1, 2*t0, 3*t0^2;
%      1, tf, tf^2, tf^3;
%      0, 1, 2*tf, 3*tf^2];
%
% B = inv(A) * [q0, v0, qf, vf]';

i = 0;

for t = 0:0.001:1
    i = i+1;
    T(i) = t;
    X(i) = (606.1939 - 1060.9443*t^2 + 707.2962*t^3);
    Y(i) = 330 - sqrt(206116 - (58.6939 - 1060.94*t^2 + 707.296*t^3)^2);

    X_dot(i) = (-2121.89 * t + 2121.89 * t^2);

```

```

Y_dot(i) = (-2121.89*t + 2121.89*t^2) * (58.6939 - 1060.94 * t^2 +
707.296 * t^3) / sqrt(206116 - (58.6939 - 1060.94 * t^2 + 707.296 *
t^3)^2);

X_dotdot(i) = -4330.89 + 4243.78*t;
Y_dotdot(i) = ( (-2121.89*t + 2121.89*t^2)^2 * (58.6939 - 1060.94*t^2 +
707.296*t^3)^2 / (206116 - (58.6939 - 1060.94 * t^2 + 707.296 *
t^3)^2)^(3/2) ) + ( (-2121.89*t + 2121.89*t^2)^2 / sqrt(206116 - (58.6939 -
1060.94*t^2 + 707.296 * t^3)^2) ) + ( (-2121.89 + 4243.78*t) * (58.6939 -
1060.94 * t^2 + 707.296 * t^3) / sqrt(206116 - (58.6939 - 1060.94 * t^2 +
707.296*t^3)^2) );
end

% for t = 0:0.01:0.7
% i = i+1;
% T(i) = t;
% X(i) = (606.1939 - 2165.1924*t^2 + 2062.0880*t^3);
% Y(i) = 330 - sqrt(206116 - (58.6939 - 2165.19*t^2 + 2062.09*t^3)^2);
%
% X_dot(i) = (-2 * 2165.1924 * t + 3 * 2062.0880 * t^2);
% Y_dot(i) = (-4330.38*t + 6186.26*t^2) * (58.6939 - 2165.19 * t^2 +
2062.09 * t^3) / sqrt(206116 - (58.6939 - 2165.19*t^2 + 2062.09*t^3)^2);
%
% X_dotdot(i) = -4330.38 + 12372.5*t;
% Y_dotdot(i) = ( (-4330.38*t + 6186.26*t^2)^2 * (58.6939 - 2165.19*t^2
+ 2062.09*t^3)^2 / (206116 - (58.6939 - 2165.19 * t^2 + 2062.09 *
t^3)^2)^(3/2) ) + ( (-4330.38*t + 6186.26*t^2)^2 / sqrt(206116 - (58.6939 -
2165.19*t^2 + 2062.09 * t^3)^2) ) + ( (-4330.38 + 12372.5*t) * (58.6939 -
2165.19 * t^2 + 2062.09 * t^3) / sqrt(206116 - (58.6939 - 2165.19 * t^2 +
2062.09*t^3)^2) );
% end
%
% % 2nd trajectory
%
% t0_2 = 0.7;
% tf_2 = 1.6;
% q0_2 = 252.5458;
% v0_2 = 0;
% qf_2 = 611.4433;
% vf_2 = 0;
%
% % i = 0;
% for t = 0.7:0.01:1.6
% i = i+1;
% T(i) = t;
% X(i) = (252.5458 + 1329.25*(t - t0_2)^2 - 984.6296*(t - t0_2)^3);
% Y(i) = 330 - sqrt(454^2 - (X(i)-547.5)^2);
%
% X_dot(i) = (2*1329.25*(t-t0_2) - 3*984.6296*(t-t0_2)^2);
% Y_dot(i) = ( (2658.5*(t-t0_2) - 2953.89 * (t-t0_2)^2) * (-294.954 +
1329.25 * (t-t0_2)^2 - 984.63 * (t-t0_2)^3) ) / ( sqrt(206116 - (-294.954 +
1329.25 * (t-t0_2)^2 - 984.63 * (t-t0_2)^3)^2) );
%
% X_dotdot(i) = 2658.5 - 5907.78 * (t-t0_2);
% Y_dotdot(i) = ( (2658.5*(t-t0_2) - 2953.89 * (t-t0_2)^2)^2 /
sqrt(206116 - (-294.954 + 1329.25 * (t-t0_2)^2 - 984.63 * (t-t0_2)^3)^2) )

```

```

+ ( (2658.5 - 5907.78*(t-t0_2)) * (-294.954 + 1329.25*(t-t0_2)^2 - 984.63
*(t-t0_2)^3) / sqrt(206116 - (-294.954 + 1329.25 * (t-t0_2)^2 - 984.63 *
(t-t0_2)^3)^2 ) ) + ( (2658.5*(t-t0_2) - 2953.89 * (t-t0_2)^2)^2 * (-
294.954 + 1329.25 * (t-t0_2)^2 - 984.63*(t-t0_2)^3)^2 / (206116 - (-294.954
+ 1329.25 * (t-t0_2)^2 - 984.63 * (t-t0_2)^3)^2)^(3/2) );
%
% end
%
% % plot(T, X2)
%
% % 3rd trajectory
%
% t0_3 = 1.6;
% tf_3 = 1.8;
% q0_3 = 611.4433;
% v0_3 = 0;
% qf_3 = 606.1939;
% vf_3 = 0;
%
% % i = 0;
% for t = 1.6:0.01:1.8
%     i = i+1;
%     T(i) = t;
%     X(i) = (611.4433 - 393.705*(t-t0_3)^2 + 1312.35*(t-t0_3)^3);
%     Y(i) = 330 - sqrt(454^2 - (X(i)-547.5)^2);
%
%     X_dot(i) = (-2*393.705*(t-t0_3) + 3*1312.35*(t-t0_3)^2);
%     Y_dot(i) = ( (-787.41 * (t-t0_3) + 3936.75 * (t-t0_3)^2) * (63.9433 -
393.705 * (t-t0_3)^2 + 1312.25 * (t-t0_3)^3) / sqrt(206116 - (63.9433 -
393.705 * (t-t0_3)^2 + 1312.25 * (t-t0_3)^3)^2) );
%
%     X_dotdot(i) = -787.41+7873.5*(t-t0_3);
%     Y_dotdot(i) = ( (-787.41 * (t-t0_3) + 3936.75 * (t-t0_3)^2)^2 /
sqrt(206116 - (63.9433 - 393.705 * (t-t0_3)^2 + 1312.25 * (t-t0_3)^3)^2) )
+ ( (-787.41 + 7873.5 * (t-t0_3)) * (63.9433 - 393.705 * (t-t0_3)^2 +
1312.25 * (t-t0_3)^3) / sqrt(206116 - (63.9433 - 393.705 * (t-t0_3)^2 +
1312.25 * (t-t0_3)^3)^2) ) + ( (-787.41 * (t-t0_3) + 3936.75 * (t-
t0_3)^2)^2 * (63.9433 - 393.705 * (t-t0_3)^2 + 1312.25 * (t-t0_3)^3)^2 /
(206116 - ( 63.9433 -393.705*(t-t0_3)^2 + 1312.25 * (t-t0_3)^3)^2)^(3/2) );
%
% end
% ylabel("Y acceleration [mm/s^2]")
% xlabel("Time [sec]")
% title('E-E Y acceleration');
% grid on;
% hold on;
% legend
% plot(T, X)
% figure
% plot(T, X_dot)
% figure
% plot(T, X_dotdot)
% figure
% plot(T, Y)
% figure
% plot(T, Y_dot)
% figure

```

```

% plot(T, Y_dotdot)

%% I.K.  $\hat{\theta}$  th1, th2  $\pm$   $\hat{\sigma}$ 
% upper arm

for k = 1:1001
    beta(k) = atan2(Y(k),X(k));

    D1(k) = (X(k)^2 + Y(k)^2 + L1^2 - L2^2) / (2 * sqrt(X(k)^2 + Y(k)^2) *
L1);

    if(D1(k) >= 1)
        D1(k) = 0.999999999999;
    end
    if(D1(k) <= -1)
        D1(k) = -0.999999999999;
    end

    alpha(k) = atan2(sqrt(1-D1(k)^2), D1(k));

    I_K_th1(k) = alpha(k) + beta(k);
    I_K_th1(k) = I_K_th1(k);

    D2(k) = (L1^2 + L2^2 - X(k)^2 - Y(k)^2) / (2 * L1 * L2);

    if(D2(k) >= 1)
        D2(k) = 0.999999999999;
    end
    if(D2(k) <= -1)
        D2(k) = -0.999999999999;
    end

    gamma(k) = atan2(sqrt(1-D2(k)^2), D2(k));
    gamma(k) = gamma(k);

    I_K_th2_star(k) = gamma(k) - pi;
    I_K_th2(k) = I_K_th2_star(k) + (15.9233*pi/180);

    L(k) = sqrt((547.5 - 185*cos(I_K_th1(k)))^2 + (330 -
185*sin(I_K_th1(k)))^2);

    D3(k) = (L2^2 + L4^2 - L(k)^2) / (2*L2*L4);
    I_K_th4_star(k) = atan2(sqrt(1-D3(k)^2), D3(k));
    I_K_th4_star(k) = 2*pi - I_K_th4_star(k);
    I_K_th4(k) = I_K_th4_star(k) - (113.3539*pi/180);

    if(I_K_th1(k) < -pi)
        I_K_th1(k) = 2*pi + I_K_th1(k);
    end
    if(I_K_th1(k) > pi)
        I_K_th1(k) = -2*pi + I_K_th1(k);
    end
end

```

```

    if(I_K_th2(k) < -pi)
        I_K_th2(k) = 2*pi + I_K_th2(k);
    end
    if(I_K_th2(k) > pi)
        I_K_th2(k) = -2*pi + I_K_th2(k);
    end

    if(I_K_th4(k) < -pi)
        I_K_th4(k) = 2*pi + I_K_th4(k);
    end
    if(I_K_th4(k) > pi)
        I_K_th4(k) = -2*pi + I_K_th4(k);
    end
end

fname = 'C:\Users\whgdm\OneDrive\1ÜÄÄ È-é\¼ö¾÷\1.
·î°;µ¿;ªÇÐ¹×Á!¾î\webot\controllers\4Link\data2.txt';
A = load(fname);
fname1 = 'C:\Users\whgdm\OneDrive\1ÜÄÄ È-é\¼ö¾÷\1.
·î°;µ¿;ªÇÐ¹×Á!¾î\webot\controllers\4Link\data3.txt';
B = load(fname1);

ylabel("Joint angle [rad]")
xlabel("Time [sec]")
title('ÇĬÁßÀĬ ÄÖÀ» ¼Ä Trajectory');
grid on;
hold on;
legend
T = 0:0.001:0.999;
I_K_th1 = -A(:,1);
th1 = -A(:,2);
% % CTC_th1 = -B(:,2);
%
plot(T, I_K_th1, 'b')
% % hold on;
plot(T, th1, '--k')
% th1_dot = -A(:,4);
% th1_dotdot = -A(:,5);

% plot(T, th1, '--k')
% hold on
% plot(T, CTC_th1, '--r')

I_K_th1_dot = diff(I_K_th1) ./ 0.001;
I_K_th1_dot(k) = I_K_th1_dot(k-1);
I_K_th1_dotdot = diff(I_K_th1_dot) ./ 0.001;
I_K_th1_dotdot(k) = I_K_th1_dotdot(k-1);

I_K_th1_dot(999:1001) = 0;
I_K_th1_dotdot(997:1001) = 0;

% plot(T, I_K_th1, 'b')
% figure
% plot(T, I_K_th1_dot)
% figure
% plot(T, I_K_th1_dotdot)

```

```

% figure

% I_K_th2_dot = diff(I_K_th2) ./ 0.001;
% I_K_th2_dot(k) = I_K_th2_dot(k-1);
% I_K_th2_dotdot = diff(I_K_th2_dot) ./ 0.001;
% I_K_th2_dotdot(k) = I_K_th2_dotdot(k-1);
%
% I_K_th2_dot(999:1001) = 0;
% I_K_th2_dotdot(997:1001) = 0;
%
% I_K_th4_dot = diff(I_K_th4) ./ 0.001;
% I_K_th4_dot(k) = I_K_th4_dot(k-1);
% I_K_th4_dotdot = diff(I_K_th4_dot) ./ 0.001;
% I_K_th4_dotdot(k) = I_K_th4_dotdot(k-1);

% plot(T, I_K_th1_dot)
% figure
% plot(T, I_K_th2_dot)
% I_K_th1_dotdot(996:999) = 0;
% plot(T, I_K_th1_dot)
% figure
% plot(T, I_K_th1_dotdot)
% figure

for k=1:1000

    A1 = [cos(I_K_th1(k)), -sin(I_K_th1(k)), 0, L1*cos(I_K_th1(k))
          sin(I_K_th1(k)), cos(I_K_th1(k)), 0, L1*sin(I_K_th1(k))
          0, 0, 1, 0
          0, 0, 0, 1];

    R1 = [cos(I_K_th1(k)), -sin(I_K_th1(k)), 0
          sin(I_K_th1(k)), cos(I_K_th1(k)), 0
          0, 0, 1];

    A2 = [cos(I_K_th2_star(k)), -sin(I_K_th2_star(k)), 0,
          L2*cos(I_K_th2_star(k))
          sin(I_K_th2_star(k)), cos(I_K_th2_star(k)), 0,
          L2*sin(I_K_th2_star(k))
          0, 0, 1, 0
          0, 0, 0, 1];

    R2 = [cos(I_K_th2_star(k)), -sin(I_K_th2_star(k)), 0
          sin(I_K_th2_star(k)), cos(I_K_th2_star(k)), 0
          0, 0, 1];

    A3 = [cos(th3), -sin(th3), 0, L3*cos(th3)
          sin(th3), cos(th3), 0, L3*sin(th3)
          0, 0, 1, 0
          0, 0, 0, 1];

    R3 = [cos(th3), -sin(th3), 0
          sin(th3), cos(th3), 0
          0, 0, 1];

```

```

    A4 = [cos(I_K_th4_star(k)), -sin(I_K_th4_star(k)), 0,
L4*cos(I_K_th4_star(k))
        sin(I_K_th4_star(k)), cos(I_K_th4_star(k)), 0,
L4*sin(I_K_th4_star(k))
        0, 0, 1, 0
        0, 0, 0, 1];

```

```

    R4 = [cos(I_K_th4_star(k)), -sin(I_K_th4_star(k)), 0
        sin(I_K_th4_star(k)), cos(I_K_th4_star(k)), 0
        0, 0, 1];

```

```

    T2 = A1*A2;
    T3 = A1*A2*A3;
    T4 = A1*A2*A4;

```

```

    X1(k) = A1(1, 4);
    Y1(k) = A1(2, 4);
    X2(k) = T2(1, 4);
    Y2(k) = T2(2, 4);
    X3(k) = T3(1, 4);
    Y3(k) = T3(2, 4);
    X4(k) = T4(1, 4);
    Y4(k) = T4(2, 4);

```

```

end

```

```

% axis([-200, 700, -400, 200])
% axis equal
% hold on
%
% plot(0,0, 'o')
% plot(X1, Y1)
% plot(X2, Y2)
% plot(X3, Y3)
%
% for j = 1:1001
%
%     line1 = line([0, X1(j)], [0, Y1(j)]);
%     line2 = line([X1(j), X2(j)], [Y1(j), Y2(j)]);
%     line3 = line([X2(j), X3(j)], [Y2(j), Y3(j)]);
%     line4 = line([X2(j), 547.5], [Y2(j), 330]);
%
%     pause(0.01)
%     delete(line1)
%     delete(line2)
%     delete(line3)
%     delete(line4)
%
% end

```

```

%% Euler

```

```

L1 = 0.185;
L2 = 0.438;
L3 = 0.176;

```



```

L4 = 0.454;

x = 0.5475;
y = 0.33;

Ic0zz = 0.1318;
Ic1zz = 0.0275;
Ic2zz = 0.00223;
Ic3zz = 0.04172;

m1 = 1.7;
m2 = 0.8;
m3 = 2.4;
g = 9.81;

for j=1:1000
% torque_E1(j) = Ic1zz + Ic2zz + L1^2 * (m1+m2) + 0.25 * (L3^2*m2 + L2^2
* (m1+4*m2)) + g*L1*(m1+m2)*cos(I_K_th1(j)) +
L1*L2*(m1+2*m2)*cos(I_K_th2(j)) + 0.5*g*L2*m1*cos(I_K_th1(j)+I_K_th2(j)) +
g*L2*m2*cos(I_K_th1(j)+I_K_th2(j)) + L2*L3*m2*cos(th3) +
L1*L3*m2*cos(I_K_th2(j) + th3) +
0.5*g*L3*m2*cos(I_K_th1(j)+I_K_th2(j)+th3);
% torque_E2(j) = Ic1zz + Ic2zz + Ic3zz + g*m1*(L1*cos(I_K_th1(j)) +
L2*cos(I_K_th1(j)+I_K_th2(j)/2)) + g*m2*(L1*cos(I_K_th1(j)) +
L2*cos(I_K_th1(j)+I_K_th2(j)) + L3*cos(I_K_th1(j)+I_K_th2(j)+th3)/2) +
g*m3*(L1*cos(I_K_th1(j)) + L2*cos(I_K_th1(j)+I_K_th2(j)) +
L4*sin(I_K_th1(j)+I_K_th2(j)+I_K_th4(j))/2) + m3*(1/4*(x+L1*cos(I_K_th1(j))
+ L2*cos(I_K_th1(j) + I_K_th2(j)))^2 + 0.25*(-y-L1*sin(I_K_th1(j)) -
L2*sin(I_K_th1(j) + I_K_th2(j)))^2) + m1*((L1*cos(I_K_th1(j)) + 0.5 *
L2*cos(I_K_th1(j)+I_K_th2(j)))^2 + (-L1*sin(I_K_th1(j)) - 0.5 * L2 *
sin(I_K_th1(j) + I_K_th2(j)))^2) + 0.25 * m3 * (L1*y*cos(I_K_th1(j)) +
L2*y*cos(I_K_th1(j) + I_K_th2(j)) - x*(L1*sin(I_K_th1(j)) + L2 *
sin(I_K_th1(j) + I_K_th2(j)))) + m2 * ((L1 * cos(I_K_th1(j)) + L2 *
cos(I_K_th1(j) + I_K_th2(j)) + 0.5*L3*cos(I_K_th1(j) + I_K_th2(j) + th3))^2
+ (-L1*sin(I_K_th1(j)) - L2*sin(I_K_th1(j) + I_K_th2(j)) -
0.5*L3*sin(I_K_th1(j) + I_K_th2(j) + th3))^2);
torque_E3(j) =
0.25*(4*Ic0zz+4*Ic1zz+4*Ic2zz+4*Ic3zz+L3^2*m2+L2^2*(m1+4*m2+m3)+L1^2*(4*(m1
+m2)+m3)+m3*(x^2+y^2)+2*(L1*m3*x*cos(I_K_th1(j))+L1*L2*(2*m1+4*m2+m3)*cos(I
_K_th2(j))+L2*m3*x*cos(I_K_th1(j)+I_K_th2(j))+2*L2*L3*m2*cos(th3)+2*L1*L3*m
2*cos(I_K_th2(j)+th3)+L1*m3*y*sin(I_K_th1(j))+L2*m3*y*sin(I_K_th1(j)+I_K_th
2(j))))*I_K_th1_dotdot(j)+0.25*m3*(L1*y*cos(I_K_th1(j))+L2*y*cos(I_K_th1(j)
+I_K_th2(j)))-
x*(L1*sin(I_K_th1(j))+L2*sin(I_K_th1(j)+I_K_th2(j))))*I_K_th1_dot(j)+0.5*g*
(L1*(2*(m1+m2)+m3)*cos(I_K_th1(j))+L2*(m1+2*m2+m3)*cos(I_K_th1(j)+I_K_th2(j)
))+L3*m2*cos(I_K_th1(j)+I_K_th2(j)+th3));
% torque_E3(j) =
0.25*m3*(L1*y*cos(I_K_th1(j))+L2*y*cos(I_K_th1(j)+I_K_th2(j)))-
x*(L1*sin(I_K_th1(j))+L2*sin(I_K_th1(j)+I_K_th2(j))))*I_K_th1_dot(j)
% torque_E3(j) =
0.5*g*(L1*(2*(m1+m2)+m3)*cos(I_K_th1(j))+L2*(m1+2*m2+m3)*cos(I_K_th1(j)+I_K
_th2(j))+L3*m2*cos(I_K_th1(j)+I_K_th2(j)+th3));
end
% T = 0:0.001:0.999;
% plot(T,torque_E3, 'b')
% hold on

```

```

% plot(T,torque_E2)
% figure

% webot_torque = [-3.400000000000000e-05,-17.36686800000000,-
19.46004600000000,-23.77526900000000,-27.14735500000000,-29.49154100000000,-
30.98664500000000,-31.82830100000000,-32.19340000000000,-32.23239600000000,-
32.06787700000000,-31.79555700000000,-31.48678400000000,-31.19179400000000,-
30.94328600000000,-30.75996900000000,-30.64986800000000,-30.61325100000000,-
30.64511300000000,-30.73719900000000,-30.87958500000000,-31.06185600000000,-
31.27393500000000,-31.50662900000000,-31.75193500000000,-32.00317900000000,-
32.25501500000000,-32.50335200000000,-32.74521000000000,-32.97856500000000,-
33.20217000000000,-33.41539400000000,-33.61806800000000,-33.81035200000000,-
33.99262600000000,-34.16539900000000,-34.32924200000000,-34.48473800000000,-
34.63244700000000,-34.77288200000000,-34.90650100000000,-35.03370100000000,-
35.15481900000000,-35.27013800000000,-35.37989100000000,-35.48427300000000,-
35.58344400000000,-35.67754100000000,-35.76668200000000,-35.85097100000000,-
35.93050600000000,-36.00538000000000,-36.07568500000000,-36.14151100000000,-
36.20295200000000,-36.26010400000000,-36.31306400000000,-36.36193200000000,-
36.40681000000000,-36.44780200000000,-36.48501200000000,-36.51854600000000,-
36.54851000000000,-36.57500800000000,-36.59814600000000,-36.61802700000000,-
36.63475300000000,-36.64842400000000,-36.65914100000000,-36.66699900000000,-
36.67209400000000,-36.67451900000000,-36.67436500000000,-36.67172200000000,-
36.66667600000000,-36.65931300000000,-36.64971600000000,-36.63796500000000,-
36.62414000000000,-36.60831800000000,-36.59057500000000,-36.57098200000000,-
36.54961300000000,-36.52653600000000,-36.50182000000000,-36.47553100000000,-
36.44773200000000,-36.41848700000000,-36.38785600000000,-36.35589900000000,-
36.32267300000000,-36.28823300000000,-36.25263600000000,-36.21593200000000,-
36.17817400000000,-36.13941100000000,-36.09969200000000,-36.05906300000000,-
36.01757000000000,-35.97525700000000,-35.93216600000000,-35.88834000000000,-
35.84381800000000,-35.79863900000000,-35.75284100000000,-35.70646000000000,-
35.65953200000000,-35.61209100000000,-35.56417000000000,-35.51580100000000,-
35.46701400000000,-35.41784100000000,-35.36830900000000,-35.31844700000000,-
35.26828200000000,-35.21784000000000,-35.16714600000000,-35.11622500000000,-
35.06510000000000,-35.01379400000000,-34.96232900000000,-34.91072600000000,-
34.85900600000000,-34.80718700000000,-34.75529000000000,-34.70333200000000,-
34.65133100000000,-34.59930400000000,-34.54726800000000,-34.49523800000000,-
34.44322900000000,-34.39125500000000,-34.33933200000000,-34.28747200000000,-
34.23568800000000,-34.18399300000000,-34.13239800000000,-34.08091500000000,-
34.02955600000000,-33.97833000000000,-33.92724800000000,-33.87631900000000,-
33.82555300000000,-33.77495800000000,-33.72454300000000,-33.67431600000000,-
33.62428500000000,-33.57445700000000,-33.52484000000000,-33.47543900000000,-
33.42626100000000,-33.37731300000000,-33.32860100000000,-33.28012800000000,-
33.23190200000000,-33.18392600000000,-33.13620600000000,-33.08874600000000,-
33.04155000000000,-32.99462100000000,-32.94796500000000,-32.90158300000000,-
32.85547900000000,-32.80965700000000,-32.76411900000000,-32.71886800000000,-
32.67390600000000,-32.62923600000000,-32.58485800000000,-32.54077700000000,-
32.49699200000000,-32.45350600000000,-32.41032100000000,-32.36743600000000,-
32.32485400000000,-32.28257600000000,-32.24060200000000,-32.19893200000000,-
32.15756900000000,-32.11651100000000,-32.07575900000000,-32.03531400000000,-
31.99517600000000,-31.95534400000000,-31.91581900000000,-31.87660000000000,-
31.83768700000000,-31.79908000000000,-31.76077700000000,-31.72277900000000,-
31.68508500000000,-31.64769400000000,-31.61060600000000,-31.57381800000000,-
31.53733200000000,-31.50114400000000,-31.46525500000000,-31.42966300000000,-
31.39436700000000,-31.35936600000000,-31.32465800000000,-31.29024100000000,-
31.25611600000000,-31.22279000000000,-31.18872900000000,-31.15546600000000,-
31.12248700000000,-31.08979000000000,-31.05737400000000,-31.02523700000000,-
30.99337700000000,-30.96179200000000,-30.93048200000000,-30.89944300000000,-

```

30.8686730000000,-30.8381720000000,-30.8079360000000,-30.7779640000000,-
30.7482530000000,-30.7188030000000,-30.6896100000000,-30.6606720000000,-
30.6319880000000,-30.6035550000000,-30.5753720000000,-30.5474350000000,-
30.5197430000000,-30.4922930000000,-30.4650840000000,-30.4381130000000,-
30.4113770000000,-30.3848750000000,-30.3586050000000,-30.3325630000000,-
30.3067480000000,-30.2811580000000,-30.2557890000000,-30.2306410000000,-
30.2057100000000,-30.1809940000000,-30.1564910000000,-30.1321980000000,-
30.1081140000000,-30.0842360000000,-30.0605610000000,-30.0370870000000,-
30.0138120000000,-29.9907340000000,-29.9678490000000,-29.9451570000000,-
29.9226540000000,-29.9003380000000,-29.8782080000000,-29.8562590000000,-
29.8344910000000,-29.8129010000000,-29.7914860000000,-29.7702440000000,-
29.7491730000000,-29.7282710000000,-29.7075350000000,-29.6869630000000,-
29.6665530000000,-29.6463020000000,-29.6262080000000,-29.6062690000000,-
29.5864820000000,-29.5668460000000,-29.5473580000000,-29.5280150000000,-
29.5088160000000,-29.4897590000000,-29.4708400000000,-29.4520580000000,-
29.4334110000000,-29.4148970000000,-29.3965120000000,-29.3782560000000,-
29.3601250000000,-29.3421190000000,-29.3242330000000,-29.3064680000000,-
29.2888190000000,-29.2712860000000,-29.2538650000000,-29.2365550000000,-
29.2193550000000,-29.2022610000000,-29.1852710000000,-29.1683840000000,-
29.1515980000000,-29.1349100000000,-29.1183180000000,-29.1018210000000,-
29.0854160000000,-29.0691020000000,-29.0528750000000,-29.0367350000000,-
29.0206800000000,-29.0047070000000,-28.9888140000000,-28.9730000000000,-
28.9572620000000,-28.9415990000000,-28.9260090000000,-28.9104900000000,-
28.8950390000000,-28.8796560000000,-28.8643380000000,-28.8490830000000,-
28.8338890000000,-28.8187550000000,-28.8036790000000,-28.7886590000000,-
28.7736940000000,-28.7587800000000,-28.7439170000000,-28.7291040000000,-
28.7143370000000,-28.6996150000000,-28.6849370000000,-28.6703010000000,-
28.6557060000000,-28.6411480000000,-28.6266280000000,-28.6121420000000,-
28.5976900000000,-28.5832700000000,-28.5688790000000,-28.5545180000000,-
28.5401830000000,-28.5258730000000,-28.5115860000000,-28.4973220000000,-
28.4830780000000,-28.4688540000000,-28.4546460000000,-28.4404540000000,-
28.4262760000000,-28.4121110000000,-28.3979570000000,-28.3838120000000,-
28.3696760000000,-28.3555460000000,-28.3414210000000,-28.3273000000000,-
28.3131810000000,-28.2990630000000,-28.2849440000000,-28.2708230000000,-
28.2566980000000,-28.2425690000000,-28.2284330000000,-28.2142890000000,-
28.2001360000000,-28.1859720000000,-28.1717970000000,-28.1576080000000,-
28.1434040000000,-28.1291850000000,-28.1149480000000,-28.1006930000000,-
28.0864180000000,-28.0721210000000,-28.0578020000000,-28.0434600000000,-
28.0290920000000,-28.0146980000000,-28.0002760000000,-27.9858250000000,-
27.9713440000000,-27.9568320000000,-27.9422880000000,-27.9277100000000,-
27.9130970000000,-27.8984470000000,-27.8837610000000,-27.8690360000000,-
27.8542710000000,-27.8394650000000,-27.8246180000000,-27.8097270000000,-
27.7947920000000,-27.7798120000000,-27.7647850000000,-27.7497100000000,-
27.7345870000000,-27.7194140000000,-27.7041900000000,-27.6889140000000,-
27.6735850000000,-27.6582020000000,-27.6427630000000,-27.6272690000000,-
27.6117170000000,-27.5961060000000,-27.5804370000000,-27.5647070000000,-
27.5489150000000,-27.5330610000000,-27.5171440000000,-27.5011620000000,-
27.4851150000000,-27.4690020000000,-27.4528210000000,-27.4365720000000,-
27.4202530000000,-27.4038640000000,-27.3874040000000,-27.3708720000000,-
27.3542670000000,-27.3375880000000,-27.3208340000000,-27.3040040000000,-
27.2870970000000,-27.2701130000000,-27.2530490000000,-27.2359070000000,-
27.2186840000000,-27.2013800000000,-27.1839940000000,-27.1665240000000,-
27.1489710000000,-27.1313330000000,-27.1136100000000,-27.0958000000000,-
27.0779030000000,-27.0599170000000,-27.0418430000000,-27.0236790000000,-
27.0054240000000,-26.9870780000000,-26.9686390000000,-26.9501080000000,-
26.9314820000000,-26.9127620000000,-26.8939460000000,-26.8750350000000,-
26.8560260000000,-26.8369190000000,-26.8177130000000,-26.7984080000000,-

26.77900300000000,-26.75949700000000,-26.73988900000000,-26.72017900000000,-
26.70036500000000,-26.68044800000000,-26.66042600000000,-26.64029800000000,-
26.62006400000000,-26.59972300000000,-26.57927400000000,-26.55871700000000,-
26.53805000000000,-26.51727400000000,-26.49638700000000,-26.47538900000000,-
26.45427900000000,-26.43305500000000,-26.41171900000000,-26.39026800000000,-
26.36870200000000,-26.34702100000000,-26.32522300000000,-26.30330800000000,-
26.28127600000000,-26.25912500000000,-26.23685500000000,-26.21446600000000,-
26.19195500000000,-26.16932400000000,-26.14657100000000,-26.12369500000000,-
26.10069700000000,-26.07757400000000,-26.05432600000000,-26.03095400000000,-
26.00745600000000,-25.98383100000000,-25.96007800000000,-25.93619800000000,-
25.91219000000000,-25.88805200000000,-25.86378400000000,-25.83938600000000,-
25.81485600000000,-25.79019500000000,-25.76540100000000,-25.74047400000000,-
25.71541300000000,-25.69021800000000,-25.66488800000000,-25.63942100000000,-
25.61381900000000,-25.58807900000000,-25.56220100000000,-25.53618500000000,-
25.51003000000000,-25.48373500000000,-25.45730000000000,-25.43072400000000,-
25.40400700000000,-25.37714700000000,-25.35014400000000,-25.32299700000000,-
25.29570700000000,-25.26827100000000,-25.24069000000000,-25.21296300000000,-
25.18508900000000,-25.15706700000000,-25.12889800000000,-25.10057900000000,-
25.07211100000000,-25.04349400000000,-25.01472500000000,-24.98580500000000,-
24.95673300000000,-24.92750800000000,-24.89813100000000,-24.86859900000000,-
24.83891200000000,-24.80907000000000,-24.77907300000000,-24.74891900000000,-
24.71860700000000,-24.68813800000000,-24.65751000000000,-24.62672300000000,-
24.59577600000000,-24.56466800000000,-24.53340000000000,-24.50196900000000,-
24.47037600000000,-24.43862000000000,-24.40670000000000,-24.37461500000000,-
24.34236500000000,-24.30994900000000,-24.27736700000000,-24.24461800000000,-
24.21170000000000,-24.17861500000000,-24.14535900000000,-24.11193400000000,-
24.07833900000000,-24.04457200000000,-24.01063300000000,-23.97652100000000,-
23.94223600000000,-23.90777700000000,-23.87314300000000,-23.83833400000000,-
23.80334900000000,-23.76818600000000,-23.73284600000000,-23.69732800000000,-
23.66163100000000,-23.62575500000000,-23.58969800000000,-23.55345900000000,-
23.51703900000000,-23.48043700000000,-23.44365100000000,-23.40668100000000,-
23.36952700000000,-23.33218700000000,-23.29466100000000,-23.25694800000000,-
23.21904700000000,-23.18095800000000,-23.14268000000000,-23.10421200000000,-
23.06555400000000,-23.02670400000000,-22.98766200000000,-22.94842700000000,-
22.90899800000000,-22.86937500000000,-22.82955700000000,-22.78954400000000,-
22.74933300000000,-22.70892500000000,-22.66831900000000,-22.62751300000000,-
22.58650800000000,-22.54530300000000,-22.50389600000000,-22.46228700000000,-
22.42047500000000,-22.37845900000000,-22.33623900000000,-22.29381300000000,-
22.25118100000000,-22.20834300000000,-22.16529600000000,-22.12204100000000,-
22.07857700000000,-22.03490200000000,-21.99101700000000,-21.94691900000000,-
21.90260900000000,-21.85808500000000,-21.81334700000000,-21.76839400000000,-
21.72322500000000,-21.67783900000000,-21.63223500000000,-21.58641200000000,-
21.54037000000000,-21.49410800000000,-21.44762400000000,-21.40091800000000,-
21.35399000000000,-21.30683700000000,-21.25946000000000,-21.21185800000000,-
21.16402900000000,-21.11597200000000,-21.06768700000000,-21.01917400000000,-
20.97043000000000,-20.92145500000000,-20.87224800000000,-20.82280900000000,-
20.77313600000000,-20.72322800000000,-20.67308500000000,-20.62270500000000,-
20.57208800000000,-20.52123300000000,-20.47013900000000,-20.41880400000000,-
20.36722800000000,-20.31541000000000,-20.26334900000000,-20.21104400000000,-
20.15849500000000,-20.10569900000000,-20.05265600000000,-19.99936600000000,-
19.94582700000000,-19.89203800000000,-19.83799800000000,-19.78370600000000,-
19.72916200000000,-19.67436400000000,-19.61931200000000,-19.56400300000000,-
19.50843800000000,-19.45261600000000,-19.39653400000000,-19.34019300000000,-
19.28359100000000,-19.22672800000000,-19.16960100000000,-19.11221100000000,-
19.05455600000000,-18.99663500000000,-18.93844700000000,-18.87999100000000,-
18.82126700000000,-18.76227200000000,-18.70300600000000,-18.64346800000000,-
18.58365700000000,-18.52357200000000,-18.46321200000000,-18.40257500000000,-

18.3416610000000,-18.2804680000000,-18.2189960000000,-18.1572430000000,-
18.0952080000000,-18.0328910000000,-17.9702900000000,-17.9074040000000,-
17.8442320000000,-17.7807730000000,-17.7170260000000,-17.6529890000000,-
17.5886620000000,-17.5240440000000,-17.4591330000000,-17.3939280000000,-
17.3284290000000,-17.2626340000000,-17.1965410000000,-17.1301510000000,-
17.0634620000000,-16.9964720000000,-16.9291810000000,-16.8615870000000,-
16.7936900000000,-16.7254880000000,-16.6569800000000,-16.5881650000000,-
16.5190420000000,-16.4496100000000,-16.3798680000000,-16.3098140000000,-
16.2394470000000,-16.1687670000000,-16.0977720000000,-16.0264610000000,-
15.9548340000000,-15.8828870000000,-15.8106220000000,-15.7380360000000,-
15.6651290000000,-15.5918990000000,-15.5183460000000,-15.4444670000000,-
15.3702630000000,-15.2957310000000,-15.2208710000000,-15.1456830000000,-
15.0701630000000,-14.9943120000000,-14.9181290000000,-14.8416120000000,-
14.7647600000000,-14.6875720000000,-14.6100470000000,-14.5321850000000,-
14.4539830000000,-14.3754410000000,-14.2965570000000,-14.2173320000000,-
14.1377620000000,-14.0578490000000,-13.9775900000000,-13.8969840000000,-
13.8160310000000,-13.7347290000000,-13.6530770000000,-13.5710750000000,-
13.4887210000000,-13.4060140000000,-13.3229540000000,-13.2395380000000,-
13.1557670000000,-13.0716400000000,-12.9871540000000,-12.9023100000000,-
12.8171070000000,-12.7315420000000,-12.6456170000000,-12.5593290000000,-
12.4726770000000,-12.3856610000000,-12.2982800000000,-12.2105330000000,-
12.1224190000000,-12.0339370000000,-11.9450870000000,-11.8558670000000,-
11.7662770000000,-11.6763150000000,-11.5859820000000,-11.4952760000000,-
11.4041960000000,-11.3127420000000,-11.2209130000000,-11.1287080000000,-
11.0361270000000,-10.9431680000000,-10.8498320000000,-10.7561170000000,-
10.6620230000000,-10.5675490000000,-10.4726940000000,-10.3774590000000,-
10.2818410000000,-10.1858420000000,-10.0894600000000,-9.9926940000000,-
9.8955450000000,-9.7980110000000,-9.7000930000000,-9.6017890000000,-
9.5031000000000,-9.4040250000000,-9.3045630000000,-9.2047150000000,-
9.1044800000000,-9.0038570000000,-8.9028470000000,-8.8014480000000,-
8.6996620000000,-8.5974870000000,-8.4949240000000,-8.3919720000000,-
8.2886320000000,-8.1849020000000,-8.0807840000000,-7.9762760000000,-
7.8713800000000,-7.7660940000000,-7.6604200000000,-7.5543570000000,-
7.4479050000000,-7.3410650000000,-7.2338360000000,-7.1262190000000,-
7.0182140000000,-6.9098210000000,-6.8010420000000,-6.6918750000000,-
6.5823210000000,-6.4723820000000,-6.3620560000000,-6.2513450000000,-
6.1402500000000,-6.0287700000000,-5.9169070000000,-5.8046610000000,-
5.6920330000000,-5.5790230000000,-5.4656330000000,-5.3518620000000,-
5.2377130000000,-5.1231850000000,-5.0082800000000,-4.8929990000000,-
4.7773420000000,-4.6613110000000,-4.5449070000000,-4.4281310000000,-
4.3109840000000,-4.1934680000000,-4.0755830000000,-3.9573320000000,-
3.8387150000000,-3.7197330000000,-3.6003890000000,-3.4806840000000,-
3.3606190000000,-3.2401970000000,-3.1194180000000,-2.9982840000000,-
2.8767980000000,-2.7549600000000,-2.6327740000000,-2.5102400000000,-
2.3873610000000,-2.2641380000000,-2.1405750000000,-2.0166720000000,-
1.8924330000000,-1.7678590000000,-1.6429530000000,-1.5177170000000,-
1.3921530000000,-1.2662640000000,-1.1400530000000,-1.0135210000000,-
0.8866730000000,-0.7595090000000,-0.6320330000000,-
0.5042490000000,-0.3761580000000,-0.2477630000000,-
0.1190680000000,0.0099240000000,0.1392110000000,0.2687890000000,0
.3986550000000,0.5288060000000,0.6592390000000,0.7899490000000,0.92
09340000000,1.0521900000000,1.1837140000000,1.3155020000000,1.44755100
00000,1.5798550000000,1.7124130000000,1.8452200000000,1.9782720000000,
2.1115650000000,2.2450950000000,2.3788580000000,2.5128500000000,2.64706
70000000,2.7815040000000,2.9161570000000,3.0510220000000,3.186094000000
00,3.3213690000000,3.4568430000000,3.5925090000000,3.7283650000000,3.86
44050000000,4.0006250000000,4.1370180000000,4.2735820000000,4.410310000

```

00000,4.547198000000000,4.684241000000000,4.821433000000000,4.958769000000000,5
.096244000000000,5.233853000000000,5.371591000000000,5.509451000000000,5.647429
00000000,5.785518000000000,5.923714000000000,6.062011000000000,6.200403000000000
0,6.338884000000000,6.477448000000000,6.616090000000000,6.754804000000000,6.893
58300000000,7.032423000000000,7.171316000000000,7.310256000000000,7.44923800000
0000,7.588256000000000,7.727302000000000,7.866370000000000,8.005455000000000,8.
144550000000000,8.283648000000000,8.422743000000000,8.561829000000000,8.7008980
0000000,8.839943000000000,8.978960000000000,9.117939000000000,9.256876000000000
,9.395762000000000,9.534591000000000,9.673356000000000,9.812049000000000,9.9506
6500000000,10.089195000000000,10.227632000000000,10.365969000000000,10.50420000000
000,10.642315000000000,10.780309000000000,10.918172000000000,11.055899000000000,11.
19348000000000,11.330908000000000,11.468176000000000,11.605275000000000,11.7421970
000000,11.878933000000000,12.015476000000000,12.151817000000000,12.287947000000000,
12.423857000000000,12.559538000000000,12.694980000000000,12.830174000000000,12.9651
100000000,13.099778000000000,13.234165000000000,13.368262000000000,13.5020560000000
00,13.635535000000000,13.768684000000000,13.901491000000000,14.033938000000000,14.1
6601000000000,14.297687000000000,14.428949000000000,14.559774000000000,14.69013400
00000,14.820002000000000,14.949343000000000,15.078116000000000,15.206276000000000,1
5.333767000000000,15.460521000000000,15.586456000000000,15.711468000000000,15.83542
800000000,15.958170000000000,16.079479000000000,16.199068000000000,16.3165510000000
0,16.431396000000000,16.542849000000000,16.649814000000000,16.750648000000000,16.84
27880000000,16.922060000000000,16.981271000000000,17.007130000000000,16.972718000
0000,16.816068000000000,16.364271000000000,14.938921000000000,4.829861000000000,37
.718253000000000];
% webot_torque = -A(:,4);
% plot(T, webot_torque, '--k')
% CTC_torque = -B(:,4);
% plot(T, CTC_torque, '--r')

%% Newton

% for k = 1:1001;
%
%   R32x = 0.185*cos(I_K_th1(k));
%   R32y = 0.185*sin(I_K_th1(k));
%   R23x = -0.219*cos(I_K_th1(k) + I_K_th2_star(k));
%   R23y = -0.219*sin(I_K_th1(k) + I_K_th2_star(k));
%   R43x = 0.219*cos(I_K_th1(k) + I_K_th2_star(k));
%   R43y = 0.219*sin(I_K_th1(k) + I_K_th2_star(k));
%   R53x = 0.219*cos(I_K_th1(k) + I_K_th2_star(k));
%   R53y = 0.219*sin(I_K_th1(k) + I_K_th2_star(k));
%   R34x = -0.227*cos(I_K_th1(k) + I_K_th2_star(k) + I_K_th4_star(k));
%   R34y = -0.227*sin(I_K_th1(k) + I_K_th2_star(k) + I_K_th4_star(k));
%   R14x = 0.227*cos(I_K_th1(k) + I_K_th2_star(k) + I_K_th4_star(k));
%   R14y = 0.227*sin(I_K_th1(k) + I_K_th2_star(k) + I_K_th4_star(k));
%
%
%   m2 = 7.7;
%   m3 = 1.7;
%   m4 = 2.4;
%   m5 = 0.8;
%
%   xi = [1;0;0];
%   yj = [0;1;0];
%   zk = [0;0;1];
%
%   a2gx = 0;

```

```

%      a2gy = 0;
%      a2ge = cross(I_K_th1_dotdot(k)*zk, L1*xi) + cross(I_K_th1_dot(k)*zk,
cross(I_K_th1_dot(k)*zk, L1*xi));
%
%      a3gc = R2'*a2ge + cross(I_K_th2_dotdot(k)*zk, L2/2*xi) +
cross(I_K_th2_dot(k)*zk, cross(I_K_th2_dot(k)*zk, L2/2*xi));
%      a3gx = a3gc(1,:);
%      a3gy = a3gc(2,:);
%      a3ge = R2'*a2ge + cross(I_K_th2_dotdot(k)*zk, L2*xi) +
cross(I_K_th2_dot(k)*zk, cross(I_K_th2_dot(k)*zk, L2*xi));
%
%      a4gc = R4'*a3ge + cross(I_K_th4_dotdot(k)*zk, L4/2*xi) +
cross(I_K_th4_dot(k)*zk, cross(I_K_th4_dot(k)*zk, L4/2*xi));
%      a4gx = a4gc(1,:);
%      a4gy = a4gc(2,:);
%      a4ge = R4'*a3ge + cross(I_K_th4_dotdot(k)*zk, L4*xi) +
cross(I_K_th4_dot(k)*zk, cross(I_K_th4_dot(k)*zk, L4*xi));
%
%      a5gc = R3'*a3ge;
%      a5gx = a5gc(1,:);
%      a5gy = a5gc(2,:);
%      a5ge = R3'*a3ge;
%
%      a2 = 0;
%      a3 = I_K_th2_dotdot(k);
%      a4 = I_K_th4_dotdot(k);
%
%      Ig2 = m2*L1^2 * 10^-6;
%      Ig3 = m3*(0.05^2 + L2^2) / 12 * 10^-6;
%      Ig4 = m4*(L4^2 + 0.05^2) / 12 * 10^-6;
%      Ig5 = m5*(L3^2 + 0.05^2) / 12 * 10^-6;
%
%      Fpx = 0;
%      Fpy = 0;
%
%      A = [1 0 1 0 0 0 0 0 0 0 0
%           0 1 0 1 0 0 0 0 0 0 0
%           0 0 -R32y R32x 0 0 0 0 0 0 1
%           0 0 -1 0 1 0 1 0 0 0 0
%           0 0 0 -1 0 1 0 1 0 0 0
%           0 0 R23y -R23x -R43y R43x -R53y R53x 0 0 0
%           0 0 0 0 -1 0 0 0 1 0 0
%           0 0 0 0 0 -1 0 0 0 1 0
%           0 0 0 0 R34y -R34x 0 0 -R14y R14x 0
%           0 0 0 0 0 0 -1 0 0 0 0
%           0 0 0 0 0 0 0 -1 0 0 0];
%
%      B(:,k) = [m2*a2gx; m2*a2gy; Ig2*a2; m3*a3gx; m3*a3gy; Ig3*a3; m4*a4gx;
m4*a4gy; Ig4*a4; m5*a5gx-Fpx; m5*a5gy-Fpy];
%
%      C(:,k) = inv(A) * B(:, k); % F12x, F12y, F32x, F32y, F43x, F43y, F53x,
F53y, F14x, F14y, Tm
% end
%
% % I_A = inv(A);
% %
% % torque_N = C(11,:);

```

```
% %
% % plot(T,torque_N)
%
```

5.graph.m

```
%%%%%%%%%%%%%%φμμ;ë
clear all;%% close all; clc;
fname = 'C:\Users\whgdm\OneDrive\¹ÙÅÁ È-,é\¼ø¾÷\1.
·î°¿μ¿¿ªÇÐ¹×Á|¾î\webot\controllers\4Link\data2.txt';
A = load(fname);

scale = 1;
% scale = 180/pi;

x = size(A);
buf_exw1 = -A(:,1)*180/pi;
buf_exw2 = -A(:,2)*180/pi;
buf_exw3 = -A(:,3)*scale;
buf_exw4 = -A(:,4)*scale;
buf_exw5 = -A(:,5);

fig15 = figure(5);
fig15.Color = 'white';
fig15.Position = ([100 100 2000 800]);

dt = 0.001;
freq = 1/dt;

ylabel('Torque (Nm)')
xlabel('Time [sec]')
title('Right Arm Torque');
grid on
hold on
plot(dt:dt:(x(1))/freq,buf_exw1,'LineWidth',1);
plot(dt:dt:(x(1))/freq,buf_exw2,'LineWidth',1);
% plot(dt:dt:(x(1))/freq,buf_exw3,'LineWidth',1);
plot(dt:dt:(x(1))/freq,buf_exw4,'LineWidth',1);
% plot(dt:dt:(x(1))/freq,buf_exw5,'LineWidth',1);
```

B. Mathematica

```
Jvc1=({
  {-L1*Sin[th1]-L2*Sin[th1+th2]/2},
  {L1*Cos[th1]+L2*Cos[th1+th2]/2},
  {0}
})
{{-L1 Sin[th1]-1/2 L2 Sin[th1+th2]},{L1 Cos[th1]+1/2 L2 Cos[th1+th2]},{0}}
Jvc2=({
  {-L1*Sin[th1]-L2*Sin[th1+th2]-L3*Sin[th1+th2+th3]/2},
  {L1*Cos[th1]+L2*Cos[th1+th2]+L3*Cos[th1+th2+th3]/2},
```



```

    {0}
  })
  {{-L1 Sin[th1]-L2 Sin[th1+th2]-1/2 L3 Sin[th1+th2+th3]},{L1 Cos[th1]+L2
Cos[th1+th2]+1/2 L3 Cos[th1+th2+th3]},{0}}
  TJvc1=Transpose[Jvc1]
  {{-L1 Sin[th1]-1/2 L2 Sin[th1+th2],L1 Cos[th1]+1/2 L2 Cos[th1+th2],0}}
  TJvc2=Transpose[Jvc2]
  {{-L1 Sin[th1]-L2 Sin[th1+th2]-1/2 L3 Sin[th1+th2+th3],L1 Cos[th1]+L2 Cos[th1+th2]+1/2
L3 Cos[th1+th2+th3],0}}
  Rc1=({
    {Cos[th1+th2], -Sin[th1+th2], 0},
    {Sin[th1+th2], Cos[th1+th2], 0},
    {0, 0, 1}
  })
  {{Cos[th1+th2],-Sin[th1+th2],0},{Sin[th1+th2],Cos[th1+th2],0},{0,0,1}}
  TRc1=Transpose[Rc1]
  {{Cos[th1+th2],Sin[th1+th2],0},{-Sin[th1+th2],Cos[th1+th2],0},{0,0,1}}
  Rc2=({
    {Cos[th1+th2+th3], -Sin[th1+th2+th3], 0},
    {Sin[th1+th2+th3], Cos[th1+th2+th3], 0},
    {0, 0, 1}
  })
  {{Cos[th1+th2+th3],-Sin[th1+th2+th3],0},{Sin[th1+th2+th3],Cos[th1+th2+th3],0},{0,0,1}}
  TRc2=Transpose[Rc2]
  {{Cos[th1+th2+th3],Sin[th1+th2+th3],0},{-Sin[th1+th2+th3],Cos[th1+th2+th3],0},{0,0,1}}
  Ic1=({
    {Ic1xx, 0, 0},
    {0, Ic1yy, 0},
    {0, 0, Ic1zz}
  })
  {{Ic1xx,0,0},{0,Ic1yy,0},{0,0,Ic1zz}}
  Ic2=({
    {Ic2xx, 0, 0},
    {0, Ic2yy, 0},
    {0, 0, Ic2zz}
  })
  {{Ic2xx,0,0},{0,Ic2yy,0},{0,0,Ic2zz}}
  Jwc1=({
    {0},
    {0},
    {1}
  })
  {{0},{0},{1}}
  Jwc2=({
    {0},
    {0},
    {1}
  })

```

}}
{{0},{0},{1}}

TJwc1=Transpose[Jwc1]

{{0,0,1}}

TJwc2=Transpose[Jwc2]

{{0,0,1}}

m1*TJvc1.Jvc1+m2*TJvc2.Jvc2+TJwc1.Rc1.Ic1.TRc1.Jwc1+TJwc2.Rc2.Ic2.TRc2.Jwc2

{{Ic1zz+Ic2zz+m1 ((L1 Cos[th1]+1/2 L2 Cos[th1+th2])²+(-L1 Sin[th1]-1/2 L2 Sin[th1+th2])²)+m2 ((L1 Cos[th1]+L2 Cos[th1+th2]+1/2 L3 Cos[th1+th2+th3])²+(-L1 Sin[th1]-L2 Sin[th1+th2]-1/2 L3 Sin[th1+th2+th3])²)}}

FullSimplify[MatrixForm[m1*TJvc1.Jvc1+m2*TJvc2.Jvc2+TJwc1.Rc1.Ic1.TRc1.Jwc1+TJwc2.Rc2.Ic2.TRc2.Jwc2]]

{

{Ic1zz+Ic2zz+L1² (m1+m2)+1/4 (L3² m2+L2² (m1+4 m2))+L1 L2 (m1+2 m2) Cos[th2]+L3 m2 (L2 Cos[th3]+L1 Cos[th2+th3])}

})

FullSimplify[m1*TJvc1.Jvc1+m2*TJvc2.Jvc2+TJwc1.Rc1.Ic1.TRc1.Jwc1+TJwc2.Rc2.Ic2.TRc2.Jwc2]

{{Ic1zz+Ic2zz+L1² (m1+m2)+1/4 (L3² m2+L2² (m1+4 m2))+L1 L2 (m1+2 m2) Cos[th2]+L3 m2 (L2 Cos[th3]+L1 Cos[th2+th3])}}

d11=m1*TJvc1.Jvc1+m2*TJvc2.Jvc2+TJwc1.Rc1.Ic1.TRc1.Jwc1+TJwc2.Rc2.Ic2.TRc2.Jwc2

{{Ic1zz+Ic2zz+m1 ((L1 Cos[th1]+1/2 L2 Cos[th1+th2])²+(-L1 Sin[th1]-1/2 L2 Sin[th1+th2])²)+m2 ((L1 Cos[th1]+L2 Cos[th1+th2]+1/2 L3 Cos[th1+th2+th3])²+(-L1 Sin[th1]-L2 Sin[th1+th2]-1/2 L3 Sin[th1+th2+th3])²)}}

c111=FullSimplify[(1/2)*(D[d11,th1]+D[d11,th1]-D[d11,th1])]

{{0}}

P=m1*g*(L1*Sin[th1]+L2*Sin[th1+th2]/2)+m2*g*(L1*Sin[th1]+L2*Sin[th1+th2]+L3*Sin[th1+th2+th3]/2)

g m1 (L1 Sin[th1]+1/2 L2 Sin[th1+th2])+g m2 (L1 Sin[th1]+L2 Sin[th1+th2]+1/2 L3 Sin[th1+th2+th3])

g1=D[P,th1]

g m1 (L1 Cos[th1]+1/2 L2 Cos[th1+th2])+g m2 (L1 Cos[th1]+L2 Cos[th1+th2]+1/2 L3 Cos[th1+th2+th3])

t=d11+g1

{{Ic1zz+Ic2zz+g m1 (L1 Cos[th1]+1/2 L2 Cos[th1+th2])+g m2 (L1 Cos[th1]+L2 Cos[th1+th2]+1/2 L3 Cos[th1+th2+th3])+m1 ((L1 Cos[th1]+1/2 L2 Cos[th1+th2])²+(-L1 Sin[th1]-1/2 L2 Sin[th1+th2])²)+m2 ((L1 Cos[th1]+L2 Cos[th1+th2]+1/2 L3 Cos[th1+th2+th3])²+(-L1 Sin[th1]-L2 Sin[th1+th2]-1/2 L3 Sin[th1+th2+th3])²)}}

Jvc3=({

{-(330 +L1*Sin[th1]+L2*Sin[th1+th2])/2},

{(547.5+L1*Cos[th1]+L2*Cos[th1+th2])/2},

{0}

})

{{1/2 (-330-L1 Sin[th1]-L2 Sin[th1+th2])},{1/2 (547.5 +L1 Cos[th1]+L2

```

Cos[th1+th2]),{0}}
TJvc3=Transpose[Jvc3]
{{1/2 (-330-L1 Sin[th1]-L2 Sin[th1+th2]),1/2 (547.5 +L1 Cos[th1]+L2 Cos[th1+th2]),0}}
{{1/2 (-330-L1 Sin[th1]-L2 Sin[th1+th2]),1/2 (547.5` +L1 Cos[th1]+L2 Cos[th1+th2]),0}}
{{1/2 (-330-L1 Sin[th1]-L2 Sin[th1+th2]),1/2 (547.5 +L1 Cos[th1]+L2 Cos[th1+th2]),0}}
Jvc1=({
  {-L1*Sin[th1]-L2*Sin[th1+th2]/2},
  {L1*Cos[th1]+L2*Cos[th1+th2]/2},
  {0}}
  })
{{-L1 Sin[th1]-1/2 L2 Sin[th1+th2]},{L1 Cos[th1]+1/2 L2 Cos[th1+th2]},{0}}
Jvc2=({
  {-L1*Sin[th1]-L2*Sin[th1+th2]-L3*Sin[th1+th2+th3]/2},
  {L1*Cos[th1]+L2*Cos[th1+th2]+L3*Cos[th1+th2+th3]/2},
  {0}}
  })
{{-L1 Sin[th1]-L2 Sin[th1+th2]-1/2 L3 Sin[th1+th2+th3]},{L1 Cos[th1]+L2
Cos[th1+th2]+1/2 L3 Cos[th1+th2+th3]},{0}}
Rc3=({
  {Cos[th1+th2+th4], -Sin[th1+th2+th4], 0},
  {Sin[th1+th2+th4], Cos[th1+th2+th4], 0},
  {0, 0, 1}}
  })
{{Cos[th1+th2+th4],-Sin[th1+th2+th4],0},{Sin[th1+th2+th4],Cos[th1+th2+th4],0},{0,0,1}}
Ic3=({
  {Ic3xx, 0, 0},
  {0, Ic3yy, 0},
  {0, 0, Ic3zz}}
  })
{{Ic3xx,0,0},{0,Ic3yy,0},{0,0,Ic3zz}}
TRc3=Transpose[Rc3]
{{Cos[th1+th2+th4],Sin[th1+th2+th4],0},{-Sin[th1+th2+th4],Cos[th1+th2+th4],0},{0,0,1}}
Jwc3=({
  {0},
  {0},
  {1}}
  })
{{0},{0},{1}}
TJwc3=Transpose[Jwc2]
{{0,0,1}}
d11=m1*TJvc1.Jvc1+m2*TJvc2.Jvc2+m3*TJvc3.Jvc3+TJwc1.Rc1.Ic1.TRc1.Jwc1+TJwc2.
Rc2.Ic2.TRc2.Jwc2+TJwc3.Rc3.Ic3.TRc3.Jwc3
{{Ic1zz+Ic2zz+Ic3zz+m3 (1/4 (547.5 +L1 Cos[th1]+L2 Cos[th1+th2])2+1/4 (-330-L1
Sin[th1]-L2 Sin[th1+th2])2)+m1 ((L1 Cos[th1]+1/2 L2 Cos[th1+th2])2+(-L1 Sin[th1]-1/2 L2
Sin[th1+th2])2)+m2 ((L1 Cos[th1]+L2 Cos[th1+th2]+1/2 L3 Cos[th1+th2+th3])2+(-L1
Sin[th1]-L2 Sin[th1+th2]-1/2 L3 Sin[th1+th2+th3])2)}}
P=m1*g*(L1*Sin[th1]+L2*Sin[th1+th2]/2)+m2*g*(L1*Sin[th1]+L2*Sin[th1+th2]+L3*Sin[t

```

$$h1+th2+th3)/2)+m3*g*(L1*Sin[th1]+L2*Sin[th1+th2]+L4*Sin[th1+th2+th4]/2)$$

$$g\ m1\ (L1\ Sin[th1]+1/2\ L2\ Sin[th1+th2])+g\ m2\ (L1\ Sin[th1]+L2\ Sin[th1+th2]+1/2\ L3\ Sin[th1+th2+th3])+g\ m3\ (L1\ Sin[th1]+L2\ Sin[th1+th2]+1/2\ L4\ Sin[th1+th2+th4])$$

$$g1=D[P,th1]$$

$$g\ m1\ (L1\ Cos[th1]+1/2\ L2\ Cos[th1+th2])+g\ m2\ (L1\ Cos[th1]+L2\ Cos[th1+th2]+1/2\ L3\ Cos[th1+th2+th3])+g\ m3\ (L1\ Cos[th1]+L2\ Cos[th1+th2]+1/2\ L4\ Cos[th1+th2+th4])$$

$$c111=FullSimplify[(1/2)*(D[d11,th1]+D[d11,th1]-D[d11,th1])]$$

$$\{\{82.5\ m3\ (L1\ Cos[th1]+L2\ Cos[th1+th2]-1.65909\ L1\ Sin[th1]-1.65909\ L2\ Sin[th1+th2])\}\}$$

$$d11=m1*TJvc1.Jvc1+m2*TJvc2.Jvc2+m3*TJvc3.Jvc3+TJwc1.Rc1.Ic1.TRc1.Jwc1+TJwc2.$$

$$Rc2.Ic2.TRc2.Jwc2+TJwc3.Rc3.Ic3.TRc3.Jwc3$$

$$\{\{Ic1zz+Ic2zz+Ic3zz+m3\ (1/4\ (547.5\ +L1\ Cos[th1]+L2\ Cos[th1+th2])^2+1/4\ (-330-L1\ Sin[th1]-L2\ Sin[th1+th2])^2)+m1\ ((L1\ Cos[th1]+1/2\ L2\ Cos[th1+th2])^2+(-L1\ Sin[th1]-1/2\ L2\ Sin[th1+th2])^2)+m2\ ((L1\ Cos[th1]+L2\ Cos[th1+th2]+1/2\ L3\ Cos[th1+th2+th3])^2+(-L1\ Sin[th1]-L2\ Sin[th1+th2]-1/2\ L3\ Sin[th1+th2+th3])^2)\}\}$$

$$TJwc3.Rc3.Ic3.TRc3.Jwc3$$

$$\{\{Ic3zz\}\}$$

$$TJwc2.Rc2.Ic2.TRc2.Jwc2$$

$$\{\{Ic2zz\}\}$$

$$d11=m1*TJvc1.Jvc1+m2*TJvc2.Jvc2+m3*TJvc3.Jvc3+TJwc1.Rc1.Ic1.TRc1.Jwc1+TJwc2.$$

$$Rc2.Ic2.TRc2.Jwc2+TJwc3.Rc3.Ic3.TRc3.Jwc3$$

$$\{\{Ic1zz+Ic2zz+Ic3zz+m3\ (1/4\ (547.5\ +L1\ Cos[th1]+L2\ Cos[th1+th2])^2+1/4\ (-330-L1\ Sin[th1]-L2\ Sin[th1+th2])^2)+m1\ ((L1\ Cos[th1]+1/2\ L2\ Cos[th1+th2])^2+(-L1\ Sin[th1]-1/2\ L2\ Sin[th1+th2])^2)+m2\ ((L1\ Cos[th1]+L2\ Cos[th1+th2]+1/2\ L3\ Cos[th1+th2+th3])^2+(-L1\ Sin[th1]-L2\ Sin[th1+th2]-1/2\ L3\ Sin[th1+th2+th3])^2)\}\}$$

$$P=m1*g*(L1*Sin[th1]+L2*Sin[th1+th2]/2)+m2*g*(L1*Sin[th1]+L2*Sin[th1+th2]+L3*Sin[th1+th2+th3]/2)+m3*g*(L1*Sin[th1]+L2*Sin[th1+th2]+L4*Sin[th1+th2+th4]/2)$$

$$g\ m1\ (L1\ Sin[th1]+1/2\ L2\ Sin[th1+th2])+g\ m2\ (L1\ Sin[th1]+L2\ Sin[th1+th2]+1/2\ L3\ Sin[th1+th2+th3])+g\ m3\ (L1\ Sin[th1]+L2\ Sin[th1+th2]+1/2\ L4\ Sin[th1+th2+th4])$$

$$c111=FullSimplify[(1/2)*(D[d11,th1]+D[d11,th1]-D[d11,th1])]$$

$$\{\{82.5\ m3\ (L1\ Cos[th1]+L2\ Cos[th1+th2]-1.65909\ L1\ Sin[th1]-1.65909\ L2\ Sin[th1+th2])\}\}$$

$$t=d11+g1+c111$$

$$\{\{Ic1zz+Ic2zz+Ic3zz+g\ m1\ (L1\ Cos[th1]+1/2\ L2\ Cos[th1+th2])+g\ m2\ (L1\ Cos[th1]+L2\ Cos[th1+th2]+1/2\ L3\ Cos[th1+th2+th3])+g\ m3\ (L1\ Cos[th1]+L2\ Cos[th1+th2]+1/2\ L4\ Cos[th1+th2+th4])+82.5\ m3\ (L1\ Cos[th1]+L2\ Cos[th1+th2]-1.65909\ L1\ Sin[th1]-1.65909\ L2\ Sin[th1+th2])+m3\ (1/4\ (547.5\ +L1\ Cos[th1]+L2\ Cos[th1+th2])^2+1/4\ (-330-L1\ Sin[th1]-L2\ Sin[th1+th2])^2)+m1\ ((L1\ Cos[th1]+1/2\ L2\ Cos[th1+th2])^2+(-L1\ Sin[th1]-1/2\ L2\ Sin[th1+th2])^2)+m2\ ((L1\ Cos[th1]+L2\ Cos[th1+th2]+1/2\ L3\ Cos[th1+th2+th3])^2+(-L1\ Sin[th1]-L2\ Sin[th1+th2]-1/2\ L3\ Sin[th1+th2+th3])^2)\}\}$$

$$Jvc3=({$$

$$\{-y+L1*Sin[th1]+L2*Sin[th1+th2])/2\},$$

$$\{(x+L1*Cos[th1]+L2*Cos[th1+th2])/2\},$$

$$\{0\}$$

$$)}$$

$$\{\{1/2\ (-y-L1\ Sin[th1]-L2\ Sin[th1+th2])\},\{1/2\ (x+L1\ Cos[th1]+L2\ Cos[th1+th2])\},\{0\}\}$$

$$\{\{1/2\ (-y-L1\ Sin[th1]-L2\ Sin[th1+th2])\},\{1/2\ (x+L1\ Cos[th1]+L2\ Cos[th1+th2])\},\{0\}\}$$

```

{{1/2 (-y-L1 Sin[th1]-L2 Sin[th1+th2])},{1/2 (x+L1 Cos[th1]+L2 Cos[th1+th2])},{0}}
TJvc3=Transpose[Jvc3]
{{1/2 (-y-L1 Sin[th1]-L2 Sin[th1+th2]),1/2 (x+L1 Cos[th1]+L2 Cos[th1+th2]),0}}
d11=m1*TJvc1.Jvc1+m2*TJvc2.Jvc2+m3*TJvc3.Jvc3+TJwc1.Rc1.Ic1.TRc1.Jwc1+TJwc2.
Rc2.Ic2.TRc2.Jwc2+TJwc3.Rc3.Ic3.TRc3.Jwc3
{{Ic1zz+Ic2zz+Ic3zz+m3 (1/4 (x+L1 Cos[th1]+L2 Cos[th1+th2])^2+1/4 (-y-L1 Sin[th1]-L2
Sin[th1+th2])^2)+m1 ((L1 Cos[th1]+1/2 L2 Cos[th1+th2])^2+(-L1 Sin[th1]-1/2 L2
Sin[th1+th2])^2)+m2 ((L1 Cos[th1]+L2 Cos[th1+th2]+1/2 L3 Cos[th1+th2+th3])^2+(-L1
Sin[th1]-L2 Sin[th1+th2]-1/2 L3 Sin[th1+th2+th3])^2)}}
P=m1*g*(L1*Sin[th1]+L2*Sin[th1+th2]/2)+m2*g*(L1*Sin[th1]+L2*Sin[th1+th2]+L3*Sin[t
h1+th2+th3]/2)+m3*g*(L1*Sin[th1]+L2*Sin[th1+th2]+L4*Sin[th1+th2+th4]/2)
g m1 (L1 Sin[th1]+1/2 L2 Sin[th1+th2])+g m2 (L1 Sin[th1]+L2 Sin[th1+th2]+1/2 L3
Sin[th1+th2+th3])+g m3 (L1 Sin[th1]+L2 Sin[th1+th2]+1/2 L4 Sin[th1+th2+th4])
g1=D[P,th1]
g m1 (L1 Cos[th1]+1/2 L2 Cos[th1+th2])+g m2 (L1 Cos[th1]+L2 Cos[th1+th2]+1/2 L3
Cos[th1+th2+th3])+g m3 (L1 Cos[th1]+L2 Cos[th1+th2]+1/2 L4 Cos[th1+th2+th4])
c111=FullSimplify[(1/2)*(D[d11,th1]+D[d11,th1]-D[d11,th1])]
{{1/4 m3 (L1 y Cos[th1]+L2 y Cos[th1+th2]-x (L1 Sin[th1]+L2 Sin[th1+th2]))}}
t=d11+g1+c111
{{Ic1zz+Ic2zz+Ic3zz+g m1 (L1 Cos[th1]+1/2 L2 Cos[th1+th2])+g m2 (L1 Cos[th1]+L2
Cos[th1+th2]+1/2 L3 Cos[th1+th2+th3])+g m3 (L1 Cos[th1]+L2 Cos[th1+th2]+1/2 L4
Cos[th1+th2+th4])+m3 (1/4 (x+L1 Cos[th1]+L2 Cos[th1+th2])^2+1/4 (-y-L1 Sin[th1]-L2
Sin[th1+th2])^2)+m1 ((L1 Cos[th1]+1/2 L2 Cos[th1+th2])^2+(-L1 Sin[th1]-1/2 L2
Sin[th1+th2])^2)+1/4 m3 (L1 y Cos[th1]+L2 y Cos[th1+th2]-x (L1 Sin[th1]+L2
Sin[th1+th2]))+m2 ((L1 Cos[th1]+L2 Cos[th1+th2]+1/2 L3 Cos[th1+th2+th3])^2+(-L1
Sin[th1]-L2 Sin[th1+th2]-1/2 L3 Sin[th1+th2+th3])^2)}}
FullSimplify[d11]
{{1/4 (4 Ic1zz+4 Ic2zz+4 Ic3zz+L3^2 m2+L2^2 (m1+4 m2+m3)+L1^2 (4 (m1+m2)+m3)+m3
(x^2+y^2)+2 (L1 m3 x Cos[th1]+L1 L2 (2 m1+4 m2+m3) Cos[th2]+L2 m3 x Cos[th1+th2]+2
L2 L3 m2 Cos[th3]+2 L1 L3 m2 Cos[th2+th3]+L1 m3 y Sin[th1]+L2 m3 y Sin[th1+th2]))}}
P=m1*g*(L1*Sin[th1]+L2*Sin[th1+th2]/2)+m2*g*(L1*Sin[th1]+L2*Sin[th1+th2]+L3*Sin[t
h1+th2+th3]/2)+m3*g*((y+L1*Sin[th1]+L2*Sin[th1+th2])/2)
g m1 (L1 Sin[th1]+1/2 L2 Sin[th1+th2])+1/2 g m3 (y+L1 Sin[th1]+L2 Sin[th1+th2])+g m2
(L1 Sin[th1]+L2 Sin[th1+th2]+1/2 L3 Sin[th1+th2+th3])
g1=D[P,th1]
g m1 (L1 Cos[th1]+1/2 L2 Cos[th1+th2])+1/2 g m3 (L1 Cos[th1]+L2 Cos[th1+th2])+g m2
(L1 Cos[th1]+L2 Cos[th1+th2]+1/2 L3 Cos[th1+th2+th3])
FullSimplify[P]
1/2 g (m3 y+L1 (2 (m1+m2)+m3) Sin[th1]+L2 (m1+2 m2+m3) Sin[th1+th2]+L3 m2
Sin[th1+th2+th3])
FullSimplify[g1]
1/2 g (L1 (2 (m1+m2)+m3) Cos[th1]+L2 (m1+2 m2+m3) Cos[th1+th2]+L3 m2
Cos[th1+th2+th3])
c111=FullSimplify[(1/2)*(D[d11,th1]+D[d11,th1]-D[d11,th1])]
{{1/4 m3 (L1 y Cos[th1]+L2 y Cos[th1+th2]-x (L1 Sin[th1]+L2 Sin[th1+th2]))}}
Rc0={
    {1, 0, 0},

```

```

    {0, 1, 0},
    {0, 0, 1}
  })
  {{1,0,0},{0,1,0},{0,0,1}}
  TRc0=Transpose[Rc0]
  {{1,0,0},{0,1,0},{0,0,1}}
  Jwc0=({
    {0},
    {0},
    {1}
  })
  {{0},{0},{1}}
  TJwc0=Transpose[Jwc0]
  {{0,0,1}}
  Ic0=({
    {Ic0xx, 0, 0},
    {0, Ic0yy, 0},
    {0, 0, Ic0zz}
  })
  {{Ic0xx,0,0},{0,Ic0yy,0},{0,0,Ic0zz}}
  d11=m1*TJvc1.Jvc1+m2*TJvc2.Jvc2+m3*TJvc3.Jvc3+TJwc0.Rc0.Ic0.TRc0.Jwc0+TJwc1.
  Rc1.Ic1.TRc1.Jwc1+TJwc2.Rc2.Ic2.TRc2.Jwc2+TJwc3.Rc3.Ic3.TRc3.Jwc3
  {{Ic0zz+Ic1zz+Ic2zz+Ic3zz+m3 (1/4 (x+L1 Cos[th1]+L2 Cos[th1+th2])^2+1/4 (-y-L1
  Sin[th1]-L2 Sin[th1+th2])^2)+m1 ((L1 Cos[th1]+1/2 L2 Cos[th1+th2])^2+(-L1 Sin[th1]-1/2 L2
  Sin[th1+th2])^2)+m2 ((L1 Cos[th1]+L2 Cos[th1+th2]+1/2 L3 Cos[th1+th2+th3])^2+(-L1
  Sin[th1]-L2 Sin[th1+th2]-1/2 L3 Sin[th1+th2+th3])^2)}}}
  FullSimplify[d11]
  {{1/4 (4 Ic0zz+4 Ic1zz+4 Ic2zz+4 Ic3zz+L3^2 m2+L2^2 (m1+4 m2+m3)+L1^2 (4
  (m1+m2)+m3)+m3 (x^2+y^2)+2 (L1 m3 x Cos[th1]+L1 L2 (2 m1+4 m2+m3) Cos[th2]+L2 m3
  x Cos[th1+th2]+2 L2 L3 m2 Cos[th3]+2 L1 L3 m2 Cos[th2+th3]+L1 m3 y Sin[th1]+L2 m3 y
  Sin[th1+th2]))}}
  c111=FullSimplify[(1/2)*(D[d11,th1]+D[d11,th1]-D[d11,th1])]
  {{1/4 m3 (L1 y Cos[th1]+L2 y Cos[th1+th2]-x (L1 Sin[th1]+L2 Sin[th1+th2]))}}

```

C. Webot

/*

* File: my_controller.c

* Date:

* Description:

* Author:

* Modifications:

*/

/*

* You may need to add include files like <webots/distance_sensor.h> or

* <webots/differential_wheels.h>, etc.

*/

#include <webots/robot.h>

#include <webots/motor.h>

#include <webots/position_sensor.h>

#include <stdio.h>

#include <math.h>

/*

* You may want to add macros here.

*/

#define TIME_STEP 1

#define dt 0.001

#define G 9.81

#define f 0.5

#define pi 3.141592

FILE* DATA2;

```

FILE* GdData;

FILE* GdData2;

FILE* GdData3;

/*

* This is the main program.

* The arguments of the main function can be specified by the

* "controllerArgs" field of the Robot node

*/

double Gd[1001] = {0};

double Gd2[1001] = {0};

double Gd3[1001] = {0};


int main(int argc, char **argv)

{

    GdData = fopen("IK.txt", "r");

    for(int loop = 0; loop < 1001; loop++)

    {

        fscanf(GdData, "%lf", &Gd[loop]);

        printf("%d %lf\n",loop, Gd[loop]);

    }

    GdData2 = fopen("IK_d.txt", "r");

    for(int loop = 0; loop < 1001; loop++)

```



```

{
    fscanf(GdData2, "%lf", &Gd2[loop]);
    printf("%d %lf\n",loop, Gd2[loop]);
}

GdData3 = fopen("IK_dd.txt", "r");
for(int loop = 0; loop < 1001; loop++)
{
    fscanf(GdData3, "%lf", &Gd3[loop]);
    printf("%d %lf\n",loop, Gd3[loop]);
}

/* necessary to initialize webots stuff */
wb_robot_init();

WbDeviceTag m1 = wb_robot_get_device("m1");
WbDeviceTag PS1 = wb_robot_get_device("p1");
WbDeviceTag PS2 = wb_robot_get_device("p2");

int step = (int)wb_robot_get_basic_time_step();
wb_position_sensor_enable(PS1, step);
wb_position_sensor_enable(PS2, step);

```

```
wb_motor_enable_torque_feedback(m1, step);
```

```
wb_motor_set_torque(m1,0);
```

```
double theta1 = 0, preTheta1 = 0;
```

```
double theta1_dot = 0, preTheta1_dot = 0;
```

```
double theta1_ddot = 0;
```

```
double theta2 = 0;
```

```
double M_q = 0, C_q = 0, G_q = 0;
```

```
double I0 = 0.1318, I1 = 0.0275, I2 = 0.002223, I3 = 0.04172;
```

```
double L1 = 0.185, L2 = 0.438, L3 = 0.176, x = 0.5475, y=0.330;
```

```
double m = 1.7, m2 = 0.8, m3 = 2.4;
```

```
double position1 = 0;
```

```
double PD_Torque = 0;
```

```
double CTC_Torque = 0;
```

```
double Kp = 10000, Kd = 200;
```

```
double CKp = 150, Kv = 70;
```

```
double C1 =0, C2=0, C3=0, S1=0,S2=0,S12 = 0, C12=0,C23=0,C123=0;
```

```

double t = 0, tcount = 0;

int ttcount = 1;


DATA2 = fopen("data2.txt", "w");

/*
 * You should declare here WbDeviceTag variables for storing
 * robot devices like this:
 *
 * WbDeviceTag my_sensor = wb_robot_get_device("my_sensor");
 * WbDeviceTag my_actuator = wb_robot_get_device("my_actuator");
 */


/* main loop
 * Perform simulation steps of TIME_STEP milliseconds
 * and leave the loop when the simulation is over
 */
/* while (wb_robot_step(TIME_STEP) != -1 && ttcount != 1001) {

    t = dt*tcount;


    preTheta1 = theta1;

    preTheta1_dot = theta1_dot;


    theta1 = wb_position_sensor_get_value(PS1);

```

```

theta1_dot = (theta1-preTheta1)/dt;

theta1_ddot = (theta1_dot-preTheta1_dot)/dt;


double m1t = wb_motor_get_torque_feedback(m1);


position1 = Gd[ttcount];


wb_motor_set_position(m1,position1);


//wb_motor_set_torque(m1,G_1);

//wb_motor_set_torque(m2,G_2);


//printf("%f %f\n",Torque1 , Torque2);


fprintf(DATA2, "%d %f %f %f %f\n", ttcount, m1t, theta1, theta1_dot, theta1_ddot);
printf("%d %f\n",ttcount, Gd[ttcount]);

tcount++;

ttcount++;


};*/


/* while (wb_robot_step(TIME_STEP) != -1) {

```

```
t = dt*tcount;
```

```
preTheta1 = theta1;
```

```
preTheta1_dot = theta1_dot;
```

```
theta1 = wb_position_sensor_get_value(PS1);
```

```
theta1_dot = (theta1-preTheta1)/dt;
```

```
theta1_ddot = (theta1_dot-preTheta1_dot)/dt;
```

```
PD_Torque = Kp*(Gd[tcount] - theta1) - Kd*theta1_dot;
```

```
double m1t = wb_motor_get_torque_feedback(m1);
```

```
position1 = Gd[tcount];
```

```
// wb_motor_set_position(m1,PD_Torque);
```

```
wb_motor_set_torque(m1, PD_Torque);
```

```
//wb_motor_set_torque(m2,G_2);
```

```
//printf("%f %f\n",Torque1 , Torque2);
```

```
fprintf(DATA2, "%f %f %f %f %f\n", position1, theta1, m1t, PD_Torque, theta1_dot);
```

```

printf("%d %f\n",ttcount, Gd[ttcount]);

tcount++;

ttcount++;

if(ttcount >= 1002) while(1);

};*/

while (wb_robot_step(TIME_STEP) != -1) {

    t = dt*tcount;

    preTheta1 = theta1;

    preTheta1_dot = theta1_dot;

    theta1 = wb_position_sensor_get_value(PS1);

    theta2 = wb_position_sensor_get_value(PS2);

    theta1_dot = (theta1-preTheta1)/dt;

    theta1_ddot = (theta1_dot-preTheta1_dot)/dt;

    C1 = cos(theta1);

    C2 = cos(theta2);

    C3 = cos(-0.9948374);

    S1 = sin(theta1);

    S2 = sin(theta2);

```

S12 = sin(theta1+theta2);

C12 = cos(theta1+theta2);

C23 = cos(theta2-0.9948374);

C123 = cos(theta1+theta2-0.9948374);

M_q = 0.25*(4*I0 + 4*I1 + 4*I2 + 4*I3 + (L3*L3)*m2 + (L2*L2)*(m+4*m2+m3) + (L1*L1)*(4*(m+m2)+m3) + m3*((x*x)+(y*y))) + 2*(L1*m3*x*C1 + L1*L2*(2*m+4*m2+m3)*C2 + L2*m3*x*C12 + 2*L2*L3*m2*C3+2*L1*L3*m2*C23 + L1*m3*y*S1 + L2*m3*y*S12);

C_q = 0.25*m3*L1*y*C1 + L2*y*C12 - x*(L1*S1 + L2*S12);

G_q = 0.5*G*(L1*(2*(m1+m2)+m3)*C1+L2*(m1+2*m2*m3)*C12+L3*m2*C123);

CTC_Torque = M_q*(CKp*(Gd[ttcount] - theta1) + Kv*(Gd2[ttcount]-theta1_dot) + Gd3[ttcount]) + C_q + G_q;

double m1t = wb_motor_get_torque_feedback(m1);

position1 = Gd[ttcount];

// wb_motor_set_position(m1,CTC_Torque);

wb_motor_set_torque(m1,CTC_Torque);

//wb_motor_set_torque(m2,G_2);

//printf("%f %f\n",Torque1 , Torque2);

```

fprintf(DATA2, "%f %f %f %f %f\n", position1, theta1, m1t, CTC_Torque, theta1_dot);

printf("%d %f\n", ttcount, M_q);

tcount++;

ttcount++;

if(ttcount >= 1002) while(1);

};

/* Enter your cleanup code here */

/* This is necessary to cleanup webots resources */
wb_robot_cleanup();

return 0;

}

```